



**PERBANDINGAN LENDUTAN ANTARA ANALISIS METODE
ELEMEN HINGGA DENGAN PENGUJIAN BALOK LENGKUNG
PADA BERBAGAI VARIASI MUTU BETON**

SKRIPSI

Oleh :
Ayu Prativi
NIM 111910301096

**PROGRAM STUDI STRATA 1
JURUSAN TEKNIK SIPIL
FAKULTAS TEKNIK
UNIVERSITAS JEMBER
2015**



**PERBANDINGAN LENDUTAN ANTARA ANALISIS METODE
ELEMEN HINGGA DENGAN PENGUJIAN BALOK LENGKUNG
PADA BERBAGAI VARIASI MUTU BETON**

SKRIPSI

diajukan guna melengkapi tugas akhir dan memenuhi salah satu syarat
untuk menyelesaikan Program Studi Teknik Sipil (S1)
dan mencapai gelar Sarjana Teknik

Oleh

**Ayu Prativi
NIM 111910301096**

**PROGRAM STUDI STRATA 1
JURUSAN TEKNIK SIPIL
FAKULTAS TEKNIK
UNIVERSITAS JEMBER
2015**

PERSEMBAHAN

Skripsi ini merupakan sebuah karya dari hasil upaya keras dalam mencurahkan tenaga , pikiran dan hati untuk meraih kesuksesan dalam hidupku. Skripsi ini kupersembahkan kepada:

Ibunda Ajoe Soesilowaelan dan Ayahanda Hinoto Gondowardoyo tercinta yang telah membantu baik moril dan materi, mendoakan, mendidik, dan memberi kasih sayang serta pengorbanan yang tidak terhingga hingga saat ini;

Saudara kandungku Kak Pandu Winoto dan sahabat hidupku Satriyo Bahari Rakhmad yang telah memberikan segala dukungan moril, materi, dan tenaganya dalam penyelesaian skripsi ini,

Dosen Pembimbing Skripsi Bapak Erno Widayanto dan Bapak Ketut Aswatama, atas kesabarannya dalam membimbing penyelesaian skripsi ini;

Dosen konsultasi Bapak Dwi Nurtanto dan Bapak Hassanudin yang telah memberikan ilmu pengetahuan dan dorongan semangat atas kesulitan yang saya alami dalam memahami ilmu sipil selama di bangku kuliah;

Keluarga Besar Teknik Sipil Angkatan 2011 yang telah menemani dalam perjuanganku menghadapi segala suka duka di Kampus Teknik ;

Guru-guru tercinta TK Santa Maria, SDK Santo Yoseph, SMPN 1 Sukodono, SMAN 2 Lumajang, seluruh dosen Jurusan Teknik Sipil Universitas Jember, yang telah mencurahkan ilmu pengetahuannya dengan segenap hati sehingga saya menjadi pribadi yang lebih baik dengan ilmu yang telah saya terima saat ini;

Almamater Fakultas Teknik Universitas Jember, terimakasih telah mengantarku menuju masa depan.

MOTTO

*Nalar hanya akan membawa anda dari A menuju B,
namun imajinasi mampu membawa anda dari A ke manapun.
(Albert Einstein)*

*Belajarlah dari masa lalu, hiduplah untuk masa depan.
Yang terpenting adalah tidak berhenti bertanya.
(Albert Einstein)*

*Dan Dialah yang menjadikan bintang-bintang bagimu, agar kamu menjadikannya
petunjuk dalam kegelapan di darat dan di laut. Sesungguhnya kami telah
menjelaskan tanda-tanda kebesaran (Kami) kepada orang-orang yang mengetahui.
(terjemahan Surat Al An'aam ayat 97)^{*)}*

^{*)} Departemen Agama Republik Indonesia Jakarta. 1989. Al-Quran dan Terjemahannya. Surabaya : Mahkota Surabaya

PERNYATAAN

Saya yang bertanda tangan dibawah ini:

Nama : Ayu Prativi

NIM : 111910301096

menyatakan dengan sesungguhnya bahwa proyek akhir yang berjudul “Perbandingan Lendutan antara Analisis Metode Elemen Hingga dengan Pengujian Balok Lengkung Pada Berbagai Variasi Mutu Beton” adalah benar-benar hasil karya sendiri, kecuali jika dalam pengutipan substansi disebutkan sumbernya dan belum pernah diajukan pada institusi mana pun, serta bukan karya jiplakan. Saya bertanggung jawab atas keabsahan dan kebenaran isinya sesuai dengan sikap ilmiah yang harus dijunjung tinggi.

Demikian pernyataan ini saya buat dengan sebenarnya, tanpa adanya tekanan dan paksaan dari pihak manapun serta bersedia mendapat sanksi akademik jika ternyata dikemudian hari pernyataan ini tidak benar.

Jember, 9 April 2015

Yang menyatakan,

Ayu Prativi
NIM 111910301096

SKRIPSI

**PERBANDINGAN LENDUTAN ANTARA ANALISIS METODE ELEMEN
HINGGA DENGAN PENGUJIAN BALOK LENGKUNG PADA BERBAGAI
VARIASI MUTU BETON**

Oleh

Ayu Prativi
NIM 111910301096

Pembimbing :

Dosen Pembimbing Utama : Erno Widayanto, S.T., M.T.
Dosen Pembimbing Anggota : Ketut Aswatama W., S.T., M.T.

PENGESAHAN

Skripsi berjudul **Perbandingan Lendutan antara Analisis Metode Elemen Hingga dengan Pengujian Balok Lengkung Pada Berbagai Variasi Mutu Beton** telah diuji dan disahkan oleh Fakultas Teknik Universitas Jember pada:

Hari : Kamis

Tanggal : 9 April 2015

Tempat : Fakultas Teknik Jurusan Teknik Sipil Universitas Jember

Tim Penguji

Pembimbing Anggota (Sekretaris), Pembimbing Utama (Ketua Penguji),

Ketut Aswatama, W., S.T., M.T.
NIP 19700713 200012 1 001

Erno Widayanto, S.T., M.T.
NIP 19700419 199803 1 002

Penguji I,

Penguji II,

Dwi Nurtanto, S.T., M.T.
NIP 19731015 199802 1 001

Jojok Widodo S, S.T., M.T
NIP 19720527 200003 1 001

Mengesahkan
Dekan Fakultas Teknik,

Ir. Widyono Hadi, MT.
NIP. 19610414 198902 1 001

RINGKASAN

Perbandingan Lendutan antara Analisis Metode Elemen Hingga dengan Pengujian Balok Lengkung Pada Berbagai Variasi Mutu Beton; Ayu Prativi, 111910301096; 2015: 51 halaman; ; Jurusan Teknik Sipil; Fakultas Teknik; Universitas Jember.

Lendutan merupakan peralihan suatu titik ke titik lain secara vertikal pada suatu balok akibat beban. Penelitian ini membandingkan lendutan antara hasil pengujian laboratorium dan hasil analisis metode elemen hingga pada balok lengkung. Pada pengujian laboratorium balok lengkung diberi beban dengan menggunakan dongkrak pembebanan hidrolik dan pengukuran lendutan dilakukan dengan membaca jarum arloji *dial gauge*. Sedangkan perhitungan lendutan pada analisis metode elemen hingga menggunakan dasar teori balok Timoshenko. Hasil lendutan dari pengujian dan analisis metode elemen hingga disajikan dalam bentuk grafik hubungan antara beban dan lendutan. Balok lengkung fcr 44.35 MPa dengan beban maksimum 6790.4N melendut sebesar 0.0982 mm pada analisis metode elemen hingga 6 segmen, 0.0733 mm pada analisis elemen hingga 10 segmen, dan 2.240 mm pada pengujian laboratorium. Balok lengkung fcr 40.58 MPa dengan beban maksimum 3395.2N melendut sebesar 0.0513 mm pada analisis metode elemen hingga 6 segmen, 0.0383 mm pada analisis elemen hingga 10 segmen, dan 0.990 mm pada pengujian laboratorium. Balok lengkung fcr 37.65 MPa dengan beban maksimum 3395.2N melendut sebesar 0.0533 mm pada analisis metode elemen hingga 6 segmen, 0.0398 mm pada analisis elemen hingga 10 segmen, dan 1.015 mm pada pengujian laboratorium. Nilai lendutan analisis metode elemen hingga memiliki hasil yang berbeda jauh terhadap lendutan hasil uji laboratorium. Besarnya perbedaan hasil ini dipengaruhi oleh hilangnya kestabilan frame baja saat menerima beban yang didistribusikan balok lengkung saat proses pembebanan.

SUMMARY

Deflection Comparison Between Finite Element Analysis Method And Testing With Different Variations In The Curved Beam Quality Concrete; Ayu Prativi, 111910301096; 2015; 51 pages; Department Of Civil Engineering; Faculty Of Engineering; University Of Jember.

Deflection is a vertical movement of point to another point on the beam due to the load. The study compared the deflection between results of laboratory testing and analyze of finite element method on curved beams. Procedures of laboratory testing are the curved beam loaded using a hydraulic loading jack and deflection measurements are indicated by the dial gauge. Analyze of deflection calculation on finite element method is using the basic Theory of Timoshenko beam. Results deflection of laboratory testing and analyze of finite element methods are presented in graph between load and deflection. Curved beam with average compressive strength (fcr) 44.35 MPa and maximum load 6790.4N sagged 0.0982 mm on six segments, 0.0733 mm on ten segments of finite element analyze, and 2.240 mm of laboratory testing. Curved beam with fcr 40.58 MPa and maximum load 3395.2N sagged 0.0513 mm on six segments, 0.0383 mm on ten segments of finite element analyze, and 0.990 mm of laboratory testing. Curved beam with fcr 37.65 MPa and maximum load 3395.2N sagged 0.0533 mm on six segments, 0.0398 mm on ten segments of finite element analyze, and 1.015 mm of laboratory testing. The value deflection between finite element method analyze and deflection of laboratory test results have vastly different results. The difference of results is affected by the loss of stability of the steel frame when receiving the load which is distributed by curved beam during loading process.

PRAKATA

Puji Syukur penulis panjatkan kehadiran Allah Swt yang telah melimpahkan rahmat dan hidayah-Nya, sehingga penulis dapat menyelesaikan skripsi dengan judul Perbandingan Lendutan Antara Analisis Metode Elemen Hingga Dengan Pengujian Balok Lengkung Pada Berbagai Variasi Mutu Beton. Skripsi yang telah diselesaikan merupakan suatu persyaratan wajib ditempuh untuk mendapatkan gelar Sarjana Teknik (ST) di Fakultas Teknik, Universitas Jember.

Dalam penyusunan skripsi ini, penulis dibantu oleh banyak pihak yang telah memberi masukan yang berharga, baik berupa bimbingan ataupun saran untuk menyempurnakan karya ini. Oleh karena itu perkenankan penulis mengucapkan terima kasih yang sebesar-besarnya kepada pihak yang membantu, diantaranya:

1. Dr. Ir. Entin Hidayah, M.U.M, selaku Ketua Jurusan Teknik Sipil Universitas Jember.
2. Erno Widayanto, ST., MT., selaku Dosen Pembimbing I atas arahan, masukan dan segala sesuatu yang bermanfaat untuk menyelesaikan skripsi ini.
3. Ketut Aswatama, ST.,MT., selaku Dosen Pembimbing II atas arahan, masukan dan segala sesuatu yang bermanfaat untuk menyelesaikan skripsi ini.
4. Ahmad Hasanuddin ST., MT., selaku dosen konsultasi.
5. Dwi Nurtanto ST., MT., selaku dosen konsultasi.
6. Nunung Nuring Hayati, ST., MT., selaku dosen pembimbing akademik.
7. Beserta semua pihak baik secara langsung maupun tidak langsung yang telah turut serta membantu dalam proses penyusunan skripsi.

Berbagai upaya telah dilakukan dalam penyusunan skripsi ini, akan tetapi skripsi ini masih perlu disempurnakan. Menyadari bahwa skripsi ini jauh dari kesempurnaan, untuk itu penulis senantiasa mengharapkan saran, kritik, yang bersifat

membangun demi kesempurnaan skripsi ini. Semoga skripsi ini dapat berguna bagi pembaca dan bagi penulis sendiri pada khususnya.

Jember, 9 April 2015

Penulis

DAFTAR ISI

	Halaman
HALAMAN JUDUL	i
PERSEMBAHAN	ii
MOTTO	iii
PERNYATAAN	iv
LEMBAR PEMBIMBING	v
PENGESAHAN.....	vi
RINGKASAN.....	vii
SUMMARY.....	viii
PRAKATA	ix
DAFTAR ISI.....	xi
DAFTAR GAMBAR.....	xiv
DAFTAR TABEL	xvi
BAB 1. PENDAHULUAN.....	1
1.1 Latar Belakang	1
1.2 Rumusan Masalah	3
1.3 Tujuan	3
1.4 Batasan Masalah.....	3
BAB 2. TINJAUAN PUSTAKA	4
2.1 Penelitian Terdahulu	4
2.2 Material Beton	7
2.2.1 Agregat Halus	8
2.2.2 Agregat Kasar	8

2.2.3 Semen (<i>Portland Cement</i>)	8
2.2.4 Air	9
2.3 Perencanaan Campuran Beton	9
2.4 Pengujian Kuat Tekan Beton	9
2.5 Modulus Elastisitas	10
2.6 Teori Balok Timoshenko	10
2.6.1 Energi Potensial Total.....	11
2.7 Metode Elemen Hingga	12
2.7.1 Kondisi Elastis	12
2.7.2 Kondisi Keseimbangan	13
2.7.3 Kondisi Kompabilitas	13
2.7.4 Kondisi Batas.....	14
2.7.5 Derajat Kebebasan	15
2.7.6 Fungsi Peralihan dan Fungsi Bentuk	16
2.7.7 Persamaan Kekakuan Elemen dan Struktur	17
2.7.8 Beban Nodal Ekuivalen.....	18
2.7.9 Elemen Balok	18
2.7.10 Elemen Balok Pada Sumbu Lokal	19
2.7.11 Transformasi Koordinat	20
2.7.12 Persamaan Kekakuan Balok	21
2.7.13 Strategi Solusi Persamaan	22
2.7.14 Persamaan Gaya Internal Normal (N), Geser (T), dan Momen (M)....	23
BAB 3. METODOLOGI PENELITIAN	24
3.1 Umum.....	24
3.2 Tempat dan Waktu Penelitian	24
3.3 Alat dan Bahan	25
3.3.1 Alat Pengujian Agregat	25
3.3.2 Alat Mengecor	25
3.3.3 Alat Uji Lendutan	25

3.3.4 Bahan Uji Agregat	26
3.4 Langkah Penelitian.....	26
3.4.1 Studi Pustaka	26
3.4.2 Perencanaan Balok Lengkung	26
3.4.3 Pengecoran Balok Lengkung.....	27
3.4.4 Perawatan Balok Lengkung.....	27
3.4.5 Pengujian Balok Lengkung	28
3.4.6 Analisis Lendutan dengan Metode Elemen Hingga	28
3.5 Diagram Alir	30
BAB 4. HASIL DAN PEMBAHASAN.....	32
4.1 Pengujian Kuat Tekan Rerata Beton (fcr).....	32
4.2 Pengujian Lendutan Balok Lengkung	33
4.3 Modulus Elastisitas Beton (E)	36
4.4 Analisis Metode Elemen Hingga	36
4.4.1 Pemotongan Struktur Menjadi Segmen	37
4.4.2 Persamaan Kekakuan	38
4.4.3 Penggabungan Matriks Kekakuan	39
4.4.4 Gaya Internal Struktur.....	41
4.4.5 Lendutan.....	44
4.4.6 Perbandingan Lendutan MEH dan Pengujian	47
BAB 5. PENUTUP	50
5.1 Kesimpulan	50
5.2 Saran	50

DAFTAR PUSTAKA

LAMPIRAN

DAFTAR GAMBAR

Gambar 2.1 Sumbu Kayu Orthotropic	5
Gambar 2.2 Jaring-jaring Elemen Hingga	5
Gambar 2.3 Posisi pembebanan dan tumpuan jepit	6
Gambar 2.4 Penggambaran nodal perhitungan dengan elemen segitiga	6
Gambar 2.5 Penggambaran nodal perhitungan dengan elemen segiempat	7
Gambar 2.6 Grafik hasil perhitungan eksak, elemen segitiga dan segiempat	7
Gambar 2.7 Garis gaya dalam pada struktur lengkung dengan $t/R = 0,16$	8
Gambar 2.8 Garis gaya dalam pada struktur lengkung dengan $t/R = 0,8$	8
Gambar 2.9 Deformasi penampang melintang pada balok Timoshenko	11
Gambar 2.10 Elemen rangka sepanjang sumbu lokal x	15
Gambar 2.11 Derajat kebebasan elemen balok	18
Gambar 2.12 Balok pada koordinat lokal dan global	19
Gambar 3.1 Dimensi balok pelengkung	27
Gambar 3.2 Diskritisasi balok lengkung	29
Gambar 4.1 Posisi balok lengkung yang akan diuji lendutan	33
Gambar 4.2 Balok lengkung yang mengalami keruntuhan	34
Gambar 4.3 Grafik perilaku lendutan balok lengkung pada variasi mutu beton ...	35
Gambar 4.4 (a) Balok lengkung (b) balok lengkung satu dimensi	37
Gambar 4.5 Pembagian balok menjadi enam segmen	38
Gambar 4.6 Hasil pengukuran sudut koordinat lokal terhadap koordinat global ..	38
Gambar 4.7 Matriks hasil penggabungan matriks kekakuan	39
Gambar 4.8 Pengelompokan matriks kekakuan berdasarkan kondisi batas	40
Gambar 4.9 Persamaan matriks peralihan nodal	40
Gambar 4.10 Persamaan matriks reaksi perletakan	41
Gambar 4.11 Hasil perhitungan gaya dalam segmen 1-2	42
Gambar 4.12 Grafik gaya internal balok lengkung 6 segmen (kiri) dan 10 segmen (kanan)	43

Gambar 4.13 Grafik perilaku lendutan balok lengkung sepuluh segmen (kiri) dan enam segmen (kanan) pada fcr 44,35 MPa.....	44
Gambar 4.14 Grafik perilaku lendutan balok lengkung sepuluh segmen (kiri) dan enam segmen (kanan) pada fcr 40,58 MPa.....	45
Gambar 4.15 Grafik perilaku lendutan balok lengkung sepuluh segmen (kiri) dan enam segmen (kanan) pada fcr 37,65 MPa.....	46
Gambar 4.16 Grafik perbandingan lendutan hasil analisis elemen hingga dan pengujian fcr 44,35 MPa, fcr 40,58 MPa, dan fcr 37,65 MPa.....	48

DAFTAR TABEL

Tabel 2.1 Kondisi Perletakan Sendi	15
Tabel 4.1 Kuat tekan rerata beton (fcr)	32
Tabel 4.2 Pembacaan Hasil Uji Balok Lengkung	35
Tabel 4.3 Nilai modulus elastisitas beton.....	36
Tabel 4.4 Hasil analisis gaya internal balok lengkung 6 segmen	42
Tabel 4.5 Hasil analisis gaya internal balok lengkung 10 segmen	42
Tabel 4.6 Lendutan hasil analisis elemen hingga fcr 44,35 MPa	44
Tabel 4.7 Lendutan hasil analisis elemen hingga fcr 40,58MPa	45
Tabel 4.8 Lendutan hasil analisis elemen hingga fcr 37,65 MPa	46
Tabel 4.9 Data lendutan hasil analisis metode elemen hingga dan pengujian.....	47

BAB 1. PENDAHULUAN

1.1 Latar Belakang

Jembatan merupakan suatu bangunan yang berfungsi menghubungkan dua buah bagian jalan yang terputus oleh adanya rintangan seperti sungai, danau, lembah, persimpangan lalu lintas dan rintangan lainnya. Salah satu tipe struktur jembatan yang berkembang hingga saat ini adalah jembatan lengkung (*arch bridge*). Jembatan lengkung memiliki kekuatan yang baik dalam menerima gaya tekan. Hal ini dikarenakan keseluruhan bagian pelengkung mentransfer gaya tekan yang diterimanya ke abutmen dan ditahan oleh tegangan tanah di bawah pelengkung. Tanpa adanya gaya tarik yang diterima oleh pelengkung memungkinkan jembatan pelengkung dapat dibuat lebih panjang dari jembatan balok dan bisa menggunakan material yang tidak mampu menerima gaya tarik dengan baik seperti beton. Dengan perilaku struktur tersebut, maka lendutan yang dihasilkan oleh struktur pelengkung menjadi sangat kecil.

Terdapat beberapa cara yang dapat digunakan untuk menganalisa lendutan secara konvensional, antara lain : cara intergrasi-tingkat-dua, cara luas-momen dan cara beban satuan (*unit load*). Namun, cara konvensional tersebut menjadi susah digunakan dan membutuhkan waktu penyelesaian yang lama ketika menghitung struktur yang memiliki bentuk bervariasi seperti bentuk balok lengkung. Saat ini, dimana teknologi komputer dan perangkat lunak berkembang sangat cepat, metode elemen hingga menjadi sebuah metode dasar yang berkembang dan digunakan pada berbagai software analisa struktur untuk menyelesaikan berbagai permasalahan tipe struktur termasuk dalam mencari besarnya lendutan pada suatu struktur.

I.Katili (2008) melalui bukunya yang berjudul Metode Elemen Hingga untuk Skeletal menjelaskan bahwa Metode Elemen Hingga adalah metode pendekatan

fungsi solusi terhadap persamaan diferensial dan integral dimana bentuk persamaan akhirnya adalah persamaan matriks. Metode ini menggunakan suatu pendekatan untuk memperoleh solusi numerik analisa struktur yang praktis dengan konsep dasar bahwa struktur kontinu dapat dimodelisasi secara diskritasi menjadi struktur diskrit. Perilaku setiap elemen pada struktur diskrit digambarkan dengan fungsi peralihan dan tegangan yang dinyatakan dalam bentuk persamaan matriks. Memodelkan suatu struktur menjadi struktur diskrit dengan dimensi penampang yang relatif kecil akan menghasilkan gambaran yang lebih akurat mengenai respon struktur riil terhadap beban.

Sadvent M Purba dan Johannes Tarigan telah melakukan analisis perbandingan nilai perpindahan pada perhitungan elemen hingga antara elemen segitiga (*constant strain triangle*) dan elemen segiempat (*bilinear quadrilateral*) ketika diberi beban yang sama besar pada sebuah balok. Nilai perpindahan dengan kedua model elemen kemudian dibandingkan terhadap rumus eksak. Penelitian tersebut menyimpulkan bahwa elemen segiempat lebih mendekati nilai eksak dibandingkan elemen segitiga. Hal ini berarti bahwa model elemen dalam elemen hingga perlu disesuaikan dengan bentuk strukturnya, sebab bentuk model tersebut mempengaruhi keakuratan hasil analisis elemen hingga.

Penelitian lain mengenai metode elemen hingga dilakukan pula oleh Sriram Kalaga (1997) dengan melakukan perhitungan analisis menggunakan metode elemen hingga pada jenis struktur lengkung dengan material kayu. Analisis dilakukan dengan memberi beberapa model pembebanan pada struktur lengkung untuk mengetahui perilaku kayu dalam menerima beban. Kesimpulan dalam penelitian tersebut menyatakan bahwa teori dan rumus konvensional bisa jadi tidak cukup mampu untuk menaksir perilaku kayu lengkung berlapis yang sebenarnya dan metode elemen hingga terbukti menjadi sarana yang baik dalam menganalisis suatu sistem yang *orthotropic*. Namun, sayangnya penelitian tersebut tidak membandingkan *output* dari analisis metode elemen hingga dengan hasil pengujian langsung.

Dalam penelitian ini dilakukan perhitungan analisis metode elemen hingga pada struktur balok lengkung dengan variasi mutu beton yang menerima beban terpusat di tengah bentang dan membandingkan hasilnya dengan lendutan hasil pengujian balok lengkung dengan material yang sama ketika menerima sejumlah beban yang sama besar. Penelitian ini bertujuan untuk mengetahui perbandingan nilai lendutan antara metode elemen hingga dengan pengujian langsung pada balok lengkung dengan berbagai variasi mutu beton.

1.2 Rumusan Masalah

Rumusan masalah dalam Tugas Akhir ini adalah bagaimana perbandingan lendutan yang terjadi antara hasil analisis metode elemen hingga dengan pengujian berbagai variasi mutu balok lengkung jika struktur menerima beban terpusat yang sama?

1.3 Tujuan

Tujuan dari penelitian ini adalah untuk mengetahui perbandingan lendutan yang terjadi antara pengujian beton lengkung dengan hasil analisis metode elemen hingga jika struktur menerima beban terpusat yang sama.

1.4 Batasan Masalah

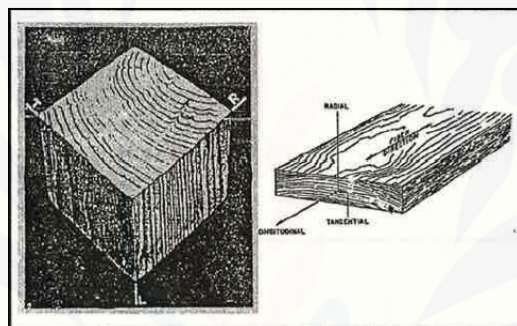
Agar masalah dalam penelitian ini menjadi lebih sederhana, maka batasan masalah penelitian yaitu :

1. Melakukan analisis lendutan pada balok lengkung.
2. Melakukan pengujian laboratorium lendutan pada balok lengkung.

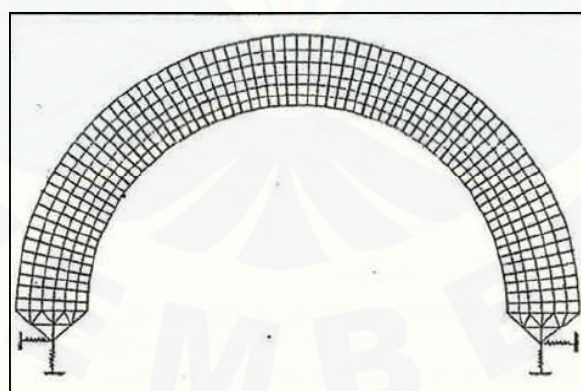
BAB 2. TINJAUAN PUSTAKA

2.1 Penelitian Terdahulu

Penelitian mengenai metode elemen hingga pada struktur lengkung telah dilakukan oleh beberapa peneliti. Sriram Kalaga dalam jurnal penelitiannya menjelaskan bahwa ia melakukan penelitian mengenai analisa elemen hingga pada tegangan radial kayu lengkung berlaminasi dengan tujuan mengetahui pengaruh beban, geometri, dan material pada tegangan radial (geser) dan tegangan lentur.



Gambar 2.1 sumbu kayu orthotropic

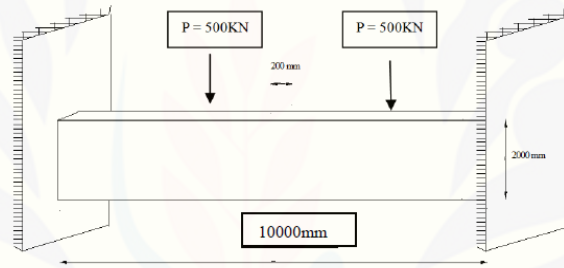


Gambar 2.2 Jaring-jaring elemen hingga

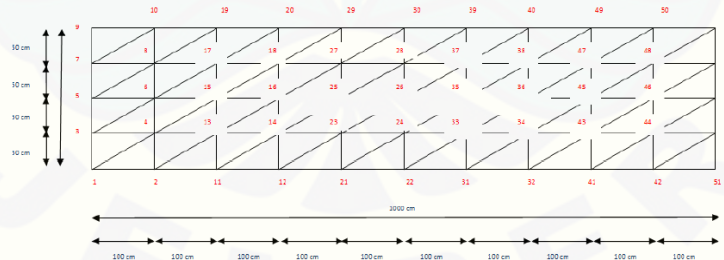
Penelitian yang dilakukan oleh Sriram tersebut menyatakan bahwa teori dan rumus konvensional bisa jadi tidak cukup mampu untuk menaksir perilaku kayu

lengkung berlapis yang sebenarnya dan metode elemen hingga terbukti menjadi sarana yang baik dalam menganalisa suatu sistem yang *orthotropic*. Namun, sayangnya penelitian tersebut tidak membandingkan hasil dari analisis metode elemen hingga dengan hasil pengujian langsung.

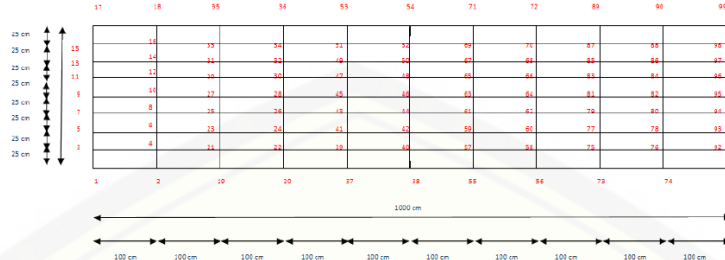
Sadvent M Purba dan Johannes Tarigan melakukan analisis perbandingan nilai perpindahan pada perhitungan elemen hingga antara elemen segitiga (constant strain triangle) dan elemen segiempat (bilinear quadrilateral) ketika diberi beban yang sama besar pada sebuah balok. Analisis dilakukan pada struktur berbentuk balok dengan kondisi tumpuan jepit. Kemudian hasil analisis berupa nilai perpindahan pada kedua model elemen dibandingkan terhadap rumus eksak.



Gambar 2.3 Posisi pembebanan dan tumpuan jepit

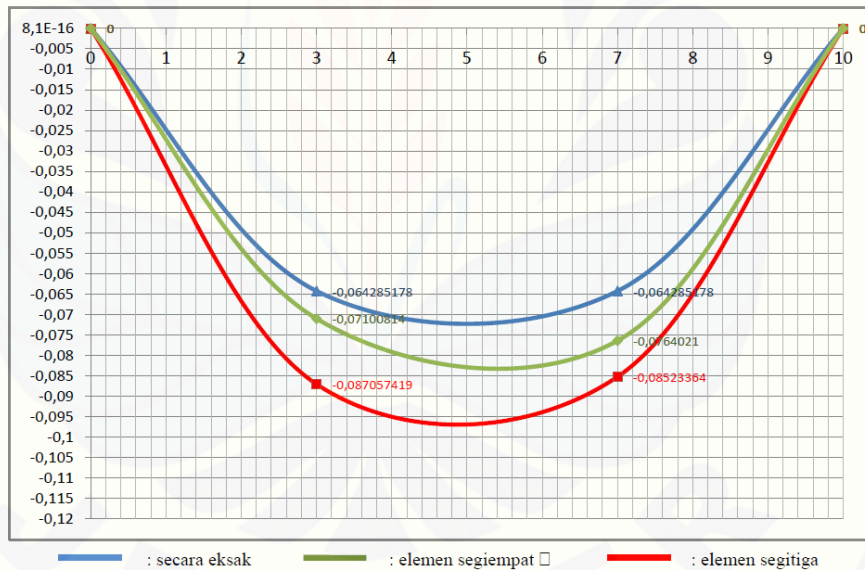


Gambar 2.4 Penggambaran nodal perhitungan dengan elemen segitiga



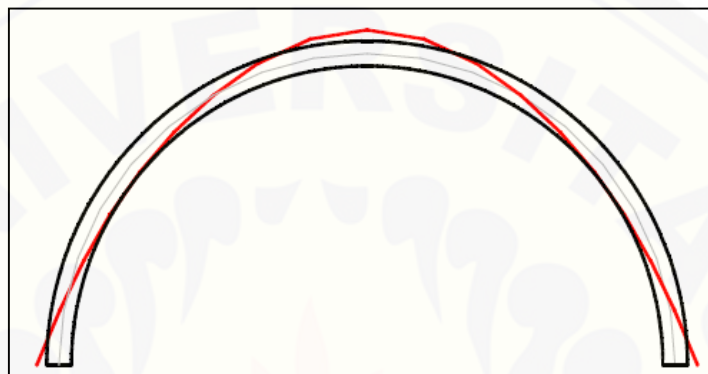
Gambar 2.5 Penggambaran nodal perhitungan dengan elemen segiempat

Hasil dari penelitian ini menyimpulkan bahwa model elemen segiempat dalam elemen hingga lebih cocok digunakan untuk menganalisa struktur balok, namun untuk bentuk struktur yang tidak beraturan lebih cocok menggunakan elemen segitiga. Hal ini mengartikan bentuk model struktur dan jenis elemen segitiga atau segiempat mempengaruhi hasil analisis elemen hingga.

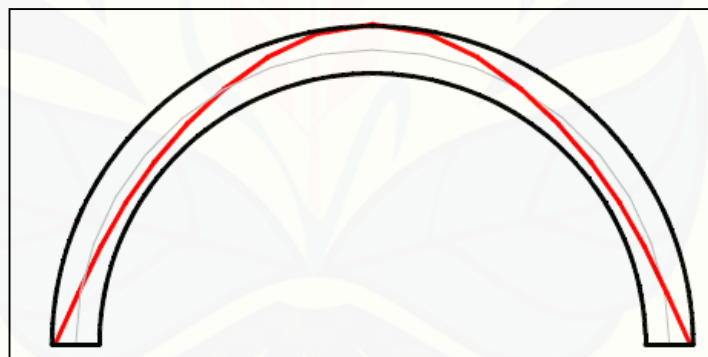


Gambar 2.6 Grafik hasil perhitungan eksak, elemen segitiga dan segiempat

Varma Mahesh, Jangid R S dan Ghosh Siddharta dengan bantuan program ANSYS menganalisa garis gaya dalam menggunakan metode elemen hingga pada struktur pasangan batu lengkung dengan ketebalan yang berbeda. Struktur pasangan batu dibedakan berdasarkan perbandingan antara ketebalan (t) dengan radius (R) .



Gambar 2.7 Garis gaya dalam pada struktur lengkung dengan $t/R = 0.16$



Gambar 2.8 Garis gaya dalam pada struktur lengkung $t/R = 0.8$

2.2 Material Beton

Beton adalah campuran antara semen *portland* dan atau semen hidrolik yang lain, agregat halus, agregat kasar dan air, dengan atau tanpa bahan tambahan. (BSN,2013:17)

2.2.1 Agregat Halus

Agregat halus adalah pasir alam sebagai hasil desintegrasi secara alami dari batu atau pasir yang dihasilkan oleh industri pemecah batu dan mempunyai ukuran butir terbesar 5,0 mm atau lolos saringan no.8 pada mesin pengayak.

2.2.2 Agregat Kasar

Agregat kasar adalah kerikil sebagai hasil desintegrasi alami dari batu atau berupa batu pecah yang diperoleh dari industri pemecah batu dan mempunyai ukuran butir antara 5 mm – 40 mm .

2.2.3 Semen (*Portland Cement*)

Portland cement merupakan bahan pengikat utama untuk adukan beton dan pasangan batu yang digunakan untuk menyatukan bahan menjadi satu kesatuan yang kuat. Menurut *ASTM C150*, semen Portland dibagi menjadi lima tipe, yaitu :

- a. Tipe I : *Ordinary Portland Cement (OPC)*, semen untuk penggunaan umum, tidak memerlukan persyaratan khusus (panas hidrasi, ketahanan terhadap sulfat, kekuatan awal).
- b. Tipe II : *Moderate Sulphate Cement*, semen untuk beton yang tahan terhadap sulfat sedang dan mempunyai panas hidrasi sedang.
- c. Tipe III : *High Early Strength Cement*, semen untuk beton dengan kekuatan awal tinggi (cepat mengeras)
- d. Tipe IV : *Low Heat of Hydration Cement*, semen untuk beton yang memerlukan panas hidrasi rendah, dengan kekuatan awal rendah.
- e. Tipe V : *High Sulphate Resistance Cement*, semen untuk beton yang tahan terhadap kadar sulfat tinggi.

Dari kelima jenis semen tersebut, jenis semen yang akan digunakan dalam penelitian ini adalah semen tipe I.

2.2.4 Air

Air berfungsi sebagai bahan pencampur dan pengaduk antara semen dan agregat. Persyaratan air dalam pengujian beton harus sesuai dengan Persyaratan Umum Bahan Bangunan di Indonesia (PUBBI-1982), antara lain :

- a. Air harus bersih.
- b. Tidak mengandung lumpur, minyak dan benda terapung lainnya yang dapat dilihat secara visual.
- c. Tidak boleh mengandung benda-benda tersuspensi lebih dari 2 gram / liter.
- d. Tidak mengandung garam-garam yang dapat larut dan dapat merusak beton (asam-asam, zat organik dan sebagainya) lebih dari 15 gram / liter. Kandungan klorida (Cl), tidak lebih dari 500 p.p.m. dan senyawa sulfat tidak lebih dari 1000 p.p.m. sebagai SO₃.
- e. Semua air yang mutunya meragukan harus dianalisa secara kimia dan dievaluasi.

Dalam penelitian ini digunakan air yang berasal dari fakultas teknik universitas jember dan dianggap telah memenuhi persyaratan umum di atas.

2.3 Perencanaan Campuran Beton

Perencanaan campuran beton dalam penelitian ini mengacu pada buku Petunjuk Praktikum Praktek Teknologi Beton Laboratorium Struktur milik Fakultas Teknik Jurusan Teknik Sipil Universitas Jember yang mengacu pada SNI 03-2834-2000 tentang “Tata Cara Pembuatan Rencana Campuran Beton Normal”.

2.4 Pengujian Kuat Tekan Beton

Dalam penelitian ini dibuat minimal satu buah benda uji silinder setiap satu kali pengadukan campuran menggunakan *concrete mixer* untuk diuji kuat tekan pada saat dilakukan pengujian beton lengkung. Metode pengujian kuat tekan beton

mengacu pada SNI 03-6429-2000 tentang Metode Pengujian Kuat Tekan Beton Silinder Dengan Cetakan Silinder Di Dalam Tempat Cetakan.

2.5 Modulus Elastisitas

Modulus elastisitas menurut SNI 2847:2013 adalah rasio tegangan normal terhadap regangan terkait untuk tegangan tarik atau tekan di bawah batas proposional material. Nilai modulus elastisitas dalam pasal 8.5 diijinkan diambil sebesar $4700\sqrt{fc'}$ (MPa) untuk beton normal. Variabel fc' merupakan nilai kuat tekan beton dalam satuan MPa.

2.6 Teori Balok Timoshenko

Teori balok Timoshenko dijelaskan dalam thesis karya Tabitha Wangari Kinyanjui (2007;14) yang berjudul Metode Elemen Hingga Untuk Balok Lengkung Linear Geometris. Dalam thesis tersebut, teori balok Timoshenko mengoreksi teori balok klasik dengan orde pertama akibat deformasi geser sehingga akibat dari tegangan geser pada deformasi diperhitungkan.

Setelah terjadi deformasi :

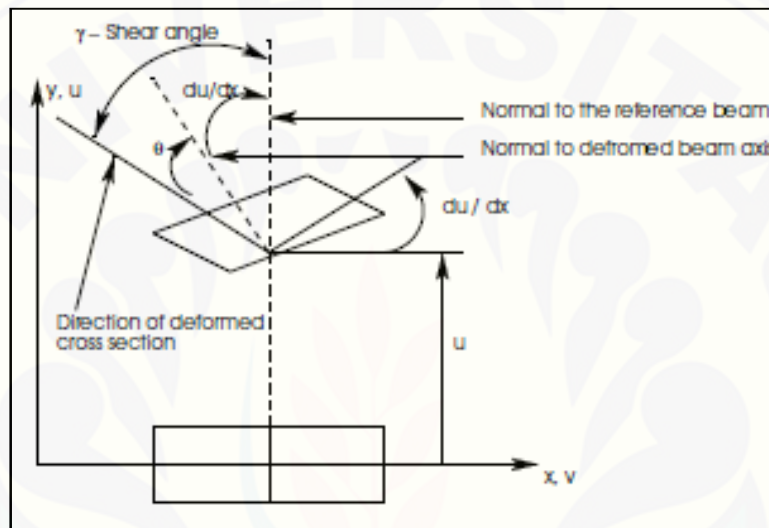
- Penampang bidang diasumsikan sebagai bidang tetap dan berotasi pada garis netral absis yang sama dengan beban yang diberikan bukan merupakan beban torsi.
- Penampang melintang tidak tegak lurus terhadap sumbu memanjang absis.

Sehingga :

$$\varepsilon_{xx} = \frac{\delta v}{\delta x} = -y \frac{\delta \theta}{\delta x} \quad (2.6.1)$$

$$\varepsilon_{xy} = \frac{1}{2} \left(\frac{\delta v}{\delta x} + \frac{\delta u}{\delta x} \right) = \left(-\theta + \frac{\delta u}{\delta x} \right) = \frac{1}{2} \gamma \quad (2.6.2)$$

Dengan demikian penyimpangan dari arah normal yang merupakan perbedaan antara garis normal dengan sumbu memanjang absis dan rotasi penampang adalah sudut geser Υ . Hal ini terbentuk dari bagian miring defleksi (rotasi dari sumbu memanjang) dan rotasi penampang melintang yang melentur dengan sudut θ . Pada balok Timoshenko, deformasi penampang melintang merupakan penjumlahan dari dua kontribusi akibat lentur dan deformasi geser.



Gambar 2.9 Deformasi penampang melintang pada balok Timoshenko

2.6.1 Energi potensial total

Dari persamaan 1 dan 2, regangan aksial dan geser pada balok Timoshenko adalah :

$$\varepsilon = -y \frac{\delta\theta}{\delta x} \quad (2.6.3)$$

$$\Upsilon = -\theta + \frac{\delta u}{\delta x} \quad (2.6.4)$$

Oleh karena itu

$$\begin{aligned}\Pi &= \frac{1}{2} \int_V (\sigma_{xx}\varepsilon_{xy} + \sigma_{xy}\varepsilon_{xy}) dV = \int_0^L qu dx \\ &= \frac{EI}{2} \int_0^L \left(\frac{\delta\theta}{\delta x}\right)^2 dx + \frac{\kappa GA}{2} \int_0^L \left(-\theta + \frac{\delta u}{\delta x}\right)^2 dx - \int_0^L qu dx \quad (2.6.5)\end{aligned}$$

Keterangan :

κ = faktor koreksi geser

G = Modulus geser

A = luas penampang melintang

q = beban yang diterima balok

Variable independen pada balok Timoshenko yang digunakan dalam metode elemen hingga yaitu u, v , dan θ . Dimana u merupakan peralihan horizontal, v adalah peralihan vertikal, dan θ adalah sudut rotasi. (Katili, 2008: 41)

2.7 Metode Elemen Hingga

Metode Elemen Hingga adalah metode pendekatan fungsi solusi terhadap persamaan diferensial dan integral yang bentuk persamaan akhirnya adalah persamaan matriks (Katili, 2008: 1). Berikut ini merupakan penjelasan mengenai metode elemen hingga untuk struktur balok yang diperoleh dari buku Metode Elemen Hingga untuk Skeletal tulisan I. Katili (2008).

2.7.1 Kondisi Elastis

Kondisi elastis merupakan kondisi dimana suatu bahan akan mengalami perubahan bentuk pada setiap titik pada sebuah struktur ketika menerima pembebanan dan kembali ke bentuk asalnya ketika pembebanan dihilangkan. Dalam

kondisi tersebut tegangan yang terjadi pada struktur berbanding lurus dengan regangannya.

Perbandingan antara tegangan dengan regangan adalah modulus elastisitas yang merupakan pengertian dari hukum Hooke.

$$\frac{\text{tegangan}}{\text{regangan}} = \frac{\sigma}{\epsilon} = \frac{P/A}{\Delta L/L} = E \quad (2.7.1)$$

Keterangan :

E = modulus elastisitas

P = pembacaan beban tekan

A = luas penampang silinder

ΔL = pembacaan dial deformasi

L = jarak titik pengamatan

2.7.2 Kondisi Keseimbangan

Kondisi keseimbangan harus terpenuhi untuk sebagian maupun seluruh bagian dari struktur. Dalam kasus dua dimensi, kondisi keseimbangan yang harus terpenuhi adalah sebagai berikut :

$$\sum F_x = 0 \quad \sum F_y = 0 \quad \sum F_z = 0 \quad \sum F_{mx} = 0 \quad \sum F_{my} = 0 \quad \sum F_{mz} = 0$$

Hal tersebut berarti penjumlahan semua gaya pada setiap sumbu X, Y, maupun Z adalah sama dengan nol dan penjumlahan semua momen F_m terhadap sumbu X, Y, maupun Z adalah sama dengan nol baik pada setiap nodal, elemen, maupun struktur.

2.7.3 Kondisi Kompabilitas

Kondisi kompatibilitas merupakan kondisi dimana peralihan untuk semua titik pada suatu struktur harus kompatibel (serasi) dengan seluruh peralihan pada struktur.

Peralihan harus kontinu sehingga struktur masih tetap bersatu akibat pembebanan. Seluruh peralihan pada tumpuan harus kompatibel dengan peralihan pada kondisi batas struktur.

Pada prinsipnya, kondisi kompatibilitas harus memenuhi ketentuan analisis struktur berikut :

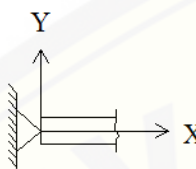
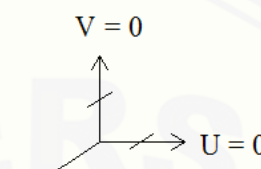
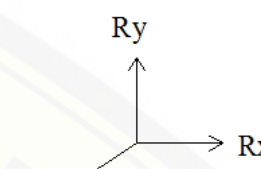
- a. Seluruh elemen struktur yang terangkai pada suatu nodal-nodal sebelum dan setelah pembebanan atau setelah berdeformasi akibat beban harus tetap terangkai pada nodal yang sama.
- b. Nodal-nodal pada semua elemen yang terangkai oleh suatu nodal kaku harus mengalami peralihan translasi dan rotasi yang sama.

2.7.4 Kondisi Batas

Kondisi batas merupakan kondisi yang akan terpenuhi apabila kondisi keseimbangan dan kompatibilitas pada setiap nodal struktur, elemen, dan perletakan telah terpenuhi. Terdapat dua macam kondisi batas, yaitu :

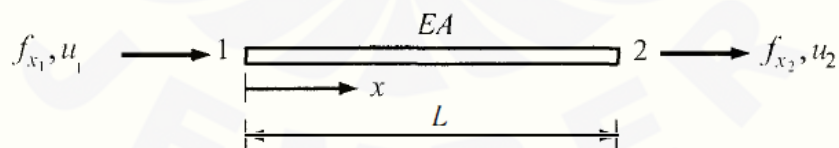
- a. Kondisi batas yang berhubungan dengan kondisi kompatibilitas dan kondisi peralihan yang telah ditentukan. Tipe kondisi batas ini dikenal sebagai kondisi batas kinematik atau kondisi batas peralihan .
- b. Kondisi batas yang merupakan suatu kondisi mekanik untuk memenuhi kondisi keseimbangan, dan kondisi dari gaya termasuk momen yang telah ditentukan sehingga memenuhi kondisi batas struktur secara keseluruhan. Kondisi batas ini dikenal sebagai kondisi natural atau fisik atau kondisi batas dari gaya.

Tabel 2.1 Kondisi perletakan sendi

Deskripsi	dk Translasi-Rotasi	Reaksi Perletakan
		

2.7.5 Derajat Kebebasan

Sebuah elemen rangka dengan panjang L, modulus elastisitas E dan luas penampang A , diletakkan sejajar dengan sumbu lokal seperti diperlihatkan dalam Gambar 2.10 Kedua ujung atau buhul dianggap sebagai nodal, masing-masing diberi nomor 1 dan 2. Gaya f_{x1} dan f_{x2} bekerja dalam arah x lokal masing-masing pada nodal 1 dan 2. Searah dengan dua gaya nodal tersebut, terdapat masing-masing peralihan u_1 dan u_2 . Peralihan-peralihan ini sering disebut derajat kebebasan (degrees of freedom) atau disingkat dk. Seluruhnya ada dua derajat kebebasan untuk elemen rangka ini.



Gambar 2.10 Elemen rangka sepanjang sumbu lokal x

Suatu pendekatan energi atau pendekatan keseimbangan tegangan-regangan dilakukan untuk menurunkan dua persamaan dalam bentuk matriks untuk

menghubungkan gaya f_{x1} dan f_{x2} dengan peralihan u_1 dan u_2 . Pendekatan energi lebih umum dan lebih tepat, khususnya untuk tipe-tipe elemen hingga yang rumit. Pendekatan keseimbangan tegangan-regangan adalah sederhana dan jelas secara fisik. Namun, ini dapat diterapkan hanya pada elemen hingga sederhana. Untuk menggunakan pendekatan energi, pertama-tama harus mendefinisikan sebuah fungsi peralihan untuk elemen.

2.7.6 Fungsi Peralihan dan Fungsi Bentuk

Untuk sebuah elemen dengan tegangan atau regangan aksial konstan, peralihan aksial $u(x)$ pada sebuah jarak x dari nodal 1 dapat dinyatakan dalam bentuk persamaan polinomial dan diasumsikan bervariasi secara linier terhadap x , yaitu:

$$u(x) = a_1 + a_2 = \langle 1 \quad x \rangle \begin{Bmatrix} a_1 \\ a_2 \end{Bmatrix} = \langle P \rangle \{a_n\} \quad (2.7.2)$$

di mana a_1 dan a_2 adalah dua konstanta yang tergantung pada kondisi dua nodal tersebut.

$$\text{Pada } x = 0, u(x) = u(0) = u_1 = \langle 1 \quad 0 \rangle \{a_n\}$$

$$\text{Pada } x = L, u(x) = u(L) = u_2 = \langle 1 \quad L \rangle \{a_n\}$$

Dapat disusun bentuk matriks :

$$\begin{Bmatrix} u_1 \\ u_2 \end{Bmatrix} = \begin{bmatrix} 1 & 0 \\ 1 & L \end{bmatrix} \begin{Bmatrix} a_1 \\ a_2 \end{Bmatrix} \text{ atau secara simbolis : } \{u_n\} = [P] \{a_n\}$$

$$\text{Relasi invers memberikan : } \{a_n\} = [P]^{-1} \{u_n\} \quad (2.7.3)$$

Dengan mensubstitusikan hasil-hasil untuk a_1 dan a_2 dalam Persamaan (2.5.9) dan menyusun kembali persamaan tersebut memberikan bentuk akhir dari fungsi peralihan:

$$u(x) = \sum_{i=1,2} N_{u_i} u_i = \langle N_{u_1} \quad N_{u_2} \rangle \begin{Bmatrix} u_1 \\ u_2 \end{Bmatrix} = N_{u_1}(x)u_1 + N_{u_2}(x)u_2 \quad (2.7.4)$$

$$\text{dengan: } N_{u_1}(x) = 1 - \frac{x}{L} \text{ dan } N_{u_2}(x) = 1 - \frac{x}{L} \quad (2.7.5)$$

di mana $N_{u_1}(x)$ dan $N_{u_2}(x)$ menggambarkan distribusi atau bentuk dari peralihan

dihubungkan dengan masing-masing derajat kebebasan u_1 dan u_2 . Biasanya dalam literatur hal ini dinamakan fungsi bentuk (*shape functions*).

2.7.7 Persamaan Kekakuan Elemen dan Struktur

Kekakuan dalam analisis struktur adalah perbandingan antara gaya dengan peralihannya atau gaya sama dengan kekakuan dikalikan dengan peralihannya. Dengan demikian, hubungan antara gaya, peralihan, dan kekakuan dapat ditentukan oleh bentuk persamaan berikut ini :

$$\text{Untuk setiap elemen pembentuk struktur : } \{f_n\} = [k]\{u_n\} \quad (2.7.6)$$

$$\text{Untuk struktur secara keseluruhan : } \{F\} = [K]\{U\} \quad (2.7.7)$$

Penggunaan matriks $[k]$ harus menyesuaikan bentuk geometri elemen-elemennya. Untuk membentuk koefisien matriks $[k]$ yang berlaku untuk semua kondisi geometri, maka matriks $[k]$ harus ditransformasi dengan suatu matriks transformasi, matriks $[T]$ yang bentuknya disesuaikan dengan sistem sumbu koordinat bidang. Prosedur umum dari transformasi koordinat dari sumbu lokal ke sumbu global adalah $[k]_{global} = [T]^T[k]_{lokal}[T]$ (2.7.8)

Parameter matriks kekakuan struktur pada prinsipnya adalah penggabungan matriks kekakuan elemen, yaitu dengan prinsip superposisi yang disesuaikan dengan penomoran $d. k$ nya atau $d. k$ yang bersesuaian. Matriks $[K]$ adalah matriks kekakuan dalam sumbu koordinat global, sehingga matriks $[K]$ dibentuk oleh superposisi koefisien matriks $[k]$ yang sudah berada pada sumbu koordinat globalnya.

Kekakuan suatu elemen ini dipengaruhi oleh kekakuan materialnya yang ditentukan oleh properti material atau elastisitas bahan pembentuk elemen tersebut, misalnya kayu, beton, baja, dan lain-lain dan properti penampangnya.

2.7.8 Beban Nodal Ekuivalen

Gaya-gaya dan momen lentur yang bekerja langsung di antara nodal elemen harus ditransformasikan menjadi beban nodal sehingga sesuai dengan tipe peralihan yang didefinisikan. Metode beban nodal ekuivalen yang umum digunakan adalah Beban Nodal Ekuivalen (BNE). Pada metode ini besarnya kerja luar atau kerja eksternal (Π_{ext}) yang dihasilkan oleh beban beban nodal ekuivalen sama besarnya dengan kerja yang dihasilkan oleh beban yang bekerja di antara nodal elemen.

Pada elemen balok kerja luar yang dilakukan oleh BNE yang belum diketahui yaitu :

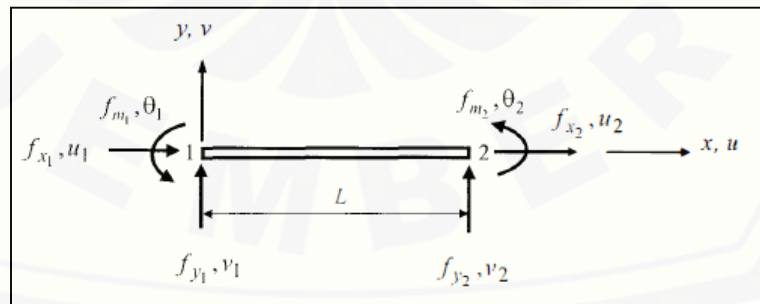
$$\Pi_{ext} = \langle v_1 \quad \theta_1 \quad v_2 \quad \theta_2 \rangle \begin{Bmatrix} f_{y1} \\ f_{m1} \\ f_{y2} \\ f_{m2} \end{Bmatrix}^{BNE}$$

Dengan adanya BNE, persamaan kekakuan elemen dari persamaan (2.7.6) berubah menjadi :

$$\{f_n\} = [k]\{u_n\} - \{f_n\}^{BNE} \quad (2.7.9)$$

2.7.9 Elemen Balok

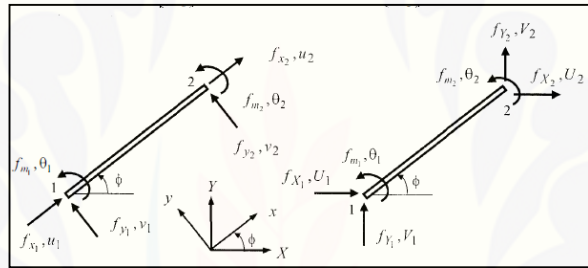
Dalam perhitungan balok lengkung, elemen balok mengalami gaya aksial, gaya transversal, dan gaya momen lentur. Sehingga elemen harus memiliki tiga derajat kebebasan pada setiap nodalnya. Derajat kebebasan tersebut terdiri dari peralihan terhadap sumbu x, peralihan terhadap sumbu y, dan putaran sudut (rotasi).



Gambar 2.11 Derajat kebebasan elemen balok

Pada Gambar 2.11 , gaya nodal elemen yang terkait untuk derajat kebebasan U, V, dan θ adalah gaya f_x , f_y , dan sebuah momen lentur f_m . Arah elemen membentuk sudut θ berlawanan dengan arah jarum jam terhadap sumbu X global. Balok tersebut memiliki modulus elastisitas E, luas penampang A, momen inersia I, dan panjang L.

2.7.10 Elemen Balok pada Sumbu Lokal



Gambar 2.12 Balok pada koordinat lokal dan global

Berdasarkan Gambar 2.12, maka dapat dibentuk matriks kekakuan berikut :

$$\begin{bmatrix} f_{x_1} \\ f_{x_2} \\ f_{y_1} \\ f_{y_2} \\ f_{m_1} \\ f_{m_2} \end{bmatrix} = \begin{bmatrix} \frac{EA}{L} & -\frac{EA}{L} & 0 & 0 & 0 & 0 \\ -\frac{EA}{L} & \frac{EA}{L} & 0 & 0 & 0 & 0 \\ 0 & 0 & \frac{12EI}{L^3} & \frac{6EI}{L^2} & -\frac{12EI}{L^3} & \frac{6EI}{L^2} \\ 0 & 0 & \frac{6EI}{L^2} & \frac{4EI}{L} & -\frac{6EI}{L^2} & \frac{2EI}{L} \\ 0 & 0 & -\frac{12EI}{L^3} & -\frac{6EI}{L^2} & \frac{12EI}{L^3} & -\frac{6EI}{L^2} \\ 0 & 0 & \frac{6EI}{L^2} & \frac{2EI}{L} & -\frac{6EI}{L^2} & \frac{4EI}{L} \end{bmatrix} \begin{bmatrix} u_1 \\ u_2 \\ v_1 \\ v_2 \\ \theta_1 \\ \theta_2 \end{bmatrix} \quad (2.7.10)$$

BNE

Matriks kekakuan pada persamaan (2.6.15) terbentuk dari empat submatriks , dua di antaranya adalah submatriks nol. Dua submatriks yang tidak nol terletak di sepanjang diagonal utama. Satu behubungan dengan aksial dan yang lain berhubungan dengan lentur. Penyusunan submatriks tersebut menyatakan bahwa submatriks kekakuan aksial dan submatriks kekakuan lentur tidak saling mempengaruhi. Ketika elemen berada pada bidang X,Y dengan posisi sumbu x lokal bersudut θ pada sumbu X global, maka matriks kekakuan pada persamaan (2.6.15) harus menjalani prosedur transformasi koordinat.

Untuk kemudahan penggabungan, derajat kebebasan pada masing-masing nodal pada persamaan (2.6.15) dapat disusun berdasarkan urutan sebagai berikut :

$$\begin{bmatrix} f_{x_1} \\ f_{y_1} \\ f_{m_1} \\ f_{x_2} \\ f_{y_2} \\ f_{m_2} \end{bmatrix} = \begin{bmatrix} \frac{EA}{L} & 0 & 0 & -\frac{EA}{L} & 0 & 0 \\ 0 & \frac{12EI}{L^3} & \frac{6EI}{L^2} & 0 & -\frac{12EI}{L^3} & \frac{6EI}{L^2} \\ 0 & \frac{6EI}{L^2} & \frac{4EI}{L} & 0 & -\frac{6EI}{L^2} & \frac{2EI}{L} \\ -\frac{EA}{L} & 0 & 0 & \frac{EA}{L} & 0 & 0 \\ 0 & -\frac{12EI}{L^3} & -\frac{6EI}{L^2} & 0 & \frac{12EI}{L^3} & -\frac{6EI}{L^2} \\ 0 & \frac{6EI}{L^2} & \frac{2EI}{L} & 0 & -\frac{6EI}{L^2} & \frac{4EI}{L} \end{bmatrix} \begin{bmatrix} u_1 \\ v_1 \\ \theta_1 \\ u_2 \\ v_2 \\ \theta_2 \end{bmatrix} - \begin{bmatrix} f_{x_1} \\ f_{y_1} \\ f_{m_1} \\ f_{x_2} \\ f_{y_2} \\ f_{m_2} \end{bmatrix}^{BNE} \quad (2.7.11)$$

Persamaan di atas dapat ditulis secara simbolik sebagai berikut :

$$\{f_n\}_{lokale} = [k]_{lokale}\{u_n\}_{lokale} - \{f_n\}_{lokale}^{BNE} \quad (2.7.12)$$

2.7.11 Transformasi koordinat

Sesuai dengan persamaan (2.6.13), balok dengan posisi elemen pada sumbu lokal dan global yang berbeda arah perlu memperhatikan hubungan gaya nodal dan peralihan dari semua elemen terhadap sumbu global agar dapat menerapkan kondisi keseimbangan dan kompatibilitas secara tepat. Hal ini dapat dicapai dengan melakukan

transformasi pada keenam gaya nodal koordinat lokal ke dalam sistem koordinat global sesuai persamaan berikut :

$$\begin{pmatrix} f_{x1} \\ f_{y1} \\ f_{m1} \\ f_{x2} \\ f_{y2} \\ f_{m2} \end{pmatrix} = \begin{bmatrix} C & S & 0 & 0 & 0 & 0 \\ -S & C & 0 & 0 & 0 & 0 \\ 0 & 0 & 1 & 0 & 0 & 0 \\ 0 & 0 & 0 & C & S & 0 \\ 0 & 0 & 0 & -S & C & 0 \\ 0 & 0 & 0 & 0 & 0 & 1 \end{bmatrix} \begin{pmatrix} f_{X1} \\ f_{Y1} \\ f_{m1} \\ f_{X2} \\ f_{Y2} \\ f_{m2} \end{pmatrix} \quad (2.7.13)$$

Keterangan : C dan S adalah $\cos\theta$ dan $\sin\theta$

Persamaan tersebut dapat ditulis secara simbolik sebagai berikut :

$$\{f_n\}_{lokal} = [T]\{f_n\}_{global} \quad (2.7.14)$$

2.7.12 Persamaan kekakuan balok

Kekakuan elemen balok yang bersudut \varnothing dengan arah berlawanan jarum jam dari sumbu x adalah sebagai berikut :

$$\begin{pmatrix} f_{x1} \\ f_{y1} \\ f_{m1} \\ f_{x2} \\ f_{y2} \\ f_{m2} \end{pmatrix} = [k] \begin{pmatrix} U_1 \\ V_1 \\ \theta_1 \\ U_2 \\ V_2 \\ \theta_2 \end{pmatrix} - \begin{pmatrix} f_{x1} \\ f_{y1} \\ f_{m1} \\ f_{x2} \\ f_{y2} \\ f_{m2} \end{pmatrix}^{BNE} \quad (2.7.15)$$

dimana :

$$[k] = \begin{bmatrix} \frac{EA}{L}C^2 + \frac{12EI}{L^3}S^2 & \left(\frac{EA}{L} - \frac{12EI}{L^3}\right)CS & -\frac{6EI}{L^2}S & -\frac{EA}{L}C^2 - \frac{12EI}{L^3}S^2 & \left(-\frac{EA}{L} + \frac{12EI}{L^3}\right)CS & -\frac{6EI}{L^2}S \\ \left(\frac{EA}{L} - \frac{12EI}{L^3}\right)CS & \frac{EA}{L}S^2 + \frac{12EI}{L^3}C^2 & \frac{6EI}{L^2}C & \left(-\frac{EA}{L} + \frac{12EI}{L^3}\right)CS & -\frac{EA}{L}S^2 - \frac{12EI}{L^3}C^2 & \frac{6EI}{L^2}C \\ -\frac{6EI}{L^2}S & \frac{6EI}{L^2}C & \frac{4EI}{L} & \frac{6EI}{L^2}S & -\frac{6EI}{L^2}C & \frac{2EI}{L} \\ -\frac{EA}{L}C^2 - \frac{12EI}{L^3}S^2 & \left(-\frac{EA}{L} + \frac{12EI}{L^3}\right)CS & \frac{6EI}{L^2}S & \frac{EA}{L}C^2 + \frac{12EI}{L^3}S^2 & \left(\frac{EA}{L} - \frac{12EI}{L^3}\right)CS & \frac{6EI}{L^2}S \\ \left(-\frac{EA}{L} + \frac{12EI}{L^3}\right)CS & -\frac{EA}{L}S^2 - \frac{12EI}{L^3}C^2 & -\frac{6EI}{L^2}C & \left(+\frac{EA}{L} - \frac{12EI}{L^3}\right)CS & \frac{EA}{L}S^2 + \frac{12EI}{L^3}C^2 & -\frac{6EI}{L^2}C \\ -\frac{6EI}{L^2}S & \frac{6EI}{L^2}C & \frac{2EI}{L} & \frac{6EI}{L^2}S & -\frac{6EI}{L^2}C & \frac{4EI}{L} \end{bmatrix}$$

Atau secara simbolik ditulis :

$$\{f_n\}_{global} = [k]_{global} \{u_n\}_{global} - \{f_n\}_{global}^{BNE} \quad (2.7.16)$$

2.7.13 Strategi Solusi Persamaan

Untuk memperoleh solusi persamaan, maka persamaan matriks kekakuan (2.6.12) dikelompokkan menjadi :

$$\begin{cases} F_J \\ F_S \end{cases} = \begin{cases} K_{JJ} & K_{JS} \\ K_{SJ} & K_{SS} \end{cases} \begin{cases} U_J = ? \\ U_s = 0 \end{cases} \quad (2.7.17)$$

Keterangan :

$\{U_J\}$ = matriks dengan nilai derajat kebebasan tak terkekang yang ingin dicari

$\{U_s\}$ = matriks dengan derajat kebebasan terkekang bernilai nol

$\{F_J\}$ = beban luar yang berhubungan dengan nilai derajat kebebasan tak terkekang

$\{F_S\}$ = gaya reaksi yang tidak diketahui dan berhubungan dengan derajat kebebasan nodal terkekang.

Dengan mengalikan persamaan maka dihasilkan persamaan:

$$\{F_J\} = \{K_{JJ}\} \{U_J\} \quad (2.7.18)$$

Sehingga

$$\{U_J\} = \{K_{JJ}\}^{-1} \{F_J\} \quad (2.7.19)$$

Kemudian gaya-gaya reaksi yang tidak diketahui dapat dihitung dengan :

$$\{F_S\} = \{K_{SJ}\} \{U_J\} = \{K_{SJ}\} \{K_{JJ}\}^{-1} \{F_J\} \quad (2.7.20)$$

2.7.14 Persamaan Gaya Internal Normal (N), Geser (T), dan Momen (M)

Perhitungan gaya internal elemen pada nodal dapat dilakukan apabila d.k. elemen sudah diketahui sesuai persamaan berikut :

$$\begin{bmatrix} N_1 \\ T_1 \\ M_1 \\ N_2 \\ T_2 \\ M_2 \end{bmatrix} = \begin{bmatrix} -\frac{EA}{L} & 0 & 0 & \frac{EA}{L} & 0 & 0 \\ 0 & -\frac{12EI}{L^3} & -\frac{6EI}{L^2} & 0 & \frac{12EI}{L^3} & -\frac{6EI}{L^2} \\ 0 & \frac{6EI}{L^2} & \frac{4EI}{L} & 0 & -\frac{6EI}{L^2} & \frac{2EI}{L} \\ -\frac{EA}{L} & 0 & 0 & \frac{EA}{L} & 0 & 0 \\ 0 & -\frac{12EI}{L^3} & -\frac{6EI}{L^2} & 0 & \frac{12EI}{L^3} & -\frac{6EI}{L^2} \\ 0 & -\frac{6EI}{L^2} & -\frac{2EI}{L} & 0 & \frac{6EI}{L^2} & -\frac{4EI}{L} \end{bmatrix} \begin{bmatrix} u_1 \\ v_1 \\ \theta_1 \\ u_2 \\ v_2 \\ \theta_2 \end{bmatrix}_{lokal} + \begin{bmatrix} N_1 \\ T_1 \\ M_1 \\ N_2 \\ T_2 \\ M_2 \end{bmatrix}_{GIE}^{GIE} \quad (2.7.21)$$

Dengan mensubstitusikan persamaan (2.7.14) ke dalam persamaan (2.7.21), maka diperoleh :

$$\begin{bmatrix} N_1 \\ T_1 \\ M_1 \\ N_2 \\ T_2 \\ M_2 \end{bmatrix} = \begin{bmatrix} -\frac{EA}{L}C & -\frac{EA}{L}S & 0 & \frac{EA}{L}C & \frac{EA}{L}S & 0 \\ \frac{12EI}{L^3}S & -\frac{12EI}{L^3}C & -\frac{6EI}{L^2} & -\frac{12EI}{L^3}S & \frac{12EI}{L^3}C & -\frac{6EI}{L^2} \\ \frac{6EI}{L^2}S & \frac{6EI}{L^2}C & \frac{4EI}{L} & \frac{6EI}{L^2}S & -\frac{6EI}{L^2}C & \frac{2EI}{L} \\ -\frac{EA}{L}C & -\frac{EA}{L}S & 0 & \frac{EA}{L}C & \frac{EA}{L}S & 0 \\ \frac{12EI}{L^3}S & -\frac{12EI}{L^3}C & -\frac{6EI}{L^2} & -\frac{12EI}{L^3}S & \frac{12EI}{L^3}C & -\frac{6EI}{L^2} \\ \frac{6EI}{L^2}S & -\frac{6EI}{L^2}C & -\frac{2EI}{L} & -\frac{6EI}{L^2}S & \frac{6EI}{L^2}C & -\frac{4EI}{L} \end{bmatrix} \begin{bmatrix} U_1 \\ V_1 \\ \theta_1 \\ U_2 \\ V_2 \\ \theta_2 \end{bmatrix}_{global} + \begin{bmatrix} N_1 \\ T_1 \\ M_1 \\ N_2 \\ T_2 \\ M_2 \end{bmatrix}_{GIE}^{GIE} \quad (2.7.22)$$

BAB 3. METODOLOGI PENELITIAN

3.1 Umum

Pengujian model beton pelengkung dalam penelitian ini menggunakan alat *dial gauge* untuk mengetahui besarnya lendutan yang terjadi saat struktur menerima beban. Selain itu, penelitian ini menggunakan bantuan perangkat lunak komputer berupa aplikasi pengolah data untuk membantu analisis lendutan balok lengkung dengan metode elemen hingga. Kemudian nilai lendutan hasil pengujian beton lengkung dibandingkan dengan hasil analisis metode elemen hingga sehingga diperoleh perbandingan nilai lendutan antara hasil analisis dan pengujian beton lengkung.

3.2 Waktu dan Lokasi Penelitian

Penelitian dilakukan dalam beberapa tahap. Tahap pertama, menghitung perencanaan komposisi beton dan dilanjutkan dengan menentukan dimensi beton lengkung. Tahap kedua, melakukan pengujian agregat. Tahap ketiga, melakukan pengecoran sesuai mutu rencana. Tahap keempat, menguji lendutan pada beton lengkung. Tahap kelima, melakukan analisis lendutan beton lengkung dengan metode elemen hingga dan membandingkannya dengan lendutan hasil pengujian beton lengkung.

Lokasi pembuatan dan pengujian beton lengkung bertempat di Laboratorium Struktur, Fakultas Teknik, Universitas Jember di Jl. Slamet Riyadi no.62 Patrang, Jember.

3.3 Peralatan dan Bahan

3.3.1 Alat Pengujian Agregat

1. Oven
2. Satu set ayakan ASTM
3. Timbangan
4. Loyang
5. Ember
6. Alat perojok dan besi dengan diameter 16 mm, panjang 60 cm
7. Alat penggetar (*Shieve Shaker*)
8. Picnometer 100 cc

3.3.2 Alat Mengecor

1. *Concrete Mixer*
2. Timbangan
3. Penggaris/meteran
4. Besi penumbuk
5. Kerucut abrams
6. Cetakan silinder beton diameter 15cm dan panjang 30 cm.
7. Cetakan lengkung

3.3.3 Alat Uji Lendutan

1. *Dial gauge*
2. *Proving ring* berkapasitas 10000lbs (4535,92 kg)
3. Dongkrak pembebanan (*loading jack*)
4. *Frame* baja

3.3.4 Bahan Uji Agregat

1. Air
2. Pasir SSD
3. Kerikil SSD
4. Pasir
5. Kerikil

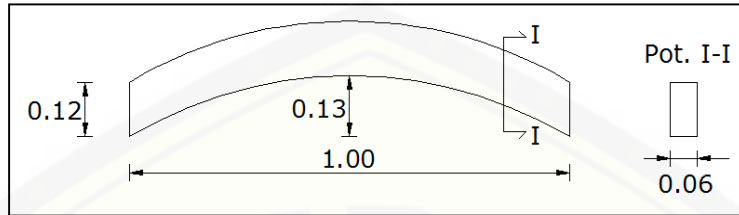
3.4 Langkah Penelitian

3.4.1 Studi Pustaka

Studi pustaka dilakukan untuk mendapatkan referensi acuan yang tepat dalam penyusunan tugas akhir ini. Referensi acuan tersebut diperoleh dari sumber-sumber tertulis baik tercetak maupun elektronik berupa buku, jurnal, tesis atau disertasi, dan lain-lain.

3.4.2 Perencanaan Balok Lengkung

Balok lengkung dibuat dari beton dengan variasi mutu rencana K-300, K-250, dan K-225. Perhitungan perencanaan campuran dilakukan sesuai langkah –langkah dalam buku Petunjuk Praktikum Praktek Teknologi Beton Laboratorium Struktur milik Fakultas Teknik Jurusan Teknik Sipil Universitas Jember. Jumlah benda uji untuk masing-masing mutu adalah tiga buah balok lengkung dan tiga buah beton silinder. Bekisting balok lengkung dibuat dari bahan kayu dengan dimensi panjang 1 meter, tinggi 0.12 meter, serta ketebalan 0.06 meter. Sedangkan bekisting silinder terbuat dari bahan baja dengan diameter 15cm dengan ketinggian 30cm.



Gambar 3.1 Dimensi balok pelengkung

3.4.3 Pengecoran Balok Lengkung

Beton lengkung dibuat dengan langkah sebagai berikut :

1. Menyiapkan semua alat pengecoran.
2. Menimbang semen, pasir dan kerikil sesuai proporsi rencana.
3. Menyiapkan air dengan menggunakan gelas ukur.
4. Menghidupkan *concrete mixer machine*.
5. Menuang kerikil, pasir, semen, dan air ke dalam *concrete mixer*.
6. Memastikan adonan beton segar tercampur dengan sempurna.
7. Mematikan *concrete mixer machine*.
8. Mengambil adonan beton dan lakukan uji *slump*.
9. Memastikan nilai *slump* 10 ± 2 cm
10. Menuangkan beton segar ke dalam *bekisting*.
11. Merojok beton segar di dalam *bekisting* untuk pemanjangan.

3.4.4 Perawatan Balok Lengkung

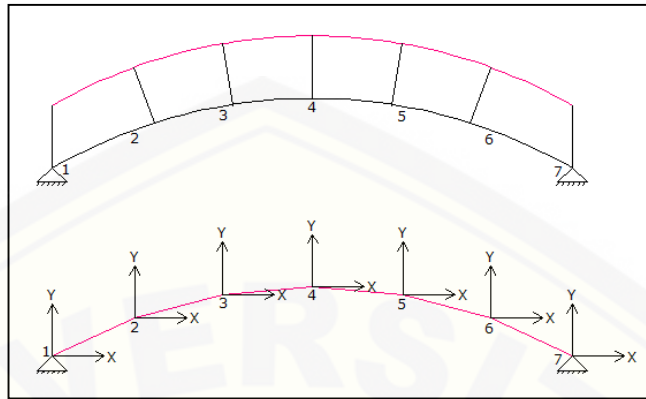
1. Diamkan beton segar selama ± 24 jam.
2. Lepaskan *bekisting*.
3. Rendam beton lengkung ke dalam kolam air.

3.4.5 Pengujian Balok Lengkung

1. Menyiapkan alat pengujian dan beton lengkung pada tempat yang berdekatan.
2. Memasang beton lengkung pada frame baja yang berfungsi sebagai tumpuan.
3. Memastikan beton lengkung berada pada posisi terhimpit oleh frame baja.
4. Memasang proving ring di bagian tengah atas beton lengkung
5. Meletakkan *hidrolic pump* di atas proving ring kemudian dipompa hingga ujung atas *hidrolic pump* menyentuh *frame* baja.
6. Meletakkan *dial gauge* pada sisi tengah bentang bagian bawah beton lengkung.
7. Mengatur jarum *dial gauge* dan *proving ring* pada kedudukan angka nol.
8. Memberikan pembebanan pada beton lengkung dengan memompa dongkrak pembebanan (*loading jack*) dan membaca jarum *dial gauge* setiap jarum *proving ring* bergerak 5 garis.
9. Catat nilai lendutan yang ditunjukkan jarum *dial gauge*.

3.4.6 Analisis Lendutan dengan Metode Elemen Hingga

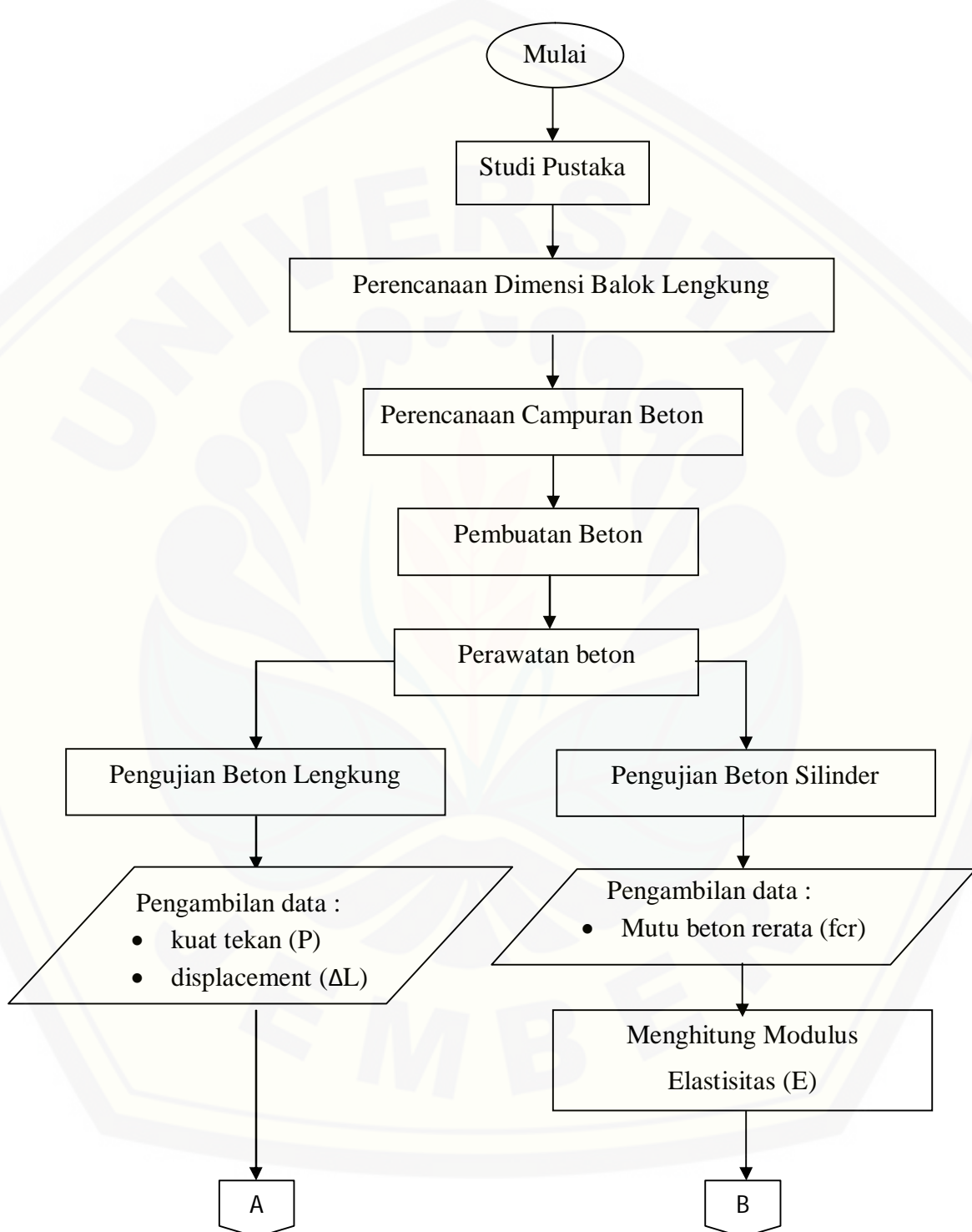
1. Membagi struktur beton lengkung menjadi enam dan sepuluh bagian dengan interval sudut jari-jari yang sama.
2. Memberikan nodal pada setiap segmen.
3. Mengukur sudut (θ) yang terbentuk antara segmen struktur lengkung terhadap sumbu horizontal nodal.
4. Mengukur panjang setiap segmen struktur lengkung (L).
5. Menghitung luas penampang geser beton lengkung (A).

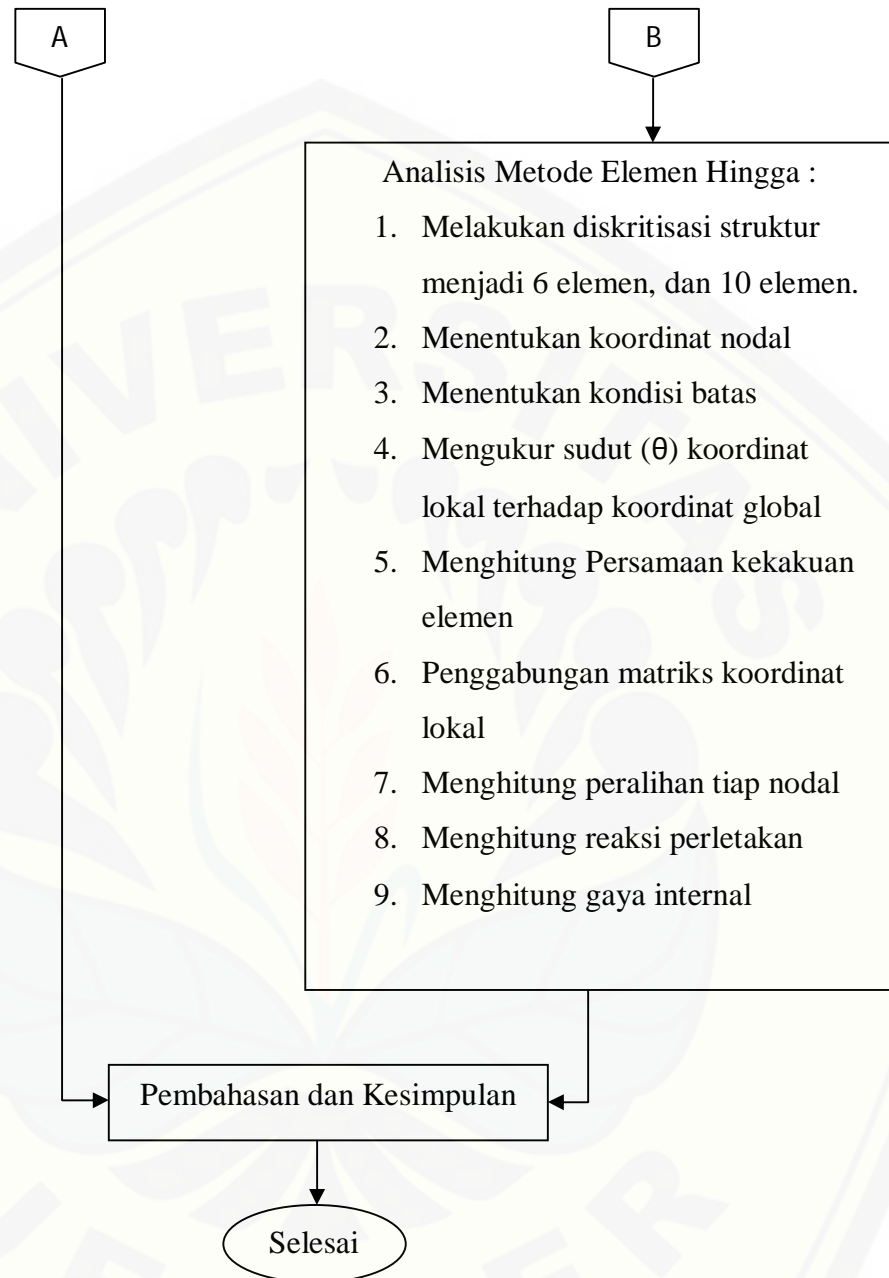


Gambar 3.2 Diskritisasi balok lengkung

6. Memasukkan parameter sudut (θ), panjang segmen (L), dan luas penampang (A) ke dalam persamaan (2.6.11) untuk memperoleh nilai kekakuan elemen dalam sistem koordinat global.
7. Melakukan penggabungan matriks kekakuan elemen.
8. Mengelompokkan matriks beban luar dan matriks reaksi perletakan.
9. Menghitung nilai perpindahan nodal.
10. Menghitung reaksi perletakan dengan memasukkan hasil perpindahan nodal pada langkah 9 ke dalam persamaan reaksi perletakan.

3.5 Diagram Alir





BAB 4. PEMBAHASAN

4.1 Pengujian Kuat Tekan Rerata Beton (fcr)

Pengujian kuat tekan rerata (fcr) dilakukan di Laboratorium pada tiga buah benda uji beton silinder berdiameter 15 cm dan panjang 30 cm . Beton yang akan diuji adalah beton dengan mutu rencana K300 (f_c' 24.90 MPa), K250 (f_c' 20.75 MPa), dan K225 (f_c' 18.68 MPa). Data hasil pengujian kuat tekan ditulis dalam tabel 4.1 berikut :

Tabel 4.1 Kuat tekan rerata beton (fcr)

Tipe	Tgl prod	Tgl. Uji	Kode	P maks (kN)	P maks rata2 (kN)	fcr (N/mm ²)
K300	11.7.2014	15.9.2014	BU.1	660		
			BU.2	930	783.33	44.35
			BU.3	760		
K250	14.7.2014	15.9.2014	BU.1	620		
			BU.2	660	716.67	40.58
			BU.3	870		
K225	12.7.2014	15.9.2014	BU.1	665		
			BU.2	668	665	37.65
			BU.3	662		

Berdasarkan tabel 4.1, mutu beton rerata hasil pengujian (fcr) memiliki nilai yang berbeda jauh dari nilai mutu rencana. Hal ini disebabkan oleh jumlah air yang digunakan saat proses pengecoran tidak sesuai dengan jumlah air hasil perhitungan campuran rencana. Pemberian sejumlah air dilakukan hingga nilai *slump* mencapai 10 ± 2 cm.

Hal lain yang menyebabkan mutu beton rerata berada di atas mutu beton rencana yaitu rentang waktu pembuatan beton segar dan pengujian kuat tekan telah

melampaui 28 hari, sehingga kuat tekan beton menjadi lebih tinggi. Untuk pembahasan selanjutnya, nilai mutu beton yang digunakan dalam perhitungan adalah nilai mutu beton rerata (fcr) yang tertulis pada tabel 4.1.

4.2 Pengujian Lendutan Balok Lengkung

Pengujian lendutan balok lengkung dilakukan dengan menggunakan alat uji *frame baja* sebagai tumpuan, dongkrak pembebanan untuk memberi sejumlah beban pada balok lengkung, *proving ring* untuk membaca besar beban yang diterima struktur balok lengkung, dan *dial gauge* untuk membaca besar lendutan yang terjadi pada struktur balok lengkung. Posisi penempatan alat-alat tersebut seperti pada gambar 4.1.



Gambar 4.1 Posisi balok lengkung yang akan diuji lendutan

Setelah posisi balok lengkung siap untuk diuji, maka proses pembebanan dapat dilakukan. Pembacaan arloji dial gauge dilakukan selama proses pembebanan setiap jarum arloji proving ring bergerak sebesar 5 div. Hal ini mengartikan bahwa data lendutan yang diperoleh adalah data hasil pembacaan dial gauge setiap pembebanan bertambah 5 div hingga balok lengkung mengalami keruntuhan. Penulisan data pembebanan dan lendutan berakhir sebelum balok mengalami keruntuhan seperti gambar 4.2. Hasil pembacaan arloji *proving ring* dikalikan dengan

faktor kalibrasi *proving ring* sebesar 49.9 lbs atau sama dengan 226.3 N dan hasil pembacaan arloji *dial gauge* dikalikan dengan faktor kalibrasi *dial gauge* sebesar 0.01 mm.



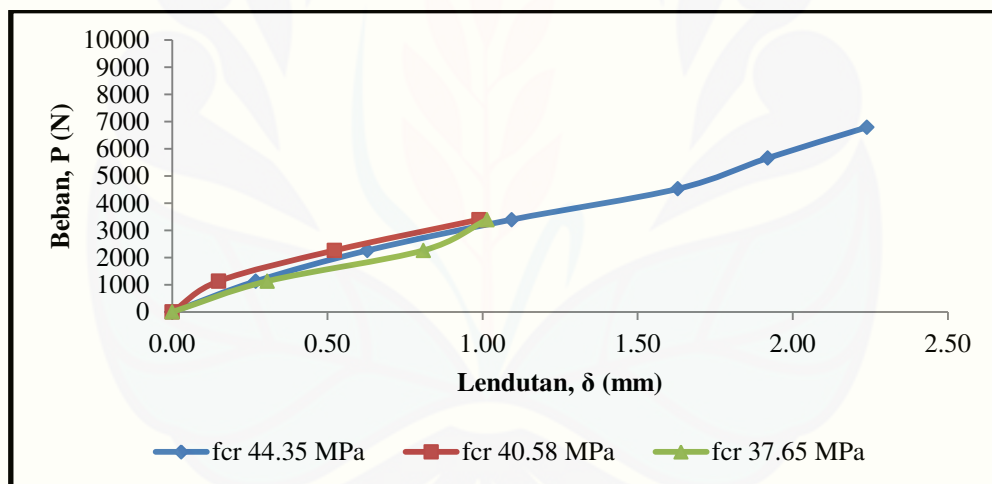
Gambar 4.2 Balok lengkung yang mengalami keruntuhan

Letak keruntuhan yang sering terjadi terletak pada bagian tengah balok dan berbentuk garis lurus menjalar dari bawah balok menuju ke atas balok seperti pada Gambar 4.2. Keruntuhan ini disebut sebagai keruntuhan tarik karena serat yang mengalami kegagalan adalah serat tarik. Dari seluruh benda uji balok lengkung tidak satupun balok yang mengalami keruntuhan secara total. Struktur balok lengkung hanya mengalami retakan seperti Gambar 4.2. Hal ini disebabkan karena balok lengkung memiliki kemampuan mendistribusikan gaya tekan yang diterima dengan baik. Gaya tekan tersebut didistribusikan dan ditahan oleh perletakan struktur lengkung. Tabel 4.2 berisi lendutan rerata yang hasil pembacaan jarum *dial gauge*

selama pembebanan dilakukan. Data pada Tabel 4.2 kemudian digambar dalam bentuk grafik pada Gambar 4.3.

Tabel 4.2 Pembacaan Hasil Uji Balok Lengkung

P (N)	lendutan rerata (mm)		
	44.35	40.58	37.65
0	0.00	0.00	0.00
1131.73	0.27	0.15	0.31
2263.46	0.63	0.52	0.81
3395.20	1.10	0.99	1.02
4526.93	1.63		
5658.66	1.92		
6790.39	2.24		



Gambar 4.3 Grafik perilaku lendutan balok lengkung pada variasi mutu beton

Pada Gambar 4.3 nampak bahwa balok lengkung dengan mutu 44.35 MPa mampu menerima beban terbesar dibandingkan beton dengan mutu lainnya. Selain itu, pertambahan nilai lendutan antar mutu beton rencana (fcr) terbesar hingga terkecil tidak menunjukkan angka yang berurutan dari kecil ke besar.

Pada tabel 4.2 saat balok lengkung menerima beban sebesar 1131.73 N lendutan beton terkecil terjadi pada beton fcr 40.58 MPa yaitu 0.15 mm, sedangkan lendutan terbesar terjadi pada beton fcr 37.65 MPa yaitu 0.31 MPa.

4.3 Modulus Elastisitas Beton (E)

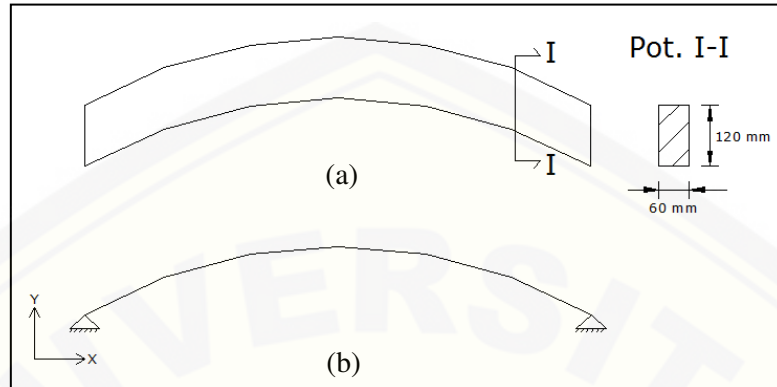
Nilai modulus elastisitas yang digunakan dalam penelitian ini menggunakan rumus dalam SNI dimana faktor nilai mutu kuat tekan beton (fcr) menjadi data yang digunakan untuk memperoleh nilai modulus elastisitas. Rincian perhitungan modulus elastisitas dapat dilihat pada Lampiran C. Hasil perhitungan modulus elastisitas kemudian dimasukkan ke dalam analisis elemen hingga. Dengan demikian, diharapkan perilaku lendutan beton yang akan diamati secara teori maupun pengujian semakin mendekati nilai yang sama.

Tabel 4.3 Nilai modulus elastisitas beton

fcr (MPa)	Elastisitas $4700\sqrt{fc'}$ (MPa)
44.35	31300.0531
40.58	29938.52315
37.65	28839.15911

4.4 Analisis Metode Elemen Hingga

Hasil analisis metode elemen hingga yang dibahas adalah gaya internal struktur dan besar lendutan akibat pembebanan pada balok lengkung. Analisis Elemen Hingga dilakukan dengan dua cara, yaitu struktur lengkung dibagi menjadi enam segmen dan sepuluh segmen. Tumpuan struktur diasumsikan sebagai tumpuan sendi dan balok lengkung diasumsikan sebagai balok tipis yang penampang melintangnya tidak akan berubah bentuk ketika berdeformasi, sehingga analisis dilakukan dengan metode elemen hingga satu dimensi.



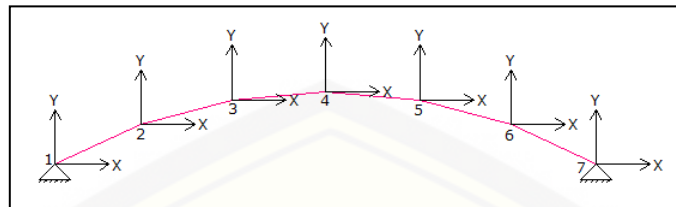
Gambar 4.4 (a) Balok lengkung, (b) Balok lengkung satu dimensi

Berdasarkan dimensi penampang melintang balok seperti pada Gambar 4.4 (a) diperoleh data luas penampang (A) dan momen inersia (I) dengan perhitungan sebagai berikut : luas penampang (A) = $b \times h = 60 \times 120 = 7200 \text{ mm}^2$ dan momen inersia (I) = $\frac{1}{12} \times b \times h^3 = 864000 \text{ mm}^4$.

Pembahasan analisis metode elemen hingga yang disampaikan dalam sub bab berikut merupakan langkah analisis elemen hingga enam segmen.

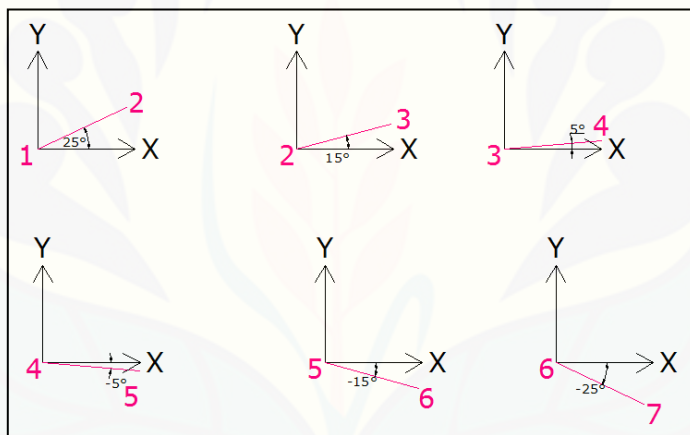
4.4.1 Pemotongan Struktur menjadi Segmen

Pemotongan struktur balok lengkung dilakukan dengan membagi struktur balok lengkung menjadi enam segmen dengan jarak antar segmen yang sama panjang. Setelah pembagian segmen, kemudian dilakukan penomoran nodal pada segmen-segmen seperti pada Gambar 4.7. Pemotongan segmen merupakan langkah untuk memperoleh data panjang segmen (L) dan sudut transformasi (θ) antara koordinat absis lokal terhadap absis koordinat global.



Gambar 4.5 Pembagian balok menjadi enam segmen

Dengan pengukuran menggunakan *software* grafis diketahui panjang segmen (L) dan sudut transformasi (θ) sumbu koordinat absis lokal terhadap sumbu koordinat absis global tiap potongan segmen.



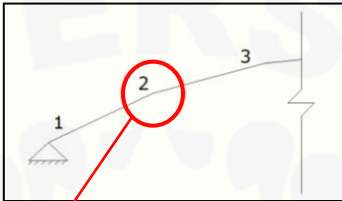
Gambar 4.6 Hasil pengukuran sudut koordinat lokal terhadap koordinat global

4.4.2 Persamaan Kekakuan

Persamaan kekakuan dihitung pada setiap segmen pembentuk balok lengung menggunakan rumus dalam persamaan (2.7.16). Nilai Beban Nodal Ekuivalen (BNE) dalam persamaan matriks kekakuan bernilai 0 karena struktur tidak menerima beban pada bagian tengah segmen.

4.4.3 Penggabungan Matriks Kekakuan

Penggabungan matriks kekakuan dilakukan dengan cara menjumlahkan seluruh matriks hasil perhitungan sub bab 4.4.2 menjadi sebuah matriks gabungan. Sel matriks dengan kode nodal yang sama seperti pada Gambar 4.7 mengalami penjumlahan dalam proses penggabungan.



f_{x_1}	$1\text{E}+06$	297965	$-2\text{E}+07$	$-1\text{E}+06$	$-3\text{E}+05$	$-2\text{E}+07$		u_1
f_{y_1}	297965	576530	$4\text{E}+07$	$-3\text{E}+07$	$-6\text{E}+05$	$4\text{E}+07$		v_1
f_{x_2}	$-2\text{E}+07$	$4\text{E}+07$	$6\text{E}+09$	$2\text{E}+07$	$-4\text{E}+07$	$3\text{E}+09$		θ_1
f_{y_2}	$-1\text{E}+06$	$-3\text{E}+05$	$2\text{E}+07$	$2\text{E}+07$	492448	$7\text{E}+06$	$-1\text{E}+06$	u_2
f_{x_3}	$-3\text{E}+05$	$-6\text{E}+05$	$-4\text{E}+07$	492448	$1\text{E}+06$	$3\text{E}+06$	$-2\text{E}+05$	v_2
f_{y_3}	$-2\text{E}+07$	$4\text{E}+07$	$3\text{E}+09$	$7\text{E}+06$	$3\text{E}+06$	$1\text{E}+10$	$-4\text{E}+07$	θ_2
f_{x_4}				$-1\text{E}+06$	$-2\text{E}+05$	$2\text{E}+07$	262026	$8\text{E}+06$
f_{y_4}				$-2\text{E}+05$	$-5\text{E}+05$	$-4\text{E}+07$	262026	933194
f_{m_1}							$1\text{E}+06$	-67543
f_{m_2}							$-4\text{E}+05$	$4\text{E}+07$
f_{m_3}							$4\text{E}+06$	$3\text{E}+09$
f_{m_4}							$-1\text{E}+06$	-67543
f_{m_5}							$4\text{E}+06$	$2\text{E}+06$
f_{m_6}							0	886932
f_{m_7}							0	67543
f_{m_8}							$-4\text{E}+05$	$4\text{E}+07$
f_{m_9}							$3\text{E}+09$	$1\text{E}+06$
$\text{f}_{m_{10}}$							$-1\text{E}+06$	67543
$\text{f}_{m_{11}}$							$-4\text{E}+05$	$-4\text{E}+07$
$\text{f}_{m_{12}}$							$3\text{E}+09$	$1\text{E}+06$
$\text{f}_{m_{13}}$							$-1\text{E}+06$	194483
$\text{f}_{m_{14}}$							$-4\text{E}+05$	$1\text{E}+07$
$\text{f}_{m_{15}}$							$1\text{E}+06$	194483
$\text{f}_{m_{16}}$							$-3\text{E}+06$	297965
$\text{f}_{m_{17}}$							$-2\text{E}+07$	$2\text{E}+07$
$\text{f}_{m_{18}}$							$1\text{E}+06$	297965
$\text{f}_{m_{19}}$							$-3\text{E}+06$	576530
$\text{f}_{m_{20}}$							$-2\text{E}+07$	$4\text{E}+07$
$\text{f}_{m_{21}}$							$3\text{E}+09$	$6\text{E}+09$

Gambar 4.7 Matriks hasil penggabungan matriks kekakuan

Pada Gambar 4.7 nodal nomor 2, 3, 4, 5, dan 6 merupakan nodal yang mengalami penjumlahan pada proses penggabungan persamaan matriks kekakuan.

Setelah proses penggabungan matriks kekakuan selesai, selanjutnya dilakukan penentuan kondisi batas. Dalam kondisi tumpuan sendi-sendi, maka kondisi batasnya adalah $u_1 = v_1 = u_7 = v_7 = 0$.

Gambar 4.8 Pengelompokan matriks kekakuan berdasarkan kondisi batas

Matriks pada Gambar 4.8 kemudian dikelompokkan seperti pada persamaan (2.7.17). Akibat dari kondisi batas, maka matriks kolom 1 hingga kolom 4 dapat direduksi. Untuk memperoleh nilai peralihan nodal, maka matriks yang telah dikelompokkan tersebut diselesaikan dengan persamaan (2.7.19). Sedangkan untuk memperoleh nilai reaksi perletakan matriks pada Gambar 4.8 diselesaikan dengan persamaan (2.7.20).

\mathbf{u}_1	6E-10	-2E-08	6E-08	9E-11	-2E-08	5E-08	-1E-10	-1E-08	2E-08	-2E-10	-1E-08	-1E-08	-8E-11	-1E-08	-1E-08	5E-11	1E-10	fm ₁	=	0	-0	
\mathbf{u}_2	-2E-08	2E-06	-3E-06	-9E-09	2E-06	-3E-06	1E-08	1E-06	-5E-07	1E-08	1E-06	1E-06	5E-03	9E-07	1E-06	-5E-09	-1E-08	fx ₂	=	0	0	
\mathbf{u}_3	6E-08	-3E-06	9E-06	3E-08	-3E-06	9E-06	-2E-08	-2E-06	4E-06	-3E-08	-2E-06	-7E-07	-1E-08	-1E-06	-2E-06	5E-03	1E-08	fy ₂	=	0	-0	
\mathbf{u}_4	3E-11	-9E-09	3E-08	2E-10	-1E-08	4E-08	-4E-11	-7E-09	2E-08	-1E-10	-6E-09	3E-09	-8E-11	-5E-09	-5E-09	6E-12	-1E-11	fm ₂	=	0	-0	
\mathbf{u}_5	-2E-08	2E-06	-3E-06	-1E-08	2E-06	-3E-06	6E-09	2E-06	-8E-07	1E-08	2E-06	7E-09	1E-06	2E-06	-6E-09	-1E-08	fx ₃	=	0	0		
\mathbf{u}_6	5E-08	-3E-06	9E-06	4E-08	-3E-06	4E-05	4E-11	-2E-06	1E-05	-4E-08	-2E-06	3E-06	-3E-06	-1E-06	-7E-07	-3E-09	1E-08	fy ₃	=	0	-0.01	
\mathbf{u}_7	-1E-10	1E-08	-2E-08	-4E-11	6E-09	4E-11	3E-10	5E-09	3E-08	5E-11	7E-09	3E-08	-5E-11	5E-09	1E-08	-8E-11	-8E-11	fm ₃	=	0	-0	
\mathbf{u}_8	-1E-08	1E-06	-2E-06	-7E-09	2E-06	-2E-06	5E-09	2E-06	8E-20	1E-08	-2E-06	5E-09	1E-06	2E-06	-7E-09	-1E-08	fx ₄	=	0	=		
\mathbf{u}_9	=	2E-08	-5E-07	4E-06	2E-08	-8E-07	1E-05	3E-08	6E-21	1E-05	8E-23	8E-07	1E-05	-3E-08	5E-07	4E-06	-2E-08	2E-08	fy ₄	=	-1132	-0.02
\mathbf{u}_{10}	-2E-10	1E-08	-3E-08	-1E-10	1E-08	-4E-08	5E-11	1E-08	4E-22	3E-10	1E-18	4E-08	5E-11	1E-08	3E-08	-1E-10	-2E-10	fm ₄	=	0	-0	
\mathbf{u}_{11}	-1E-08	1E-06	-2E-06	-6E-09	2E-06	-2E-06	7E-09	2E-06	8E-07	1E-08	-2E-06	3E-06	6E-09	2E-06	3E-06	-1E-08	-2E-08	fx ₅	=	0	-0	
\mathbf{u}_{12}	-1E-08	1E-06	-7E-07	3E-09	2E-08	-3E-06	3E-08	2E-06	1E-05	4E-08	3E-06	1E-05	-4E-11	3E-06	1E-06	-4E-08	-5E-08	fy ₅	=	0	-0.01	
\mathbf{u}_{13}	-8E-11	5E-09	-1E-08	-8E-11	7E-09	-3E-08	-5E-11	5E-09	-3E-08	5E-11	-6E-09	-4E-11	3E-10	1E-08	2E-08	-4E-11	-1E-10	fm ₅	=	0	0	
\mathbf{u}_{14}	-1E-08	9E-07	-1E-06	-5E-09	1E-06	-1E-06	5E-09	1E-06	5E-07	1E-08	-2E-06	3E-06	1E-08	2E-06	3E-06	-9E-09	-2E-08	fx ₆	=	0	-0	
\mathbf{u}_{15}	-1E-08	1E-06	-2E-06	-5E-09	2E-06	-7E-07	1E-08	2E-06	4E-06	3E-08	3E-06	9E-06	2E-08	3E-06	9E-06	-3E-08	-6E-08	fy ₆	=	0	-0	
\mathbf{u}_{16}	5E-11	-5E-09	5E-09	6E-12	-6E-09	-3E-09	-8E-11	-7E-09	-2E-08	-1E-10	-1E-08	-4E-11	-3E-09	-3E-08	2E-10	9E-11	fm ₆	=	0	0		
\mathbf{u}_{17}	1E-10	-1E-08	1E-08	5E-11	-1E-08	1E-08	-8E-11	-1E-08	-2E-08	-2E-10	-2E-08	-5E-06	-1E-10	-2E-08	-6E-08	9E-11	-6E-10	fm ₇	=	0	0	

Gambar 4.9 Persamaan matriks peralihan nodal

Nilai reaksi perletakan diperoleh dengan mengalikan matriks peralihan dengan matriks yang mengandung gaya reaksi yang tidak diketahui hasil perhitungan persamaan (2.7.20) ditunjukkan dalam Gambar 4.10.

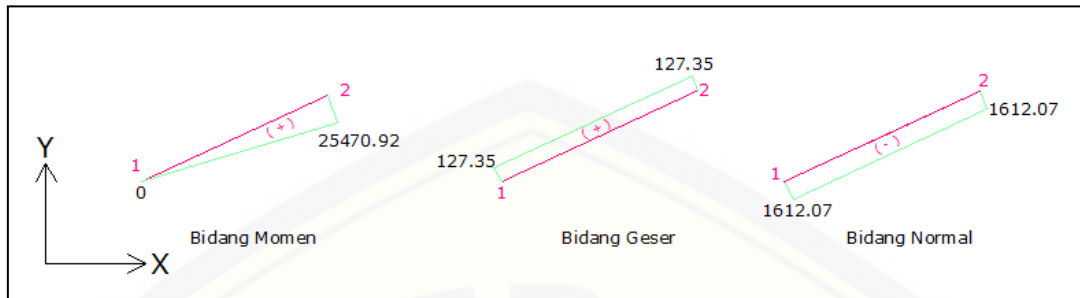
$\{F\}_1$	-2E+07	-1E+06	-3E+05	-2E+07	0	0	0	0	0	0	0	0	0	0	0	0	0	0.0000	1514.85
$\{F\}_2$	4E+07	-3E+05	-6E+05	4E+07	0	0	0	0	0	0	0	0	0	0	0	0	0	0.0005	565.87
$\{F\}_3$	0	0	0	0	0	0	0	0	0	0	0	0	0	-1E+06	297965	-2E+07	-2E+07	-0.0043	-1514.85
$\{F\}_4$	0	0	0	0	0	0	0	0	0	0	0	0	0	297965	-6E+05	-4E+07	-4E+07	0.0000	565.87
																		0.0009	=
																		-0.0108	
																		0.0000	
																		0.0000	
																		-0.0152	
																		0.0000	
																		-0.0009	
																		-0.0108	
																		0.0000	
																		-0.0005	
																		-0.0043	
																		0.0000	
																		0.0000	

Gambar 4.10 Persamaan matriks reaksi perletakan

4.4.4 Gaya Internal Struktur

Gaya internal struktur merupakan gaya respon yang terjadi pada struktur terhadap pembebahan yang diterimanya. Gaya tersebut dipengaruhi oleh besar beban yang diterima oleh struktur. Gaya internal yang dihasilkan oleh perhitungan elemen hingga yaitu gaya momen (M) dalam satuan Nmm, gaya geser (D) dalam satuan Newton, dan gaya Normal (N) dalam satuan N. Dalam analisis elemen hingga arah pemberian beban ke bawah dinotasikan dengan nilai negatif (-). Perhitungan gaya internal diselesaikan dengan menggunakan persamaan 2.7.22 berikut :

$$\begin{bmatrix} N_1 \\ T_1 \\ M_1 \\ N_2 \\ T_2 \\ M_2 \end{bmatrix} = \begin{bmatrix} -\frac{EA}{L}C & -\frac{EA}{L}S & 0 \\ \frac{12EI}{L^3}S & -\frac{L^3}{12EI}C & -\frac{L^2}{6EI} \\ \frac{6EI}{L^2}S & \frac{6EI}{L^2}C & \frac{4EI}{L} \\ \frac{L^2}{EA}S & -\frac{EA}{L}S & 0 \\ \frac{L}{12EI}S & -\frac{12EI}{L}C & -\frac{6EI}{L} \\ \frac{6EI}{L^2}S & -\frac{L^3}{12EI}C & -\frac{L^2}{6EI} \end{bmatrix} \begin{bmatrix} \frac{EA}{L}C & \frac{EA}{L}S & 0 \\ \frac{L^3}{12EI}S & \frac{12EI}{L^3}C & -\frac{6EI}{L^2} \\ \frac{6EI}{L^2}S & -\frac{6EI}{L^2}C & \frac{2EI}{L} \\ \frac{EA}{L}C & \frac{EA}{L}S & 0 \\ \frac{L}{12EI}S & \frac{12EI}{L}C & -\frac{6EI}{L} \\ \frac{6EI}{L^2}S & -\frac{L^3}{12EI}C & -\frac{L^2}{6EI} \end{bmatrix} \begin{bmatrix} U_1 \\ V_1 \\ \theta_1 \\ U_2 \\ V_2 \\ \theta_2 \end{bmatrix}_{global} + \begin{bmatrix} N_1 \\ T_1 \\ M_1 \\ N_2 \\ T_2 \\ M_2 \end{bmatrix}^{GIE}$$



Gambar 4.11 Hasil perhitungan gaya dalam segmen 1-2

Hasil perhitungan gaya internal struktur pada nodal 4 yang merupakan titik tengah bentang balok lengkung dirangkum dalam Tabel 4.4. Sedangkan hasil analisis gaya internal metode elemen hingga 10 segmen ditampilkan dalam Tabel 4.5.

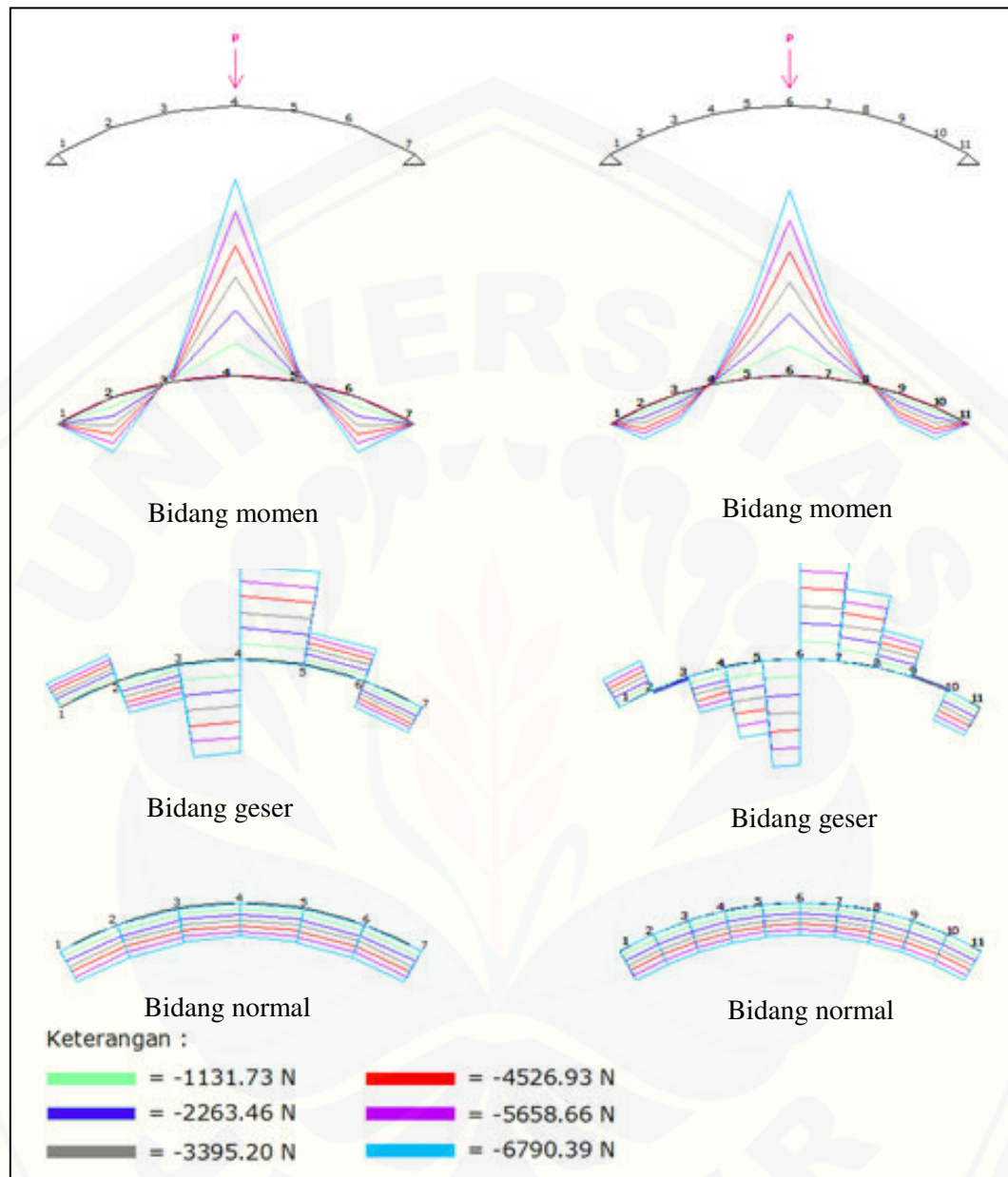
Tabel 4.4 Hasil Analisis Gaya Internal Balok Lengkung 6 segmen

P (N)	M (Nmm)	D (N)	N (N)
-1131.73	-91768.5	-431.685	-1558.4
-2263.46	-183537	-863.37	-3116.81
-3395.2	-275306	-1295.05	-4675.21
-4526.93	-367074	-1726.74	-6233.62
-5658.66	-458843	-2158.42	-7792.02
-6790.39	-550611	-2590.11	-9350.43

Tabel 4.5 Hasil Analisis Gaya Internal Balok Lengkung 10 segmen

P (N)	M (Nmm)	D (N)	N (N)
-1131.73	-86430.9	-489.906	-1464.22
-2263.46	-172862	-979.812	-2928.44
-3395.2	-259293	-1469.72	-4392.66
-4526.93	-345723	-1959.62	-5856.87
-5658.66	-432154	-2449.53	-7321.09
-6790.39	-518585	-2939.44	-8785.31

Data gaya internal hasil analisis elemen hingga kemudian diolah menjadi data grafik dengan bantuan *software* grafis seperti pada Gambar 4.12.



Gambar 4.12 Grafik gaya internal balok lengkung 6 segmen (kiri) dan 10 segmen (kanan)

Hasil perhitungan gaya internal pada elemen hingga tidak berubah pada besaran beban yang sama meskipun mutu beton berubah. Hal ini mengartikan bahwa

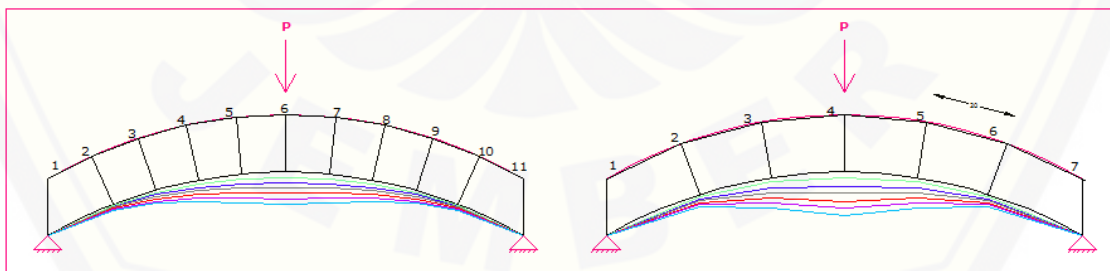
gaya internal tidak dipengaruhi oleh mutu beton melainkan dipengaruhi oleh jumlah segmen serta besar beban yang diterima struktur.

4.4.5 Lendutan

Hasil analisis metode elemen hingga enam segmen dan sepuluh segmen dapat dilihat dalam tabel berikut :

Tabel 4.7 Lendutan Hasil Analisis Elemen Hingga fcr 44.35 MPa

	P (N)					
	-1131.732	-2263.464	-3395.196	-4526.928	-5658.66	-6790.392
Peralihan nodal pada EH 6 segmen (mm)	v1	0	0	0	0	0
	v2	-0.0046	-0.0093	-0.0139	-0.0186	-0.0232
	v3	-0.0116	-0.0232	-0.0348	-0.0464	-0.0580
	v4	-0.0164	-0.0327	-0.0491	-0.0655	-0.0818
	v5	-0.0116	-0.0232	-0.0348	-0.0464	-0.0580
	v6	-0.0046	-0.0093	-0.0139	-0.0186	-0.0232
	v7	0	0	0	0	0
Peralihan nodal pada EH 10 segmen (mm)	v1	0	0	0	0	0
	v2	-0.0022	-0.0045	-0.0067	-0.0090	-0.0112
	v3	-0.0049	-0.0099	-0.0148	-0.0198	-0.0247
	v4	-0.0080	-0.0161	-0.0241	-0.0322	-0.0402
	v5	-0.0109	-0.0218	-0.0327	-0.0436	-0.0545
	v6	-0.0122	-0.0244	-0.0367	-0.0489	-0.0611
	v7	-0.0109	-0.0218	-0.0327	-0.0436	-0.0545
	v8	-0.0080	-0.0161	-0.0241	-0.0322	-0.0402
	v9	-0.0049	-0.0099	-0.0148	-0.0198	-0.0247
	v10	-0.0022	-0.0045	-0.0067	-0.0090	-0.0112
	v11	0	0	0	0	0

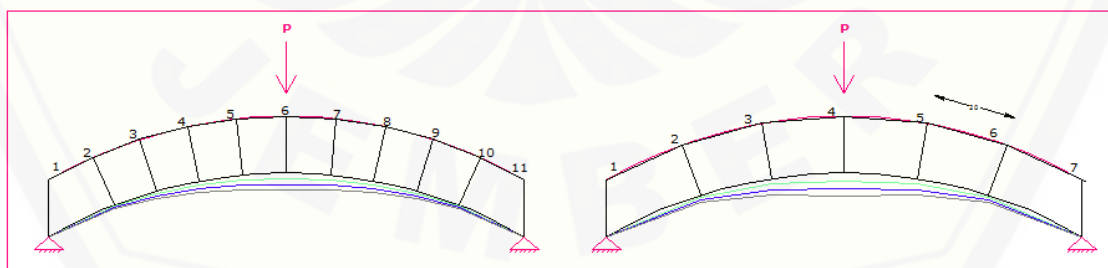


Gambar 4.13 Grafik perilaku lendutan balok lengkung sepuluh segmen (kiri) dan enam segmen (kanan) pada fcr 44.35 MPa

Peralihan secara vertikal maksimum hasil analisis elemen hingga 6 segmen dan 10 segmen pada beton mutu fcr 44.35 MPa terletak pada nodal nomor 4 yaitu -0.0982 mm dan nodal nomor 6 yaitu -0.0733 mm. Hasil analisis ini memiliki selisih sebesar 0.0249 mm atau sebesar 34% terhadap peralihan hasil analisis elemen hingga 10 segmen.

Tabel 4.8 Lendutan Hasil Analisis Elemen Hingga fcr 40.58 MPa

Peralihan nodal pada EH 6 segmen (mm)	P (N)		
	-1131.732	-2263.464	-3395.196
v1	0	0	0
v2	-0.0048	-0.0097	-0.0145
v3	-0.0121	-0.0243	-0.0364
v4	-0.0171	-0.0342	-0.0513
v5	-0.0121	-0.0243	-0.0364
v6	-0.0048	-0.0097	-0.0145
v7	0	0	0
v1	0	0	0
v2	-0.0024	-0.0047	-0.0071
v3	-0.0052	-0.0103	-0.0155
v4	-0.0084	-0.0168	-0.0252
v5	-0.0114	-0.0228	-0.0342
v6	-0.0128	-0.0255	-0.0383
v7	-0.0114	-0.0228	-0.0342
v8	-0.0084	-0.0168	-0.0252
v9	-0.0052	-0.0103	-0.0155
v10	-0.0024	-0.0047	-0.0071
v11	0	0	0



Gambar 4.14 Grafik perilaku lendutan balok lengkung sepuluh segmen (kiri) dan enam segmen (kanan) pada fcr 40.58 MPa

Peralihan secara vertikal maksimum hasil analisis elemen hingga 6 segmen dan 10 segmen pada beton mutu fcr 40.58 MPa terletak pada nodal nomor 4 yaitu -0.0513 mm dan nodal nomor 6 yaitu -0.0383 mm. Hasil analisis ini memiliki selisih sebesar 0.0130 mm atau sebesar 34% terhadap peralihan hasil analisis elemen hingga 10 segmen.

Tabel 4.9 Lendutan Hasil Analisis Elemen Hingga fcr 37.65 MPa

	Peralihan nodal pada EH 6 segmen (mm)	P (N)		
		-1131.732	-2263.464	-3395.196
v1	0	0	0	
v2	-0.0050	-0.0101	-0.0151	
v3	-0.0126	-0.0252	-0.0378	
v4	-0.0178	-0.0355	-0.0533	
v5	-0.0126	-0.0252	-0.0378	
v6	-0.0050	-0.0101	-0.0151	
v7	0	0	0	
v1	0	0	0	
v2	-0.0024	-0.0049	-0.0073	
v3	-0.0054	-0.0107	-0.0161	
v4	-0.0087	-0.0175	-0.0262	
v5	-0.0118	-0.0236	-0.0355	
v6	-0.0133	-0.0265	-0.0398	
v7	-0.0118	-0.0236	-0.0355	
v8	-0.0087	-0.0175	-0.0262	
v9	-0.0054	-0.0107	-0.0161	
v10	-0.0024	-0.0049	-0.0073	
v11	0	0	0	



Gambar 4.15 Grafik perilaku lendutan balok lengkung sepuluh segmen (kiri) dan enam segmen (kanan) pada fcr 37.65 MPa

Peralihan secara vertikal maksimum hasil analisis elemen hingga 6 segmen dan 10 segmen pada beton mutu fcr 37.65 MPa terletak pada nodal nomor 4 yaitu -0.0533 mm dan nodal nomor 6 yaitu -0.0398 mm. Hasil analisis ini memiliki selisih sebesar 0.0135 mm atau sebesar 34% terhadap peralihan hasil analisis elemen hingga 10 segmen

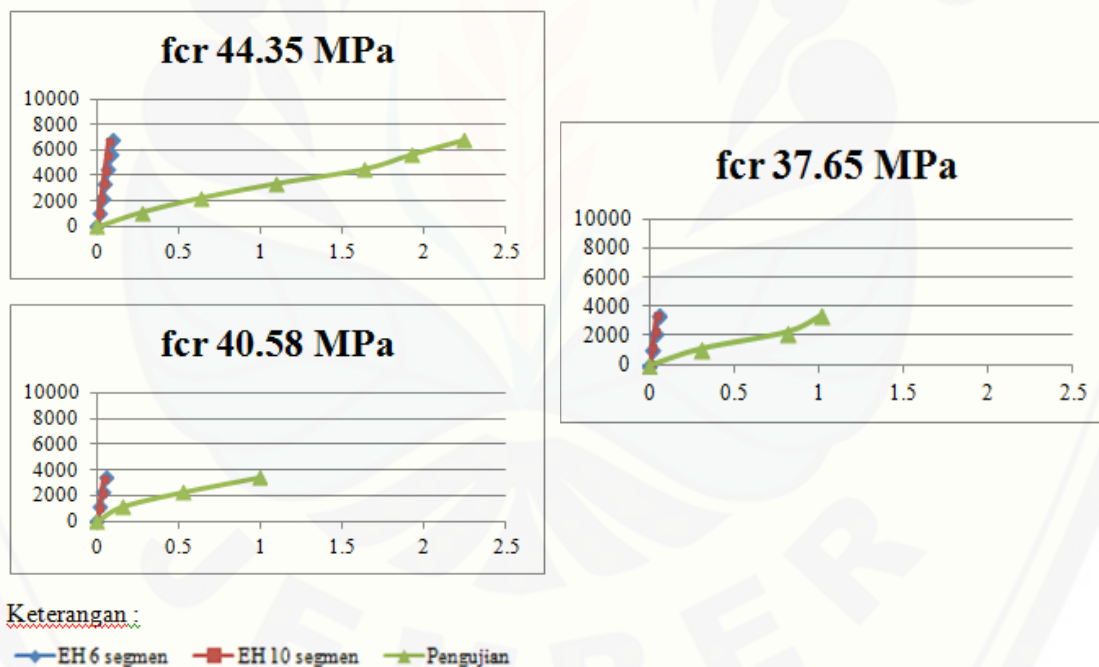
4.5 Perbandingan Lendutan MEH dan Pengujian

Untuk mengetahui perbandingan lendutan antara analisis metode elemen hingga dan pengujian, maka data dan grafik hasil perhitungan analisis dan pengujian lendutan digabung menjadi satu untuk setiap mutu beton yang sama. Dari penggabungan kedua data tersebut, maka dapat dilihat perbedaan lendutan yang terjadi pada struktur balok lengkung.

Tabel 4.10 Data lendutan hasil analisis metode elemen hingga dan pengujian

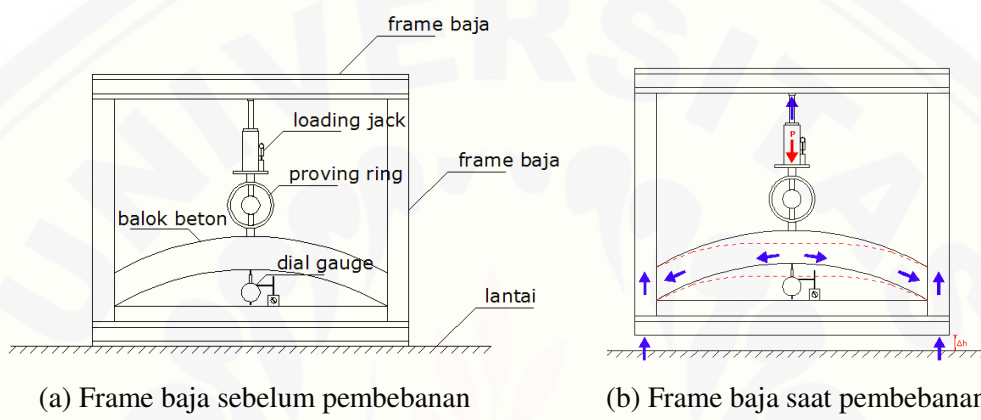
fcr (Mpa)	P (N)	δ MEH 6 segmen (mm)	δ MEH 10 segmen (mm)	δ rerata pengujian (mm)
44.35	0	0	0	0
	1131.7	0.0164	0.0122	0.270
	2263.5	0.0327	0.0244	0.630
	3395.2	0.0491	0.0367	1.095
	4526.9	0.0655	0.0489	1.630
	5658.7	0.0818	0.0611	1.920
40.58	6790.4	0.0982	0.0733	2.240
	0	0	0	0
	1131.7	0.0171	0.0128	0.150
	2263.5	0.0342	0.0255	0.523
37.65	3395.2	0.0513	0.0383	0.990
	0	0	0	0
	1131.7	0.0178	0.0133	0.307
	2263.5	0.0355	0.0265	0.810
	3395.2	0.0533	0.0398	1.015

Seluruh data peralihan vertikal yang sisajikan dalam Tabel 4.14 menunjukkan bahwa nilai lendutan terkecil diperoleh dari hasil analisis metode elemen hingga 10 segmen dan data lendutan terbesar diperoleh dari pengujian balok lengkung di laboratorium. Lendutan terbesar terjadi pada balok lengkung dengan mutu tertinggi yaitu fcr 44.35 MPa dengan pembebanan maksimum 6790.40 N. Pada beban tersebut, hasil analisis elemen hingga 6 segmen sebesar 0.0982 mm, elemen hingga 10 segmen sebesar 0.0733 mm, dan hasil pengujian laboratorium sebesar 2.240 mm. Sebaliknya, lendutan terkecil terjadi pada balok lengkung bermutu terendah fcr 37.65 Mpa dengan beban maksimum 3395.2 N. Pada beban tersebut, hasil analisis elemen hingga 6 segmen sebesar 0.0533 mm, elemen hingga 10 segmen sebesar 0.0398 mm, dan hasil pengujian laboratorium sebesar 1.015 mm.



Gambar 4.16 Grafik perbandingan lendutan hasil analisis elemen hingga dan pengujian fcr 44.35 MPa, fcr 40.58, dan 37.65 MPa

Selisih hasil lendutan yang berbeda jauh antara hasil analisis metode elemen hingga dan pengujian laboratorium disebabkan data pengujian laboratorium dibaca dengan kondisi frame baja yang tidak stabil. Hal ini terjadi akibat dimensi frame baja yang digunakan tidak mampu menerima beban yang didistribusikan oleh balok lengkung dengan dimensi yang telah direncanakan.



Gambar 4.5 Kondisi *frame* baja saat sebelum dan saat pembebahan

Frame baja tempat diletakkan benda uji balok lengkung tidak dibaut terhadap alasnya seperti Gambar 4.5 (a). Ketika pembebahan dilakukan, *frame* baja tersebut tidak dapat menahan gaya yang diterima balok lengkung sehingga *frame* baja bergerak ke atas berlawanan dengan arah beban yang diberikan. Ilustrasi pergerakan *frame* baja ditunjukkan dalam Gambar 4.5 (b).

BAB 5. KESIMPULAN

5.1 Kesimpulan

Berdasarkan penelitian yang telah dilakukan, diperoleh beberapa kesimpulan berikut :

1. Nilai lendutan hasil analisis metode elemen hingga dan pengujian laboratorium pada balok lengkung adalah sebagai berikut :
 - a. Balok lengkung fcr 44.35 MPa dengan beban maksimum 6790.4N melendut sebesar 0.0982 mm pada analisis metode elemen hingga 6 segmen, 0.0733 mm pada analisis elemen hingga 10 segmen, dan 2.240 mm pada pengujian laboratorium.
 - b. Balok lengkung fcr 40.58 MPa dengan beban maksimum 3395.2N melendut sebesar 0.0513 mm pada analisis metode elemen hingga 6 segmen, 0.0383 mm pada analisis elemen hingga 10 segmen, dan 0.990 mm pada pengujian laboratorium.
 - c. Balok lengkung fcr 37.65 MPa dengan beban maksimum 3395.2N melendut sebesar 0.0533 mm pada analisis metode elemen hingga 6 segmen, 0.0398 mm pada analisis elemen hingga 10 segmen, dan 1.015 mm pada pengujian laboratorium.
2. Perbedaan nilai lendutan antara analisis elemen hingga dan pengujian laboratorium yang cukup besar dikarenakan dimensi benda uji balok lengkung membuat kestabilan frame baja menjadi terganggu.

5.2 Saran

1. Faktor yang mempengaruhi kevalidan data lendutan hasil pembacaan alat uji adalah kestabilan perletakan *frame* baja dan nilai ketelitian alat dial gauge.

Sehingga disarankan menggunakan dial gauge digital untuk membaca besar lendutan dalam pengujian di laboratorium.

2. Disarankan memberikan jumlah beban yang kecil secara berkala disertai pembacaan alat dial gauge untuk memperoleh data uji laboratorium yang lebih banyak. Sehingga dari grafik lendutan terhadap pembebanan dapat diketahui secara jelas ketika struktur mengalami kondisi elastis dan kemudian berubah menjadi plastis.
3. Untuk memperoleh nilai hasil analisis elemen hingga yang mendekati nilai pengujian sebaiknya membandingkan hasil analisis elemen hingga dengan perhitungan eksak terlebih dahulu dan memastikan hasil dari kedua perhitungan tersebut telah mendekati nilai yang sama.

DAFTAR PUSTAKA

Badan Standarisasi Nasional. 2002. *SNI 03-6429-2000 Metode pengujian kuat tekan beton silinder dengan cetakan silinder di dalam tempat cetakan*. Jakarta : BSN

Badan Standarisasi Nasional. 2000. *SNI 03-2834-2000 Tata cara pembuatan rencana campuran beton normal*. Jakarta : BSN

Badan Standarisasi Nasional. 2013. *SNI 2847:2013 Beton Struktural Untuk Bangunan Gedung*. Jakarta : BSN

Direktorat Jenderal Bina Marga. 2011. *Manual Pemeliharaan Jembatan Pelengkung Baja*. Jakarta : Kementerian Pekerjaan Umum.

Hicks, G. T. 2010. *Civil Engineering Formulas*. New York : McGraw-Hill Companies.

Kalaga, Sriram. 1997. *Finite Element Analysis of Radial Laminated Timber Arches*. <http://www.ultraeig.com/radial-timber-arches>

Katili, Irwan. 2008. *Metode Elemen Hingga untuk Skeletal*. Jakarta : PT Raja Grafindo Persada.

Laboratorium Struktur Universitas Jember. 2012. *Petunjuk Praktikum Praktek Teknologi Beton*. Jember : Laboratorium Struktur Fakultas Teknik Universitas Jember.

Mahesh, Varma., Jangid R S dan Ghosh Siddartha. 2010. *Jurnal Thrust Line Using Linear Elastic Finite Element Analysis for Masonry Structures*. <http://www.civil.iitb.ac.in/~sghosh/papers/amr133mnvrsjsg.pdf>

Purba, Sadvent M dan Johannes Tarigan. *Jurnal Analisa Perbandingan Perhitungan Elemen Hingga dengan Menggunakan Elemen Segitiga (Constant Strain Triangle) dan Elemen Segiempat (Bilinear Quadrilateral)*. <http://download.portalgaruda.org/article.php?article=58855&val=4146&title=>

Universitas Jember. 2011. *Pedoman Penulisan Karya Ilmiah Universitas Jember*. Jember : Jember University Press.

Wangari Kinyanjui, Tabitha. 2007. *Finite Element Methods For Geometrically Liniar Curved Beams.* Germany : Technische University At Kaiserlslautern.
<http://alexandria.tue.nl/extra1/afstversl/wsk-i/kinyanjui2007.pdf>



LAMPIRAN

Lampiran A

Hasil Uji Agregat Beton dan Perencanaan Campuran Beton

Tabel A1. Data Hasil Pengujian Berat Volume Semen

Percobaan Nomor	Dengan Rojokan		Tanpa Rojokan	
	1	2	1	2
Berat Silinder (W1)	6.92	6.92	6.92	6.92
Berat Silinder (W1) + Semen (W2)	10.41	10.47	10.16	10.07
Berat Semen (W2-W1)	3.864	3.77	3.554	3.608
Volume Silinder (V)	0.00308	0.00308	0.00308	0.00308
Berat Volume (BV=W2-W1/V)	1255.36	1224.82	1154.65	1172.19
Berat Volume Rata-Rata	1240.09		1163.42	

Tabel A2. Berat jenis Pasir

Keterangan	I	II	III	Rata-rata
Pasir gram	50	50	50	50
Picnometer gram	35.2	33.3	34.5	34.33
Picnometer + air gram	136	134.1	135	135.03
Picnometer +air + pasir gram	167	165.3	166.6	166.3
Berat jenis =	2.67			

Tabel A3. Kelembaban pasir

Keterangan	I	II	III	Rata-rata
Berat pasir awal gram	250	250	250	250
Berat pasir kering oven gram	245.4	246.3	246.4	246.03
% kelembaban =	1.61			

Tabel A4. Air Resapan Pasir

Keterangan	I	II	III	Rata-rata
Berat pasir SSD gram	100	100	100	100
Berat pasir kering oven gram	98.4	98.4	98.5	98.43
% air resapan =	1.59			

Tabel A5. Kebersihan Pasir

Keterangan	I	II	III	Rata-rata
W pasir kering oven gram	500	500	500	500
W pasir bersih kering oven gram	499	498.4	498.5	498.63
% kadar lumpur =	0.27			

Tabel A6. Berat volume pasir (tak dirojok)

Keterangan	I	II	III	Rata-rata
Berat silinder kg	7.2	7.2	7.2	7.2
Berat silinder + pasir kg	19.9	20.25	19.6	19.92
Volume silinder m ³	0.009	0.009	0.009	0.009
BV pasir =	1338.81	kg/m ³		

Tabel A7. Berat volume pasir (dirojok)

Keterangan	I	II	III	Rata-rata
Berat silinder kg	7.2	7.2	7.2	7.2
Berat silinder + pasir kg	21.35	21.2	21.108	21.22
Volume silinder m ³	0.009	0.009	0.009	0.009
BV pasir =	1475.95	kg/m ³		

Tabel A8. Berat jenis Kerikil

Keterangan	I	II	III	Rata-rata
Berat Kerikil SSD gram	3000	3000	3000	3000
Berat kerikil + tempat dalam air gram	1830	1830	1800	1820.00
Tempat dalam air gram				
Berat jenis =	2.54			

Tabel A9. Kelembaban kerikil

Keterangan	I	II	III	Rata-rata
Berat kerikil awal gram	500	500	500	500.00
Berat kerikil kering oven gram	499.5	496.5	499	498.33
% kelembaban =	0.33			

Tabel A10. Air Resapan Kerikil

Keterangan	I	II	III	Rata-rata
Berat kerikil SSD gram	500	500	500	500
Berat kerikil kering oven gram	492.5	492.6	492.8	492.63
% air resapan =	1.50			

Tabel A11. Kebersihan Kerikil

Keterangan		I	II	III	Rata-rata
W kerikil kering oven	gram	500	500	500	500
W kerikil bersih kering oven	gram	495.8	496.7	491.5	494.67
% kadar lumpur =		1.07			

Tabel A12. Berat volume kerikil (tak dirojok)

Keterangan		I	II	Rata-rata
Berat silinder	kg	10.2	10.34	10.270
Berat silinder + pasir	kg	30.97	31.06	31.015
Volume silinder	m ³	0.014	0.014	0.014
Berat volume pasir =		1438.19	kg/m ³	

Tabel A13. Berat volume kerikil (dirojok)

Keterangan		I	II	Rata-rata
Berat silinder	kg	10.15	10.31	10.23
Berat silinder + pasir	kg	33.22	33.37	33.30
Volume silinder	m ³	0.014	0.014	0.014
Berat volume pasir =		1599.03	kg/m ³	

Digital Repository Universitas Jember

Tabel A14. Data Hasil Pengujian Analisa Saringan Agregat Halus

Nomor Saringan	Berat Saringan I	Berat Saringan II	Berat Saringan + Benda Uji I	Berat Saringan + Benda Uji II	Berat Tertahan I	Berat Tertahan II	Komulatif Berat Tertahan I	Komulatif Berat Tertahan II	Jumlah Persen Rerata	
	gram	gram	gram	gram	gram	gram	gram	gram	Tertahan	Lolos
no. 4	434	433.90	441.00	443.20	7.00	9.30	7.00	9.30	0.82	100.00
no. 8	420.1	420.10	440.40	439.80	20.30	19.70	27.30	29.00	2.82	97.19
no 16	403.4	403.30	440.50	436.30	37.10	33.00	64.40	62.00	6.32	93.68
no 30	415	415.00	579.60	573.90	164.60	158.90	229.00	220.90	22.50	77.51
no 50	390.7	390.80	922.90	922.50	532.20	531.70	761.20	752.60	75.69	24.31
no 100	394.6	394.30	621.50	631.70	226.90	237.40	988.10	990.00	98.91	1.10
pan	452	452.00	463.90	462.00	11.90	10.00	1000.00	1000.00	100.00	0.00

Tabel A15. Data Hasil Pengujian Analisa Saringan Agregat Kasar

Nomor Saringan	Berat Saringan I	Berat Saringan + Benda Uji I	Berat Saringan + Benda Uji II	Berat Tertahan I	Berat Tertahan II	Komulatif Berat Tertahan I	Komulatif Berat Tertahan II	Jumlah Persen Rerata	
	gram	gram	gram	gram	gram	gram	gram	Tertahan	Lolos
3/4	547.00	683.50	641.50	136.50	94.50	136.50	94.50	2.89	100.00
3/8	552.50	2797.00	2692.00	2244.50	2139.50	2381.00	2234.00	57.69	42.31
4	433.50	1494.00	1683.00	1060.50	1249.50	3441.50	3483.50	86.56	13.44
8	419.50	943.00	905.00	523.50	485.50	3965.00	3969.00	99.18	0.83
16	403.00	436.00	430.00	33.00	27.00	3998.00	3996.00	99.93	0.08
30	414.50	415.00	416.50	0.50	2.00	3998.50	3998.00	99.96	0.04
50	390.50	390.50	391.00	0.00	0.50	3998.50	3998.50	99.96	0.04
100	394.00	394.00	394.00	0.00	0.00	3998.50	3998.50	99.96	0.04
PAN	451.50	453.00	453.00	1.50	1.50	4000.00	4000.00	100.00	0.00

Digital Repository Universitas Jember

Tabel A18. Perencanaan Campuran Beton K-225

No	Uraian	satuan	Nilai
1	Kuat tekan yang disyaratkan	K -	225
2	a. Deviasi Standar		40
	b. Nilai tambah		65.6
	c. Kuat tekan rata-rata	kg/cm ²	290.6
3	Jenis semen		PC 1
4	Jenis agregat kasar		batu pecah
	jenis agregat halus		pasir alami
5	faktor air semen bebas	grafik 1	0.58
6	faktor air semen maksimum		0.5
7	slump	cm	8 s/d 12
8	ukuran agregat maksimum	mm	10
9	kadar air bebas	liter	233.33
10	kadar semen	kg	466.67
11	kadar semen minimum	kg	275
12	kadar semen yang dipakai	kg	466.67
13	faktor air semen yang disesuaikan		-
14	susunan besar butir agregat halus		zona 3
15	%bahan agregat halus	grafik 11	43%
16	berat jenis relatif agregat (SSD)		2.60
17	berat jenis beton	grafik 13	2316.67
18	kadar agregat gabungan		1616.67
19	kadar agregat halus		695.17
20	kadar agregat kasar		921.50

Tabel A19. Rencana Proporsi Campuran K-225

material	Keterangan	teoritis	koreksi kadar air	aktual (kg)	proporsi berat	volume (m ³)	proporsi volume
air		233.33	-	243.89	0.52	0.24	0.65
semen		466.67	-	466.67	1.00	0.38	1.00
pasir	air berlebih	695.17	0.14	695.02	1.49	0.47	1.25
kerikil	kurang air	921.50	10.70	932.20	2.00	0.58	1.55

Tabel A20. Perencanaan Campuran Beton K-250

No	Uraian	satuan	Nilai
1	Kuat tekan yang disyaratkan	K-	250
2	a. Deviasi Standar		40
	b. Nilai tambah		65.6
	c. Kuat tekan rata-rata	kg/cm ²	315.6
3	Jenis semen		PC 1
4	Jenis agregat kasar		batu pecah
	jenis agregat halus		pasir alami
5	faktor air semen bebas	grafik 1	0.55
6	faktor air semen maksimum		0.5
7	slump	cm	8 s/d 12
8	ukuran agregat maksimum	mm	10
9	kadar air bebas	liter	233.33
10	kadar semen	kg	466.67
11	kadar semen minimum	kg	275
12	kadar semen yang dipakai	kg	466.67
13	faktor air semen yang disesuaikan		-
14	susunan besar butir agregat halus		zona 3
15	%bahan agregat halus	grafik 11	42%
16	berat jenis relatif agregat (SSD)		2.60
17	berat jenis beton	grafik 13	2316.67
18	kadar agregat gabungan		1616.67
19	kadar agregat halus		679.00
20	kadar agregat kasar		937.67

Tabel A21. Rencana Proporsi Campuran K-250

material	Keterangan	teoritis	koreksi kadar air	aktual (kg)	proporsi berat	volume (m ³)	proporsi volume
air		233.33	-	244.08	0.52	0.24	0.65
semen		466.67	-	466.67	1.00	0.38	1.00
pasir	air berlebih	679.00	0.14	678.86	1.45	0.46	1.22
kerikil	kurang air	937.67	10.89	948.55	2.03	0.59	1.58

Digital Repository Universitas Jember

Tabel A22. Perencanaan Campuran Beton K-300

No	Uraian	satuan	Nilai
1	Kuat tekan yang disyaratkan	K-	300
2	a. Deviasi Standar		40
	b. Nilai tambah		65.6
	c. Kuat tekan rata-rata	kg/cm ²	365.6
3	Jenis semen		PC 1
4	Jenis agregat kasar		batu pecah
	jenis agregat halus		pasir alami
5	faktor air semen bebas	grafik 2	0.48
6	faktor air semen maksimum		0.5
7	slump	cm	8 s/d 12
8	ukuran agregat maksimum	mm	10
9	kadar air bebas	liter	233.33
10	kadar semen	kg	486.11
11	kadar semen minimum	kg	275
12	kadar semen yang dipakai	kg	486.11
13	faktor air semen yang disesuaikan		233.333 ; 0.48
14	susunan besar butir agregat halus		zona 3
15	%bahan agregat halus	grafik 11	41.5%
16	berat jenis relatif agregat (SSD)		2.59
17	berat jenis beton	grafik 13	2280.00
18	kadar agregat gabungan		1560.56
19	kadar agregat halus		647.63
20	kadar agregat kasar		912.93

Tabel A23. Rencana Proporsi Campuran K-300

material	Keterangan	teoritis	koreksi kadar air	aktual (kg)	proporsi berat	volume (m ³)	proporsi volume
air		233.33	-	243.80	0.50	0.24	0.62
semen		486.11	-	486.11	1.00	0.39	1.00
pasir	air berlebih	647.63	0.13	647.50	1.33	0.44	1.12
kerikil	kurang air	912.93	10.60	923.52	1.90	0.58	1.47

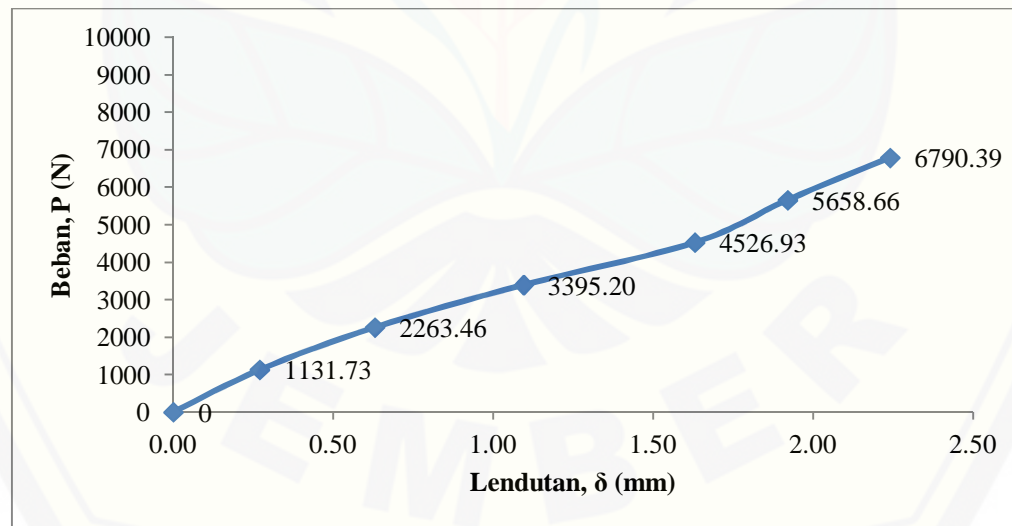
Lampiran B

Hasil Pengujian Lendutan pada Balok Lengkung

A. Mutu Beton f_cr 44.35 MPa

Tabel B1. Pembacaan Hasil Uji Balok Lengkung f_cr 44.35 MPa

Pembacaan Proving	P (N)	Benda Uji 1		Benda Uji 2		Benda Uji 3		Lendutan rerata δ_r (mm)
		dial 1	δ_1 (mm)	dial 2	δ_2 (mm)	dial 3	δ_3 (mm)	
0	0	0	0	0	0	0	0	0.00
5	1131.73	50	0.5	11	0.11	20	0.2	0.27
10	2263.46	95	0.95	45	0.45	49	0.49	0.63
15	3395.20	134	1.34			85	0.85	1.10
20	4526.93	163	1.63					1.63
25	5658.66	192	1.92					1.92
30	6790.39	224	2.24					2.24

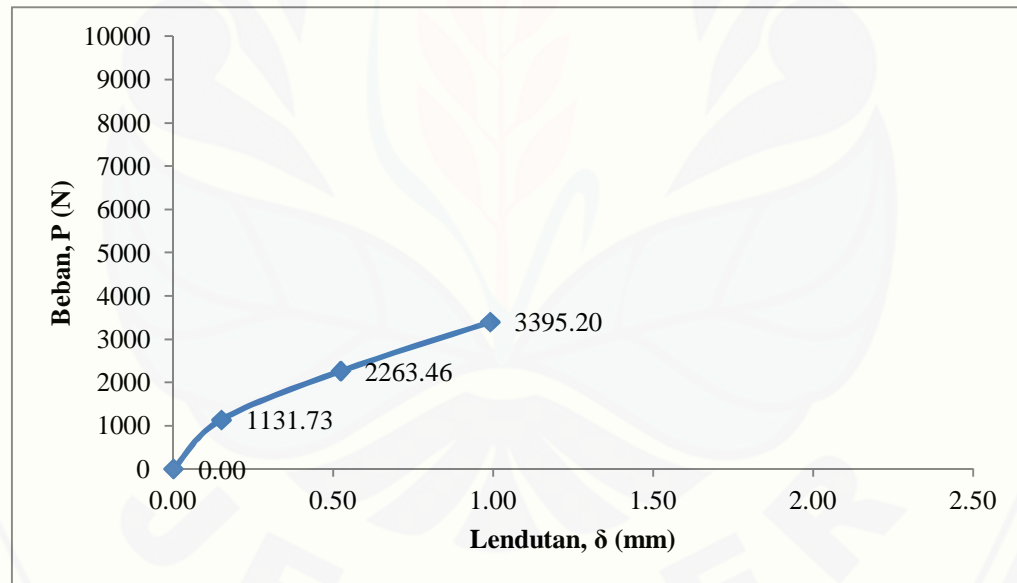


Gambar B1. Grafik perilaku lendutan balok lengkung f_cr 44.35 MPa

B. Mutu Beton f_cr 40.58 MPa

Tabel B2. Pembacaan Hasil Uji Balok Lengkung f_cr 40.58 MPa

Pembacaan Proving	P (N)	Benda Uji 1		Benda Uji 2		Benda Uji 3		Lendutan rerata δ_r (mm)
		dial 1	δ_1 (mm)	dial 2	δ_2 (mm)	dial 3	δ_3 (mm)	
0	0.00	0	0	0	0	0	0	0.00
5	1131.73	15	0.15	9	0.09	21	0.21	0.15
10	2263.46	68	0.68	56	0.56	33	0.33	0.52
15	3395.20			99	0.99			0.99

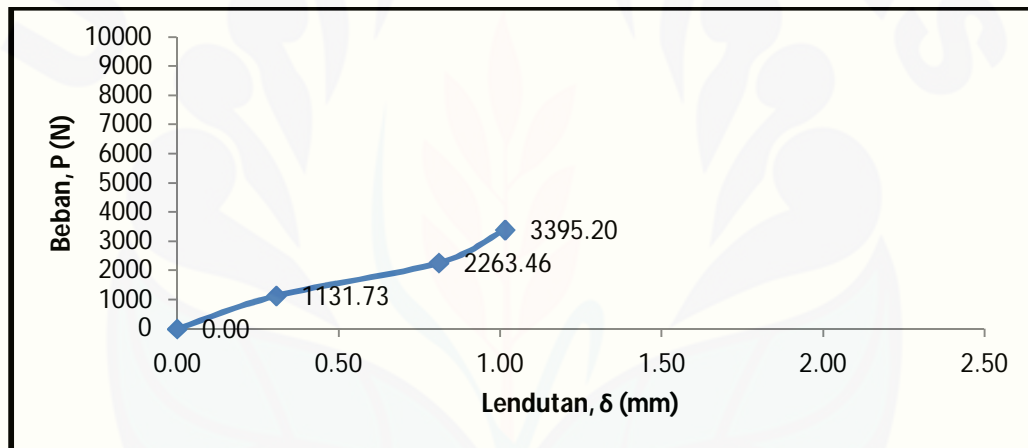


Gambar B2. Grafik perilaku lendutan balok lengkung f_cr 40.58 MPa

C. Mutu Beton fcr 37.65 MPa

Tabel B3. Pembacaan Hasil Uji Balok Lengkung fcr 37.65 MPa

Pembacaan Proving	P (N)	Benda Uji 1		Benda Uji 2		Benda Uji 3		Lendutan rerata δ_r (mm)
		dial 1	δ_1 (mm)	dial 2	δ_2 (mm)	dial 3	δ_3 (mm)	
0	0.00	0	0	0	0	0	0	0.00
5	1131.73	33	0.33	19	0.19	40	0.4	0.31
10	2263.46	59	0.59	64	0.64	120	1.2	0.81
15	3395.20	84	0.84	119	1.19			1.02



Gambar B3. Grafik perilaku lendutan balok lengkung fcr 37.65 MPa

Lampiran C
Perhitungan Modulus Elastisitas

Modulus Elastisitas dihitung dengan rumus pada SNI 2847:2013 pasal 8.5 :

1. Mutu beton fcr 44.35

$$E = 4700 \sqrt{f_c'} = 4700 \sqrt{44.35} = 31300.05 \text{ MPa}$$

2. Mutu beton fcr 40.58

$$E = 4700 \sqrt{f_c'} = 4700 \sqrt{40.58} = 29938.52 \text{ MPa}$$

3. Mutu beton fcr 37.65

$$E = 4700 \sqrt{f_c'} = 4700 \sqrt{37.65} = 28839.16 \text{ MPa}$$

Lampiran D

Perhitungan Elemen Hingga Enam Segmen

Data input : $E = 31300.1 \text{ MPa}$, $A = 7200 \text{ mm}^2$, $L = 200 \text{ mm}$, $I = 8640000 \text{ mm}^4$,
 $P = 1131.73 \text{ N}$

1. Matriks kekakuan elemen (pers. 2.7.16)

Elemen 1-2

$\theta = 25^\circ$

k1								
fX_1		997999.5	276217.7	-1.7E+07	-997999	-276218	-1.7E+07	u_1
fY_1		276217.7	534451.1	36764256	-276218	-534451	36764256	v_1
fm_1	=	-1.7E+07	36764256	5.41E+09	17143454	-3.7E+07	2.7E+09	θ_1
fX_2		-997999	-276218	17143454	997999.5	276217.7	17143454	u_2
fY_2		-276218	-534451	-3.7E+07	276217.7	534451.1	-3.7E+07	v_2
fm_2		-1.7E+07	36764256	2.7E+09	17143454	-3.7E+07	5.41E+09	θ_2

Elemen 2-3

$\theta = 15^\circ$

k2								
fX_2		1078494	180288.3	-1E+07	-1078494	-180288	-1E+07	u_2
fY_2		180288.3	453956.8	39182654	-180288	-453957	39182654	v_2
fm_2	=	-1E+07	39182654	5.41E+09	10498961	-3.9E+07	2.7E+09	θ_2
fX_3		-1078494	-180288	10498961	1078494	180288.3	10498961	u_3
fY_3		-180288	-453957	-3.9E+07	180288.3	453956.8	-3.9E+07	v_3
fm_3		-1E+07	39182654	2.7E+09	10498961	-3.9E+07	5.41E+09	θ_3

Elemen 3-4

$\theta = 5^\circ$

k3								
fX_3		1121324	62613.47	-3535461	-1121324	-62613.5	-3535461	u_3
fY_3		62613.47	411126.7	40410507	-62613.5	-411127	40410507	v_3
fm_3	=	-3535461	40410507	5.41E+09	3535461	-4E+07	2.7E+09	θ_3
fX_4		-1121324	-62613.5	3535461	1121324	62613.47	3535461	u_4
fY_4		-62613.5	-411127	-4E+07	62613.47	411126.7	-4E+07	v_4
fm_4		-3535461	40410507	2.7E+09	3535461	-4E+07	5.41E+09	θ_4

Elemen 4-5

$$\theta = -5^\circ$$

k4							
fX ₄		1121324	-62613.5	3535461	-1121324	62613.47	3535461
fY ₄		-62613.5	411126.7	40410507	62613.47	-411127	40410507
fm ₄	=	3535461	40410507	5.41E+09	-3535461	-4E+07	2.7E+09
fX ₅		-1121324	62613.47	-3535461	1121324	-62613.5	-3535461
fY ₅		62613.47	-411127	-4E+07	-62613.5	411126.7	-4E+07
fm ₅		3535461	40410507	2.7E+09	-3535461	-4E+07	5.41E+09

Elemen 5-6

$$\theta = -15^\circ$$

k5							
fX ₅		1078494	-180288	10498961	-1078494	180288.3	10498961
fY ₅		-180288	453956.8	39182654	180288.3	-453957	39182654
fm ₅	=	10498961	39182654	5.41E+09	-1E+07	-3.9E+07	2.7E+09
fX ₆		-1078494	180288.3	-1E+07	1078494	-180288	-1E+07
fY ₆		180288.3	-453957	-3.9E+07	-180288	453956.8	-3.9E+07
fm ₆		10498961	39182654	2.7E+09	-1E+07	-3.9E+07	5.41E+09

Elemen 6-7

$$\theta = -25^\circ$$

k6							
fX ₆		997999.5	-276218	17143454	-997999	276217.7	17143454
fY ₆		-276218	534451.1	36764256	276217.7	-534451	36764256
fm ₆	=	17143454	36764256	5.41E+09	-1.7E+07	-3.7E+07	2.7E+09
fX ₇		-997999	276217.7	-1.7E+07	997999.5	-276218	-1.7E+07
fY ₇		276217.7	-534451	-3.7E+07	-276218	534451.1	-3.7E+07
fm ₇		17143454	36764256	2.7E+09	-1.7E+07	-3.7E+07	5.41E+09

2. Matriks Penggabungan

f_{x_1}	997999.5	276217.7	-1.7E+07	-997999	-276218	-1.7E+07											u_1				
f_{y_1}	276217.7	534451.1	36764256	-276218	-534451	36764256											v_1				
f_{m_1}	-1.7E+07	36764256	5.41E+09	17143454	-3.7E+07	2.7E+09											θ_1				
f_{x_2}	-997999	-276218	17143454	2076493	456506	6644494	-1078494	-180288	-1E+07								u_2				
f_{y_2}	-276218	-534451	-3.7E+07	456506	988407.9	2418398	-180288	-453957	39182654								v_2				
f_{m_2}	-1.7E+07	36764256	2.7E+09	6644494	2418398	1.08E+10	10498961	-3.9E+07	2.7E+09								θ_2				
f_{x_3}				-1078494	-180288	10498961	2199818	242901.8	6963499	-1121324	-62613.5	-3535461					u_3				
f_{y_3}				-180288	-453957	-3.9E+07	242901.8	865083.5	1227853	-62613.5	-411127	40410507					v_3				
f_{m_3}				-1E+07	39182654	2.7E+09	6963499	1227853	1.08E+10	3535461	-4E+07	2.7E+09					θ_3				
f_{x_4}							-1121324	-62613.5	3535461	2242648	0	7070923	-1121324	62613.47	3535461		u_4				
f_{y_4}							-62613.5	-411127	-4E+07	0	822253.3	0	62613.47	-411127	40410507		v_4				
f_{m_4}							-3535461	40410507	2.7E+09	7070923	0	1.08E+10	-3535461	-4E+07	2.7E+09		θ_4				
f_{x_5}										-1121324	62613.47	-3535461	2199818	-242902	6963499	-1078494	180288.3	10498961		u_5	
f_{y_5}										62613.47	-411127	-4E+07	-242902	865083.5	-1227853	180288.3	-453957	39182654		v_5	
f_{m_5}										3535461	40410507	2.7E+09	6963499	-1227853	1.08E+10	-1E+07	-3.9E+07	2.7E+09		θ_5	
f_{x_6}											-1078494	180288.3	-1E+07	2076493	-456506	6644494	-997999	276217.7	17143454		u_6
f_{y_6}											180288.3	-453957	-3.9E+07	-456506	988407.9	-2418398	276217.7	-534451	36764256		v_6
f_{m_6}											10498961	39182654	2.7E+09	6644494	-2418398	1.08E+10	-1.7E+07	-3.7E+09	2.7E+09		θ_6
f_{x_7}													-997999	276217.7	-1.7E+07	997999.5	-276218	-1.7E+07		u_7	
f_{y_7}													276217.7	-534451	-3.7E+07	-276218	534451.1	-3.7E+07		v_7	
f_{m_7}													17143454	36764256	2.7E+09	-1.7E+07	-3.7E+07	5.41E+09		θ_7	

3. Menghitung nilai peralihan (pers. 2.7.19)

θ_1	6.55E-10	-2.7E-08	6.35E-08	9.22E-11	-2.1E-08	5.36E-08	-1.6E-10	-1.4E-08	1.69E-08	-1.8E-10	-1.3E-08	-1.1E-08	-8.2E-11	-1.1E-08	-1.5E-08	4.96E-11	1.1E-10	0	-1.9E-05
θ_2	-2.7E-08	2.31E-06	-3.6E-06	-1E-08	1.94E-06	-3.2E-06	1.11E-08	1.43E-06	-5.2E-07	1.36E-08	1.32E-06	1.5E-06	5.25E-09	1.02E-06	1.51E-06	-5.6E-09	-1.1E-08	0	0.000584
θ_3	6.35E-08	-3.6E-06	9.68E-06	2.74E-08	-3E-06	9.66E-06	-2.1E-08	-2E-06	4.1E-06	-3E-08	-1.8E-06	-7.3E-07	-1.6E-08	-1.5E-06	-1.9E-06	5.11E-09	1.49E-08	0	-0.00464
θ_4	9.22E-11	-1E-08	2.74E-08	2.53E-10	-1.2E-08	4.44E-08	-4.1E-11	-7.6E-09	2.52E-08	-1.3E-10	-6.6E-09	2.92E-09	-8.1E-11	-5.6E-09	-5.1E-09	6.06E-12	4.96E-11	0	-2.9E-05
θ_5	-2.1E-08	1.94E-06	-3E-06	-1.2E-08	2.56E-06	-3.5E-06	6.89E-09	1.92E-06	-8.6E-07	1.58E-08	1.72E-06	1.67E-06	7.24E-09	1.32E-06	1.82E-06	-6.6E-09	-1.3E-08	0	0.000972
θ_6	5.36E-08	-3.2E-06	9.66E-06	4.44E-08	-3.5E-06	1.51E-05	3.81E-11	-2.1E-06	1.03E-05	-3.9E-08	-1.7E-06	2.75E-06	-3E-08	-1.5E-06	-7.3E-07	-2.9E-09	1.12E-08	0	-0.0116
θ_7	-1.6E-10	1.11E-08	-2.1E-08	-4.1E-11	6.89E-09	3.81E-11	2.89E-10	5.69E-09	3.18E-08	5.35E-11	7.24E-09	2.99E-08	-5.3E-11	5.25E-09	1.56E-08	-8.1E-11	-8.2E-11	0	-3.6E-05
θ_8	-1.4E-08	1.43E-06	-2E-06	-7.6E-09	1.92E-06	-2.1E-06	5.69E-09	2.19E-06	-9.6E-20	1.23E-08	1.92E-06	2.06E-06	5.69E-09	1.43E-06	1.99E-06	-7.6E-09	-1.4E-08	0	1.09E-16
θ_9	1.69E-08	-5.2E-07	4.1E-06	2.52E-08	-8.6E-07	1.03E-05	3.18E-08	-2.7E-20	1.45E-05	-6.4E-22	8.59E-07	1.03E-05	-3.2E-08	5.16E-07	4.1E-06	-2.5E-08	-1.7E-08	-1131.732	= -0.01636
θ_{10}	-1.8E-10	1.36E-08	-3E-08	-1.3E-10	1.58E-08	-3.9E-08	5.35E-11	1.23E-08	-6E-22	3.59E-10	1.58E-08	3.9E-08	5.35E-11	1.36E-08	3E-08	-1.3E-10	-1.8E-10	0	6.82E-19
θ_{11}	-1.3E-08	1.32E-06	-1.8E-06	-6.6E-09	1.72E-06	-1.7E-06	7.24E-09	1.92E-06	8.59E-07	1.58E-08	2.56E-06	3.48E-06	6.89E-09	1.94E-06	3.04E-06	-1.2E-08	-2.1E-08	0	-0.00097
θ_{12}	-1.1E-08	1.5E-06	-7.3E-07	2.92E-09	1.67E-06	2.75E-06	2.99E-08	2.06E-06	1.03E-05	3.9E-08	3.48E-06	1.51E-05	-3.8E-11	3.2E-06	9.66E-06	-4.4E-08	-5.4E-08	0	-0.0116
θ_{13}	-8.2E-11	5.25E-09	-1.6E-08	-8.1E-11	7.24E-09	-3E-08	-5.3E-11	5.69E-09	-3.2E-08	5.35E-11	6.89E-09	-3.8E-11	2.89E-10	1.11E-08	2.11E-08	-4.1E-11	-1.6E-10	0	3.59E-05
θ_{14}	-1.1E-08	1.02E-06	-1.5E-06	-5.6E-09	1.32E-06	-1.5E-06	5.25E-09	1.43E-06	5.16E-07	1.36E-08	1.94E-06	3.2E-06	1.11E-08	2.31E-06	3.59E-06	-1E-08	-2.7E-08	0	-0.00058
θ_{15}	-1.5E-08	1.51E-06	-1.9E-06	-5.1E-09	1.82E-06	-7.3E-07	1.56E-08	1.99E-06	4.1E-06	3E-08	3.04E-06	9.66E-06	2.11E-08	3.59E-06	9.68E-06	-2.7E-08	-6.3E-08	0	-0.00464
θ_{16}	4.96E-11	-5.6E-09	5.11E-09	6.06E-12	-6.6E-09	-2.9E-09	-8.1E-11	-7.6E-09	-2.5E-08	-1.3E-10	-1.2E-08	-4.4E-08	-4.1E-11	-1E-08	-2.7E-08	2.53E-10	9.22E-11	0	2.85E-05
θ_{17}	1.1E-10	-1.1E-08	1.49E-08	4.96E-11	-1.3E-08	1.12E-08	-8.2E-11	-1.4E-08	-1.7E-08	-1.8E-10	-2.1E-08	-5.4E-08	-1.6E-10	-2.7E-08	-6.3E-08	9.22E-11	6.55E-10	0	1.91E-05

4. Menghitung reaksi perletakan (pers. 2.7.20)

$$\begin{array}{c|cccccccccccccccc|c|c} fX_1 & -1.7E+07 & -997999 & -276218 & -1.7E+07 & 0 & 0 & 0 & 0 & 0 & 0 & 0 & 0 & 0 & 0 & 0 & -1.91E-05 & 1514.85 \\ fY_1 & 36764256 & -276218 & -534451 & 36764256 & 0 & 0 & 0 & 0 & 0 & 0 & 0 & 0 & 0 & 0 & 0 & 0.0005843 & 565.866 \\ fX_7 & 0 & 0 & 0 & 0 & 0 & 0 & 0 & 0 & 0 & 0 & 0 & 0 & 0 & 0 & 0 & -0.004638 & -1514.85 \\ fY_7 & 0 & 0 & 0 & 0 & 0 & 0 & 0 & 0 & 0 & 0 & 0 & 0 & 0 & 0 & 0 & -2.85E-05 & 565.866 \end{array} = \begin{array}{c|c} 0.0009718 & \\ -0.011604 & \\ -3.59E-05 & \\ 1.092E-16 & \\ -0.016365 & \\ 6.816E-19 & \\ -0.000972 & \\ -0.011604 & \\ 3.594E-05 & \\ -0.000584 & \\ -0.004638 & \\ 2.853E-05 & \\ 1.911E-05 & \end{array}$$

5. Menghitung gaya internal (pers 2.7.22)

Elemen 1-2

$\theta = 25$

$$\begin{array}{c|cccccccccccc|c|c} N_1 & -1021229 & -476207 & 0 & 1021229 & 476207.1 & 0 & 0 & -1612.07 \\ T_1 & 171434.5 & -367643 & -4.1E+07 & -171435 & 367642.6 & -4.1E+07 & 0 & 127.3546 \\ M_1 & -1.7E+07 & 36764256 & 5.41E+09 & 17143454 & -3.7E+07 & 2.7E+09 & -1.9E-05 & 1.46E-11 \\ N_2 & -1021229 & -476207 & 0 & 1021229 & 476207.1 & 0 & 0.000584 & -1612.07 \\ T_2 & 171434.5 & -367643 & -4.1E+07 & -171435 & 367642.6 & -4.1E+07 & -0.00464 & 127.3546 \\ M_2 & 17143454 & -3.7E+07 & -2.7E+09 & -1.7E+07 & 36764256 & -5.4E+09 & -2.9E-05 & 25470.92 \end{array} =$$

Digital Repository Universitas Jember

Elemen 2-3

$\theta = 15$

N ₂	-1088407	-291638	0	1088407	291637.8	0	0.000584	-1609.69
T ₂	104989.6	-391827	-4.1E+07	-104990	391826.5	-4.1E+07	-0.00464	-154.512
M ₂	-1E+07	39182654	5.41E+09	10498961	-3.9E+07	2.7E+09	-2.9E-05	25470.92
N ₃	-1088407	-291638	0	1088407	291637.8	0	0.000972	-1609.69
T ₃	104989.6	-391827	-4.1E+07	-104990	391826.5	-4.1E+07	-0.0116	-154.512
M ₃	10498961	-3.9E+07	-2.7E+09	-1E+07	39182654	-5.4E+09	-3.6E-05	-5431.58

Elemen 3-4

$\theta = 5$

N ₃	-1122514	-98207.3	0	1122514	98207.26	0	0.000972	-1558.4
T ₃	35354.61	-404105	-4.1E+07	-35354.6	404105.1	-4.1E+07	-0.0116	-431.685
M ₃	-3535461	40410507	5.41E+09	3535461	-4E+07	2.7E+09	-3.6E-05	-5431.58
N ₄	-1122514	-98207.3	0	1122514	98207.26	0	1.09E-16	-1558.4
T ₄	35354.61	-404105	-4.1E+07	-35354.6	404105.1	-4.1E+07	-0.01636	-431.685
M ₄	3535461	-4E+07	-2.7E+09	-3535461	40410507	-5.4E+09	6.82E-19	-91768.5

Elemen 4-5

$\theta = -5$

N ₄	-1122514	98207.26	0	1122514	-98207.3	0	1.09E-16	-1558.4
T ₄	-35354.6	-404105	-4.1E+07	35354.61	404105.1	-4.1E+07	-0.01636	431.6848
M ₄	3535461	40410507	5.41E+09	-3535461	-4E+07	2.7E+09	6.82E-19	-91768.5
N ₅	-1122514	98207.26	0	1122514	-98207.3	0	-0.00097	-1558.4
T ₅	-35354.6	-404105	-4.1E+07	35354.61	404105.1	-4.1E+07	-0.0116	431.6848
M ₅	-3535461	-4E+07	-2.7E+09	3535461	40410507	-5.4E+09	3.59E-05	-5431.58

Elemen 5-6

$\theta = -15$

N ₅	-1088407	291637.8	0	1088407	-291638	0	-0.00097	-1609.69
T ₅	-104990	-391827	-4.1E+07	104989.6	391826.5	-4.1E+07	-0.0116	154.5125
M ₅	10498961	39182654	5.41E+09	-1E+07	-3.9E+07	2.7E+09	3.59E-05	-5431.58
N ₆	-1088407	291637.8	0	1088407	-291638	0	-0.00058	-1609.69
T ₆	-104990	-391827	-4.1E+07	104989.6	391826.5	-4.1E+07	-0.00464	154.5125
M ₆	-1E+07	-3.9E+07	-2.7E+09	10498961	39182654	-5.4E+09	2.85E-05	25470.92

Elemen 6-7

$\theta = -25$

N ₆	-1021229	476207.1	0	1021229	-476207	0	-0.00058	-1612.07
T ₆	-171435	-367643	-4.1E+07	171434.5	367642.6	-4.1E+07	-0.00464	-127.355
M ₆	17143454	36764256	5.41E+09	-1.7E+07	-3.7E+07	2.7E+09	2.85E-05	25470.92
N ₇	-1021229	476207.1	0	1021229	-476207	0	0	-1612.07
T ₇	-171435	-367643	-4.1E+07	171434.5	367642.6	-4.1E+07	0	-127.355
M ₇	-1.7E+07	-3.7E+07	-2.7E+09	17143454	36764256	-5.4E+09	1.91E-05	-2.9E-11

Lampiran E

Perhitungan Elemen Hingga Sepuluh Segmen

Data input : $E = 31300.1 \text{ MPa}$, $A = 7200 \text{ mm}^2$, $L = 200 \text{ mm}$, $I = 8640000 \text{ mm}^4$,
 $P = 1131.73 \text{ N}$

1. Matriks kekakuan elemen (pers. 2.7.16)

Elemen 1-2

$\theta = 27^\circ$

k1							
fX_1		2457976.9	-401105	-73664260	-2457976.9	401104.8	-73664260
fY_1		-401104.8	3040816	144574251	401104.834	-3040816	144574251
fm_1	=	-73664260	1.45E+08	1.082E+10	73664260.3	-1.45E+08	5.409E+09
fX_2		-2457977	401104.8	73664260	2457976.94	-401104.8	73664260
fY_2		401104.83	-3040816	-1.45E+08	-401104.83	3040816	-1.45E+08
fm_2		-73664260	1.45E+08	5.409E+09	73664260.3	-1.45E+08	1.082E+10
u_1							
v_1							
θ_1							
u_2							
v_2							
θ_2							

Elemen 2-3

$\theta = 21^\circ$

k2							
fX_2		2380950.8	-331750	-58148595	-2380950.8	331750.2	-58148595
fY_2		-331750.2	3117843	151482270	331750.164	-3117843	151482270
fm_2	=	-58148595	1.51E+08	1.082E+10	58148595.4	-1.51E+08	5.409E+09
fX_3		-2380951	331750.2	58148595	2380950.78	-331750.2	58148595
fY_3		331750.16	-3117843	-1.51E+08	-331750.16	3117843	-1.51E+08
fm_3		-58148595	1.51E+08	5.409E+09	58148595.4	-1.51E+08	1.082E+10
u_2							
v_2							
θ_2							
u_3							
v_3							
θ_3							

Elemen 3-4

$\theta = 15^\circ$

k3							
fX_3		2320027.5	-247896	-41995842	-2320027.5	247896.4	-41995842
fY_3		-247896.4	3178766	156730618	247896.421	-3178766	156730618
fm_3	=	-41995842	1.57E+08	1.082E+10	41995842.4	-1.57E+08	5.409E+09
fX_4		-2320027	247896.4	41995842	2320027.47	-247896.4	41995842
fY_4		247896.42	-3178766	-1.57E+08	-247896.42	3178766	-1.57E+08
fm_4		-41995842	1.57E+08	5.409E+09	41995842.4	-1.57E+08	1.082E+10
u_3							
v_3							
θ_3							
u_4							
v_4							
θ_4							

Elemen 4-5

$\theta = 9^\circ$

k4							
fX_4		2277869.7	-153208	-25382974	-2277869.7	153208.4	-25382974
fY_4		-153208.4	3220924	160261792	153208.414	-3220924	160261792
fm_4	=	-25382974	1.6E+08	1.082E+10	25382974.2	-1.6E+08	5.409E+09
fX_5		-2277870	153208.4	25382974	2277869.65	-153208.4	25382974
fY_5		153208.41	-3220924	-1.6E+08	-153208.41	3220924	-1.6E+08
fm_5		-25382974	1.6E+08	5.409E+09	25382974.2	-1.6E+08	1.082E+10

Elemen 5-6

$\theta = 3^\circ$

k5							
fX_5		2256319.8	-51824.5	-8492005	-2256319.8	51824.46	-8492005
fY_5		-51824.46	3242474	162037104	51824.4638	-3242474	162037104
fm_5	=	-8492005	1.62E+08	1.082E+10	8492004.8	-1.62E+08	5.409E+09
fX_6		-2256320	51824.46	8492004.8	2256319.83	-51824.46	8492004.8
fY_6		51824.464	-3242474	-1.62E+08	-51824.464	3242474	-1.62E+08
fm_6		-8492005	1.62E+08	5.409E+09	8492004.8	-1.62E+08	1.082E+10

Elemen 6-7

$\theta = -3^\circ$

k6							
fX_6		2256319.8	51824.46	8492004.8	-2256319.8	-51824.46	8492004.8
fY_6		51824.464	3242474	162037104	-51824.464	-3242474	162037104
fm_6	=	8492004.8	1.62E+08	1.082E+10	-8492004.8	-1.62E+08	5.409E+09
fX_7		-2256320	-51824.5	-8492005	2256319.83	51824.46	-8492005
fY_7		-51824.46	-3242474	-1.62E+08	51824.4638	3242474	-1.62E+08
fm_7		8492004.8	1.62E+08	5.409E+09	-8492004.8	-1.62E+08	1.082E+10

Elemen 7-8

$\theta = -9^\circ$

k7							
fX_7		2277869.7	153208.4	25382974	-2277869.7	-153208.4	25382974
fY_7		153208.41	3220924	160261792	-153208.41	-3220924	160261792
fm_7	=	25382974	1.6E+08	1.082E+10	-25382974	-1.6E+08	5.409E+09
fX_8		-2277870	-153208	-25382974	2277869.65	153208.4	-25382974
fY_8		-153208.4	-3220924	-1.6E+08	153208.414	3220924	-1.6E+08
fm_8		25382974	1.6E+08	5.409E+09	-25382974	-1.6E+08	1.082E+10

Elemen 8-9

$$\theta = 15^\circ$$

k8							
fX_8		2320027.5	247896.4	41995842	-2320027.5	-247896.4	41995842
fY_8		247896.42	3178766	156730618	-247896.42	-3178766	156730618
fm_8	=	41995842	1.57E+08	1.082E+10	-41995842	-1.57E+08	5.409E+09
fX_9		-2320027	-247896	-41995842	2320027.47	247896.4	-41995842
fY_9		-247896.4	-3178766	-1.57E+08	247896.421	3178766	-1.57E+08
fm_9		41995842	1.57E+08	5.409E+09	-41995842	-1.57E+08	1.082E+10

Elemen 9-10

$$\theta = 21^\circ$$

k9							
fX_9		2380950.8	331750.2	58148595	-2380950.8	-331750.2	58148595
fY_9		331750.16	3117843	151482270	-331750.16	-3117843	151482270
fm_9	=	58148595	1.51E+08	1.082E+10	-58148595	-1.51E+08	5.409E+09
fX_{10}		-2380951	-331750	-58148595	2380950.78	331750.2	-58148595
fY_{10}		-331750.2	-3117843	-1.51E+08	331750.164	3117843	-1.51E+08
fm_{10}		58148595	1.51E+08	5.409E+09	-58148595	-1.51E+08	1.082E+10

Elemen 10-11

$$\theta = 27^\circ$$

k10							
fX_{10}		2457976.9	401104.8	73664260	-2457976.9	-401104.8	73664260
fY_{10}		401104.83	3040816	144574251	-401104.83	-3040816	144574251
fm_{10}	=	73664260	1.45E+08	1.082E+10	-73664260	-1.45E+08	5.409E+09
fX_{11}		-2457977	-401105	-73664260	2457976.94	401104.8	-73664260
fY_{11}		-401104.8	-3040816	-1.45E+08	401104.834	3040816	-1.45E+08
fm_{11}		73664260	1.45E+08	5.409E+09	-73664260	-1.45E+08	1.082E+10

2. Matriks Penggabungan

3. Menghitung nilai peralihan (pers. 2.7.19)

θ_1	5.7E-10	-1.7E-08	3.6E-08	2.5E-10	-2.0E-08	4.9E-08	3.4E-11	-1.7E-08	4.6E-08	-9.4E-11	-1.4E-08	3.4E-08	-1.5E-10	-1.1E-08	1.8E-08	-1.5E-10
u_2	-1.7E-08	9.6E-07	-1.2E-06	-1.1E-08	1.1E-06	-1.7E-06	-1.2E-09	9.6E-07	-1.6E-06	4.4E-09	7.9E-07	-1.0E-06	6.7E-09	6.6E-07	-3.4E-07	6.5E-09
v_2	3.6E-08	-1.2E-06	3.0E-06	2.4E-08	-1.5E-06	4.4E-06	5.0E-09	-1.4E-06	4.3E-06	-6.9E-09	-1.0E-06	3.3E-06	-1.2E-08	-8.0E-07	2.0E-06	-1.3E-08
θ_2	2.5E-10	-1.1E-08	2.4E-08	3.0E-10	-1.6E-08	4.2E-08	8.1E-11	-1.5E-08	4.3E-08	-5.6E-11	-1.1E-08	3.4E-08	-1.2E-10	-8.9E-09	2.1E-08	-1.4E-10
u_3	-2.0E-08	1.1E-06	-1.5E-06	-1.6E-08	1.7E-06	-2.5E-06	-5.1E-09	1.6E-06	-2.4E-06	5.4E-09	1.3E-06	-1.7E-06	1.0E-08	1.1E-06	-6.0E-07	1.0E-08
v_3	4.9E-08	-1.7E-06	4.4E-06	4.2E-08	-2.5E-06	7.5E-06	1.9E-08	-2.3E-06	8.0E-06	-7.1E-09	-1.8E-06	6.6E-06	-2.0E-08	-1.3E-06	4.4E-06	-2.4E-08
θ_3	3.4E-11	-1.2E-09	5.0E-09	8.1E-11	-5.1E-09	1.9E-08	2.1E-10	-7.1E-09	3.1E-08	5.5E-11	-5.7E-09	3.2E-08	-4.0E-11	-3.9E-09	2.5E-08	-8.3E-11
u_4	-1.7E-08	9.6E-07	-1.4E-06	-1.5E-08	1.6E-06	-2.3E-06	-7.1E-09	1.9E-06	-2.5E-06	2.7E-09	1.6E-06	-1.8E-06	1.0E-08	1.4E-06	-7.1E-07	1.1E-08
v_4	4.6E-08	-1.6E-06	4.3E-06	4.3E-08	-2.4E-06	8.0E-06	3.1E-08	-2.5E-06	1.0E-05	6.4E-09	-1.9E-06	9.5E-06	-1.8E-08	-1.4E-06	7.1E-06	-2.8E-08
θ_4	-9.4E-11	4.4E-09	-6.9E-09	-5.6E-11	5.4E-09	-7.1E-09	5.5E-11	2.7E-09	6.4E-09	2.3E-10	1.3E-09	2.2E-08	9.5E-11	2.1E-09	2.7E-08	6.2E-12
u_5	-1.4E-08	7.9E-07	-1.0E-06	-1.1E-08	1.3E-06	-1.8E-06	-5.7E-09	1.6E-06	-1.9E-06	1.3E-09	1.8E-06	-1.4E-06	7.6E-09	1.5E-06	-5.1E-07	1.0E-08
v_5	3.4E-08	-1.0E-06	3.3E-06	3.4E-08	-1.7E-06	6.6E-06	3.2E-08	-1.8E-06	9.5E-06	2.2E-08	-1.4E-06	1.1E-05	5.5E-11	-8.5E-07	9.6E-06	-2.1E-08
θ_5	-1.5E-10	6.7E-09	-1.2E-08	-1.2E-10	1.0E-08	-2.0E-08	-4.0E-11	1.0E-08	-1.8E-08	9.5E-11	7.6E-09	5.5E-11	2.8E-10	7.1E-09	2.0E-08	1.3E-10
u_6	-1.1E-08	6.6E-07	-8.0E-07	-8.9E-09	1.1E-06	-1.3E-06	-3.9E-09	1.4E-06	-1.4E-06	2.1E-09	1.5E-06	-8.5E-07	7.1E-09	1.7E-06	-5.7E-20	9.1E-09
v_6	=	1.8E-08	-3.4E-07	2.0E-06	2.1E-08	-6.0E-07	4.4E-06	2.5E-08	-7.1E-07	7.1E-06	2.7E-08	-5.1E-07	9.6E-06	2.0E-08	4.8E-20	1.1E-05
θ_6	-1.5E-10	6.5E-09	-1.3E-08	-1.4E-10	1.0E-08	-2.4E-08	-8.3E-11	1.1E-08	-2.8E-08	6.2E-12	1.0E-08	-2.1E-08	1.3E-10	9.1E-09	9.1E-23	3.0E-10
u_7	-9.6E-09	6.0E-07	-7.0E-07	-7.7E-09	1.0E-06	-1.1E-06	-2.8E-09	1.2E-06	-1.0E-06	3.1E-09	1.3E-06	-4.4E-07	8.1E-09	1.5E-06	5.1E-07	1.0E-08
v_7	4.6E-09	2.3E-07	7.7E-07	8.2E-09	3.2E-07	2.1E-06	1.7E-08	3.2E-07	4.3E-06	2.5E-08	4.4E-07	7.0E-06	2.8E-08	8.5E-07	9.6E-06	2.1E-08
θ_7	-1.2E-10	4.5E-09	-1.0E-08	-1.1E-10	7.5E-09	-2.0E-08	-8.8E-11	8.6E-09	-2.7E-08	-4.4E-11	8.1E-09	-2.8E-08	2.8E-11	7.1E-09	-2.0E-08	1.3E-10
u_8	-9.0E-09	5.6E-07	-6.6E-07	-7.2E-09	9.2E-07	-1.0E-06	-2.4E-09	1.1E-06	-9.5E-07	3.4E-09	1.2E-06	-3.2E-07	8.6E-09	1.4E-06	7.1E-07	1.1E-08
v_8	-4.4E-09	5.5E-07	-6.8E-08	-6.3E-10	8.6E-07	4.4E-07	8.5E-09	9.5E-07	1.9E-06	1.9E-08	1.0E-06	4.3E-06	2.7E-08	1.4E-06	7.1E-06	2.8E-08
θ_8	-5.8E-11	1.6E-09	-5.8E-09	-6.1E-11	2.8E-09	-1.2E-08	-6.7E-11	3.4E-09	-1.9E-08	-6.5E-11	3.1E-09	-2.5E-08	-4.4E-11	2.1E-09	-2.7E-08	6.2E-12
u_9	-7.8E-09	4.7E-07	-5.7E-07	-6.2E-09	7.7E-07	-9.2E-07	-2.2E-09	9.2E-07	-8.6E-07	2.8E-09	1.0E-06	-3.2E-07	7.5E-09	1.1E-06	6.0E-07	1.0E-08
v_9	-7.4E-09	5.8E-07	-4.2E-07	-4.4E-09	9.2E-07	-3.9E-07	3.1E-09	1.0E-06	4.4E-07	1.2E-08	1.1E-06	2.1E-06	2.0E-08	1.3E-06	4.4E-06	2.4E-08
θ_9	5.0E-12	-1.5E-09	-6.3E-10	-6.9E-12	-2.2E-09	-3.1E-09	-3.6E-11	-2.4E-09	-8.5E-09	-6.7E-11	-2.8E-09	-1.7E-08	-8.8E-11	-3.9E-09	-2.5E-08	-8.3E-11
u_{10}	-4.8E-09	2.8E-07	-3.6E-07	-3.9E-09	4.7E-07	-5.8E-07	-1.5E-09	5.6E-07	-5.5E-07	1.6E-09	6.0E-07	-2.3E-07	4.5E-09	6.6E-07	3.4E-07	6.5E-09
v_{10}	-5.1E-09	3.6E-07	-3.3E-07	-3.5E-09	5.7E-07	-4.2E-07	6.3E-10	6.6E-07	-6.8E-08	5.8E-09	7.0E-07	7.7E-07	1.0E-08	8.0E-07	2.0E-06	1.3E-08
θ_{10}	5.5E-11	-3.9E-09	3.5E-09	3.7E-11	-6.2E-09	4.4E-09	-6.9E-12	-7.2E-09	6.3E-10	-6.1E-11	-7.7E-09	-8.2E-09	-1.1E-10	-8.9E-09	-2.1E-08	-1.4E-10
θ_{11}	7.4E-11	-4.8E-09	5.1E-09	5.5E-11	-7.8E-09	7.4E-09	5.0E-12	-9.0E-09	4.4E-09	-5.8E-11	-9.6E-09	-4.6E-09	-1.2E-10	-1.1E-08	-1.8E-08	-1.5E-10

-9.6E-09	4.6E-09	-1.2E-10	-9.0E-09	-4.4E-09	-5.8E-11	-7.8E-09	-7.4E-09	5.0E-12	-4.8E-09	-5.1E-09	5.5E-11	7.4E-11		0		-2.1E-05
6.0E-07	2.3E-07	4.5E-09	5.6E-07	5.5E-07	1.6E-09	4.7E-07	5.8E-07	-1.5E-09	2.8E-07	3.6E-07	-3.9E-09	-4.8E-09		0		0.000381
-7.0E-07	7.7E-07	-1.0E-08	-6.6E-07	-6.8E-08	-5.8E-09	-5.7E-07	-4.2E-07	-6.3E-10	-3.6E-07	-3.3E-07	3.5E-09	5.1E-09		0		-0.00225
-7.7E-09	8.2E-09	-1.1E-10	-7.2E-09	-6.3E-10	-6.1E-11	-6.2E-09	-4.4E-09	-6.9E-12	-3.9E-09	-3.5E-09	3.7E-11	5.5E-11		0		-2.4E-05
1.0E-06	3.2E-07	7.5E-09	9.2E-07	8.6E-07	2.8E-09	7.7E-07	9.2E-07	-2.2E-09	4.7E-07	5.7E-07	-6.2E-09	-7.8E-09		0		0.000682
-1.1E-06	2.1E-06	-2.0E-08	-1.0E-06	4.4E-07	-1.2E-08	-9.2E-07	-3.9E-07	-3.1E-09	-5.8E-07	-4.2E-07	4.4E-09	7.4E-09		0		-0.00495
-2.8E-09	1.7E-08	-8.8E-11	-2.4E-09	8.5E-09	-6.7E-11	-2.2E-09	3.1E-09	-3.6E-11	-1.5E-09	6.3E-10	-6.9E-12	5.0E-12		0		-2.9E-05
1.2E-06	3.2E-07	8.6E-09	1.1E-06	9.5E-07	3.4E-09	9.2E-07	1.0E-06	-2.4E-09	5.6E-07	6.6E-07	-7.2E-09	-9.0E-09		0		0.000807
-1.0E-06	4.3E-06	-2.7E-08	-9.5E-07	1.9E-06	-1.9E-08	-8.6E-07	4.4E-07	-8.5E-09	-5.5E-07	-6.8E-08	6.3E-10	4.4E-09		0		-0.00804
3.1E-09	2.5E-08	-4.4E-11	3.4E-09	1.9E-08	-6.5E-11	2.8E-09	1.2E-08	-6.7E-11	1.6E-09	5.8E-09	-6.1E-11	-5.8E-11		0		-3.1E-05
1.3E-06	4.4E-07	8.1E-09	1.2E-06	1.0E-06	3.1E-09	1.0E-06	1.1E-06	-2.8E-09	6.0E-07	7.0E-07	-7.7E-09	-9.6E-09		0		0.000581
-4.4E-07	7.0E-06	-2.8E-08	-3.2E-07	4.3E-06	-2.5E-08	-3.2E-07	2.1E-06	-1.7E-08	-2.3E-07	7.7E-07	-8.2E-09	-4.6E-09		0		-0.01089
8.1E-09	2.8E-08	2.8E-11	8.6E-09	2.7E-08	-4.4E-11	7.5E-09	2.0E-08	-8.8E-11	4.5E-09	1.0E-08	-1.1E-10	-1.2E-10		0		-2.3E-05
1.5E-06	8.5E-07	7.1E-09	1.4E-06	1.4E-06	2.1E-09	1.1E-06	1.3E-06	-3.9E-09	6.6E-07	8.0E-07	-8.9E-09	-1.1E-08		0		6.44E-17
5.1E-07	9.6E-06	-2.0E-08	7.1E-07	7.1E-06	-2.7E-08	6.0E-07	4.4E-06	-2.5E-08	3.4E-07	2.0E-06	-2.1E-08	-1.8E-08	-1131.73	=	-0.01222	
1.0E-08	2.1E-08	1.3E-10	1.1E-08	2.8E-08	6.2E-12	1.0E-08	2.4E-08	-8.3E-11	6.5E-09	1.3E-08	-1.4E-10	-1.5E-10		0		-1E-19
1.8E-06	1.4E-06	7.6E-09	1.6E-06	1.9E-06	1.3E-09	1.3E-06	1.8E-06	-5.7E-09	7.9E-07	1.0E-06	-1.1E-08	-1.4E-08		0		-0.00058
1.4E-06	1.1E-05	-5.5E-11	1.8E-06	9.5E-06	-2.2E-08	1.7E-06	6.6E-06	-3.2E-08	1.0E-06	3.3E-06	-3.4E-08	-3.4E-08		0		-0.01089
7.6E-09	-5.5E-11	2.8E-10	1.0E-08	1.8E-08	9.5E-11	1.0E-08	2.0E-08	-4.0E-11	6.7E-09	1.2E-08	-1.2E-10	-1.5E-10		0		2.29E-05
1.6E-06	1.8E-06	1.0E-08	1.9E-06	2.5E-06	2.7E-09	1.6E-06	2.3E-06	-7.1E-09	9.6E-07	1.4E-06	-1.5E-08	-1.7E-08		0		-0.00081
1.9E-06	9.5E-06	1.8E-08	2.5E-06	1.0E-05	-6.4E-09	2.4E-06	8.0E-06	-3.1E-08	1.6E-06	4.3E-06	-4.3E-08	-4.6E-08		0		-0.00804
1.3E-09	-2.2E-08	9.5E-11	2.7E-09	-6.4E-09	2.3E-10	5.4E-09	7.1E-09	5.5E-11	4.4E-09	6.9E-09	-5.6E-11	-9.4E-11		0		3.06E-05
1.3E-06	1.7E-06	1.0E-08	1.6E-06	2.4E-06	5.4E-09	1.7E-06	2.5E-06	-5.1E-09	1.1E-06	1.5E-06	-1.6E-08	-2.0E-08		0		-0.00068
1.8E-06	6.6E-06	2.0E-08	2.3E-06	8.0E-06	7.1E-09	2.5E-06	7.5E-06	-1.9E-08	1.7E-06	4.4E-06	-4.2E-08	-4.9E-08		0		-0.00495
-5.7E-09	-3.2E-08	-4.0E-11	-7.1E-09	-3.1E-08	5.5E-11	-5.1E-09	-1.9E-08	2.1E-10	-1.2E-09	-5.0E-09	8.1E-11	3.4E-11		0		2.88E-05
7.9E-07	1.0E-06	6.7E-09	9.6E-07	1.6E-06	4.4E-09	1.1E-06	1.7E-06	-1.2E-09	9.6E-07	1.2E-06	-1.1E-08	-1.7E-08		0		-0.00038
1.0E-06	3.3E-06	1.2E-08	1.4E-06	4.3E-06	6.9E-09	1.5E-06	4.4E-06	-5.0E-09	1.2E-06	3.0E-06	-2.4E-08	-3.6E-08		0		-0.00225
-1.1E-08	-3.4E-08	-1.2E-10	-1.5E-08	-4.3E-08	-5.6E-11	-1.6E-08	-4.2E-08	8.1E-11	-1.1E-08	-2.4E-08	3.0E-10	2.5E-10		0		2.36E-05
-1.4E-08	-3.4E-08	-1.5E-10	-1.7E-08	-4.6E-08	-9.4E-11	-2.0E-08	-4.9E-08	3.4E-11	-1.7E-08	-3.6E-08	2.5E-10	5.7E-10		0		2.09E-05

4. Menghitung reaksi perletakan (pers. 2.7.20)

5. Menghitung gaya internal (pers 2.7.22)

Elemen 1-2

$\theta = 27$

N_1		-2E+06	-1E+06	0E+00	2E+06	1E+06	0E+00	0	-1536.89
T_1		1E+06	-3E+06	-2E+08	-1E+06	3E+06	-2E+08	0	147.9997
M_1	=	-7E+07	1E+08	1E+10	7E+07	-1E+08	5E+09	-2.1E-05	4.37E-11
N_2		-2E+06	-1E+06	0E+00	2E+06	1E+06	0E+00	0.000381	-1536.89
T_2		1E+06	-3E+06	-2E+08	-1E+06	3E+06	-2E+08	-0.00225	147.9997
M_2		7E+07	-1E+08	-5E+09	-7E+07	1E+08	-1E+10	-2.4E-05	14799.97

Elemen 2-3

$\theta = 21$

N_2		-2E+06	-8E+05	0E+00	2E+06	8E+05	0E+00	0.000381	-1543.94
T_2		1E+06	-3E+06	-2E+08	-1E+06	3E+06	-2E+08	-0.00225	-13.4601
M_2		-6E+07	2E+08	1E+10	6E+07	-2E+08	5E+09	-2.4E-05	14799.97
N_3		-2E+06	-8E+05	0E+00	2E+06	8E+05	0E+00	0.000682	-1543.94
T_3		1E+06	-3E+06	-2E+08	-1E+06	3E+06	-2E+08	-0.00495	-13.4601
M_3		6E+07	-2E+08	-5E+09	-6E+07	2E+08	-1E+10	-2.9E-05	13453.97

Elemen 3-4

$\theta = 15$

N_3		-2E+06	-6E+05	0E+00	2E+06	6E+05	0E+00	0.000682	-1534.08
T_3		8E+05	-3E+06	-2E+08	-8E+05	3E+06	-2E+08	-0.00495	-174.772
M_3		-4E+07	2E+08	1E+10	4E+07	-2E+08	5E+09	-2.9E-05	13453.97
N_4		-2E+06	-6E+05	0E+00	2E+06	6E+05	0E+00	0.000807	-1534.08
T_4		8E+05	-3E+06	-2E+08	-8E+05	3E+06	-2E+08	-0.00804	-174.772
M_4		4E+07	-2E+08	-5E+09	-4E+07	2E+08	-1E+10	-3.1E-05	-4023.27

Elemen 4-5

$\theta = 9$

N_4		-2E+06	-4E+05	0E+00	2E+06	4E+05	0E+00	0.000807	-1507.41
T_4		5E+05	-3E+06	-2E+08	-5E+05	3E+06	-2E+08	-0.00804	-334.17
M_4		-3E+07	2E+08	1E+10	3E+07	-2E+08	5E+09	-3.1E-05	-4023.27
N_5		-2E+06	-4E+05	0E+00	2E+06	4E+05	0E+00	0.000581	-1507.41
T_5		5E+05	-3E+06	-2E+08	-5E+05	3E+06	-2E+08	-0.01089	-334.17
M_5		3E+07	-2E+08	-5E+09	-3E+07	2E+08	-1E+10	-2.3E-05	-37440.3

Elemen 5-6

$\theta = 3$

N_5		-2E+06	-1E+05	0E+00	2E+06	1E+05	0E+00	0.000581	-1464.22
T_5		2E+05	-3E+06	-2E+08	-2E+05	3E+06	-2E+08	-0.01089	-489.906
M_5		-8E+06	2E+08	1E+10	8E+06	-2E+08	5E+09	-2.3E-05	-37440.3
N_6		-2E+06	-1E+05	0E+00	2E+06	1E+05	0E+00	6.44E-17	-1464.22
T_6		2E+05	-3E+06	-2E+08	-2E+05	3E+06	-2E+08	-0.01222	-489.906
M_6		8E+06	-2E+08	-5E+09	-8E+06	2E+08	-1E+10	-1E-19	-86430.9

Elemen 6-7

$\theta = -3$

N ₆	-2E+06	1E+05	0E+00	2E+06	-1E+05	0E+00	6.44E-17	-1464.22
T ₆	-2E+05	-3E+06	-2E+08	2E+05	3E+06	-2E+08	-0.01222	489.9061
M ₆	8E+06	2E+08	1E+10	-8E+06	-2E+08	5E+09	-1E-19	-86430.9
N ₇	-2E+06	1E+05	0E+00	2E+06	-1E+05	0E+00	-0.00058	-1464.22
T ₇	-2E+05	-3E+06	-2E+08	2E+05	3E+06	-2E+08	-0.01089	489.9061
M ₇	-8E+06	-2E+08	-5E+09	8E+06	2E+08	-1E+10	2.29E-05	-37440.3

Elemen 7-8

$\theta = -9$

N ₇	-2E+06	4E+05	0E+00	2E+06	-4E+05	0E+00	-0.00058	-1507.41
T ₇	-5E+05	-3E+06	-2E+08	5E+05	3E+06	-2E+08	-0.01089	334.1699
M ₇	3E+07	2E+08	1E+10	-3E+07	-2E+08	5E+09	2.29E-05	-37440.3
N ₈	-2E+06	4E+05	0E+00	2E+06	-4E+05	0E+00	-0.00081	-1507.41
T ₈	-5E+05	-3E+06	-2E+08	5E+05	3E+06	-2E+08	-0.00804	334.1699
M ₈	-3E+07	-2E+08	-5E+09	3E+07	2E+08	-1E+10	3.06E-05	-4023.27

Elemen 8-9

$\theta = 15$

N ₈	-2E+06	6E+05	0E+00	2E+06	-6E+05	0E+00	-0.00081	-1534.08
T ₈	-8E+05	-3E+06	-2E+08	8E+05	3E+06	-2E+08	-0.00804	174.7724
M ₈	4E+07	2E+08	1E+10	-4E+07	-2E+08	5E+09	3.06E-05	-4023.27
N ₉	-2E+06	6E+05	0E+00	2E+06	-6E+05	0E+00	-0.00068	-1534.08
T ₉	-8E+05	-3E+06	-2E+08	8E+05	3E+06	-2E+08	-0.00495	174.7724
M ₉	-4E+07	-2E+08	-5E+09	4E+07	2E+08	-1E+10	2.88E-05	13453.97

Elemen 9-10

$\theta = 21$

N ₉	-2E+06	8E+05	0E+00	2E+06	-8E+05	0E+00	-0.00068	-1543.94
T ₉	-1E+06	-3E+06	-2E+08	1E+06	3E+06	-2E+08	-0.00495	13.46006
M ₉	6E+07	2E+08	1E+10	-6E+07	-2E+08	5E+09	2.88E-05	13453.97
N ₁₀	-2E+06	8E+05	0E+00	2E+06	-8E+05	0E+00	-0.00038	-1543.94
T ₁₀	-1E+06	-3E+06	-2E+08	1E+06	3E+06	-2E+08	-0.00225	13.46006
M ₁₀	-6E+07	-2E+08	-5E+09	6E+07	2E+08	-1E+10	2.36E-05	14799.97

Elemen 10-11

$\theta = 27$

N ₁₀	-2E+06	1E+06	0E+00	2E+06	-1E+06	0E+00	-0.00038	-1536.89
T ₁₀	-1E+06	-3E+06	-2E+08	1E+06	3E+06	-2E+08	-0.00225	-148
M ₁₀	7E+07	1E+08	1E+10	-7E+07	-1E+08	5E+09	2.36E-05	14799.97
N ₁₁	-2E+06	1E+06	0E+00	2E+06	-1E+06	0E+00	0	-1536.89
T ₁₁	-1E+06	-3E+06	-2E+08	1E+06	3E+06	-2E+08	0	-148
M ₁₁	-7E+07	-1E+08	-5E+09	7E+07	1E+08	-1E+10	2.09E-05	-2.9E-11

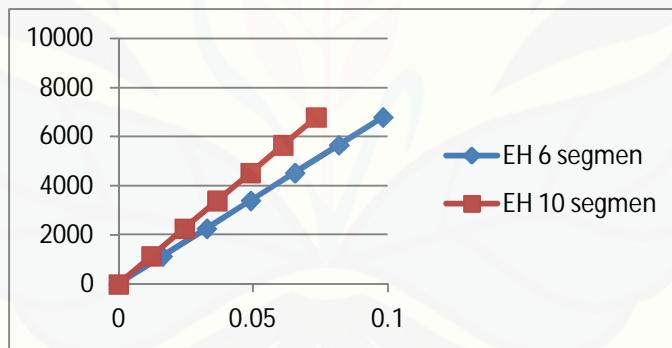
Lampiran F

Hasil Analisis Lendutan Metode Elemen Hingga Enam Segmen dan Sepuluh Segmen

a. Mutu beton f_cr 44.35 MPa

Tabel F1. Hasil Analisis Lendutan MEH f_cr 44.35 MPa

E (Mpa)	P (N)	EH 6 segmen	EH 10 segmen
		δ sendi (mm)	δ sendi (mm)
31300.05	0	0	0
	1131.73	0.016	0.012
	2263.46	0.033	0.024
	3395.2	0.049	0.037
	4526.93	0.065	0.049
	5658.66	0.082	0.061
	6790.39	0.098	0.073

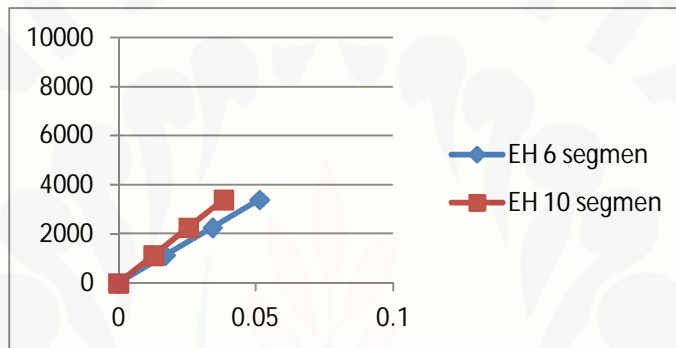


Gambar F1. Grafik analisis lendutan MEH balok lengkung f_cr 44.35 MPa

b. Mutu beton fcr 40.58 MPa

Tabel F2. Hasil Analisis Lendutan MEH dengan fcr 40.58 MPa

E (Mpa)	P (N)	EH 6 segmen δ (mm)	EH 10 segmen δ (mm)
	-1131.73	0.017	0.013
29938.52	-2263.46	0.034	0.026
	-3395.20	0.051	0.038

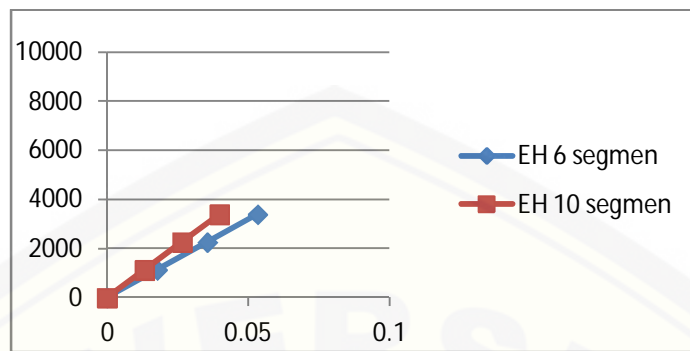


Gambar F2. Grafik analisis lendutan MEH balok lengkung elastisitas 31698.24 MPa

c. Mutu beton fcr 37.65 MPa

Tabel F3. Hasil Analisis Lendutan MEH dengan fcr 37.65 MPa

E (Mpa)	P (N)	EH 6 segmen δ sendi (mm)	EH 10 segmen δ sendi (mm)
	0	0	0
28839.16	1131.73	0.018	0.013
	2263.46	0.036	0.027
	3395.20	0.053	0.040



Gambar F3. Grafik analisis lendutan MEH balok lengkung fcr 37.65 MPa

Lampiran G

Analisis Kapasitas Balok dan Kontrol Keruntuhan

A. Analisis Keruntuhan

Analisis kapasitas dilakukan untuk mengetahui kemampuan maksimum struktur balok dalam menerima beban. Secara teori, ketika struktur balok menerima beban melebihi kapasitasnya, maka struktur tersebut akan mengalami keruntuhan.

1. Kapasitas balok terhadap tegangan lentur, f_d

Perhitungan kapasitas balok terhadap tegangan lentur menggunakan rumus tegangan lentur terhadap nilai kuat tekan beton yang terdapat dalam buku Civil Engineering Formulas (Tyler,117). Nilai kuat tekan yang digunakan dalam perhitungan adalah nilai kuat tekan rerata beton seperti yang telah dijelaskan dalam bab 4.1.

- a. Mutu beton fcr 44.35MPa

$$f_d = 0.7\sqrt{fc'} = 0.7\sqrt{44.35} = 4.66 \text{ MPa}$$

- b. Mutu beton fcr 40.58MPa

$$f_d = 0.7\sqrt{fc'} = 0.7\sqrt{40.58} = 4.46 \text{ MPa}$$

- c. Mutu beton fcr 37.65 MPa

$$f_d = 0.7\sqrt{fc'} = 0.7\sqrt{37.65} = 4.30 \text{ MPa}$$

2. Kapasitas balok terhadap geser

Kapasitas balok terhadap geser dihitung berdasarkan rumus SNI 2847:2013 pasal 11.2 tentang kuat geser beton. Faktor dimensi penampang dan mutu

beton digunakan dalam rumus tersebut untuk memperoleh kapasitas geser balok. Berikut ini adalah perhitungan kapasitas balok terhadap geser :

- Mutu beton fcr 44.35MPa

$$V_c = 0.17\sqrt{f'_c} \cdot b \cdot h = 0.17\sqrt{44.35} \times 60 \times 120 = 7991.50 \text{ N}$$

- Mutu beton fcr 40.58MPa

$$V_c = 0.17\sqrt{f'_c} \cdot b \cdot h = 0.17\sqrt{40.58} \times 60 \times 120 = 7643.88 \text{ N}$$

- Mutu beton fcr 37.65 MPa

$$V_c = 0.17\sqrt{f'_c} \cdot b \cdot h = 0.17\sqrt{37.65} \times 60 \times 120 = 7363.19 \text{ N}$$

3. Kapasitas balok terhadap aksial

Kapasitas balok terhadap aksial dihitung dengan cara mengalikan mutu beton rerata terhadap luasan penampang balok seperti yang dijelaskan dalam perhitungan kapasitas aksial balok berikut ini :

- Mutu beton fcr 44.35MPa

$$N_n = f'_c \cdot b \cdot h = 44.35 \times 60 \times 120 = 319320.59 \text{ N}$$

- Mutu beton fcr 40.58MPa

$$N_n = f'_c \cdot b \cdot h = 40.58 \times 60 \times 120 = 292144.37 \text{ N}$$

- Mutu beton fcr 37.65 MPa

$$N_n = f'_c \cdot b \cdot h = 37.65 \times 60 \times 120 = 271082.8 \text{ N}$$

Hasil perhitungan kapasitas balok dirangkum dalam Tabel G1 berikut :

Tabel G1. Hasil analisis kapasitas tegangan lentur, gaya geser, dan gaya normal

f'_c (Mpa)	f_{tl} (Mpa)	V_n (N)	N_n (N)
46.33	4.76	8168.09	333588.11
44.35	4.66	7991.50	319320.59
40.58	4.46	7643.88	292144.37
37.65	4.30	7363.19	271082.8

B. Kontrol Keruntuhan Pada Balok

Kontrol keruntuhan berfungsi untuk memastikan bahwa selama proses pembebanan balok belum mengalami keruntuhan dan dikatakan dalam kondisi elastis secara teori.

Tabel G2. Kontrol keruntuhan tegangan lentur beton mutu 44.35 MPa

M_{int} (Nmm)	σ_{tl} (Mpa)	f_{tl} (MPa)	CEK $\sigma_{dl} < f_{dl}$
-91768.54	0.64		OK!
-183537.07	1.27		OK!
-275305.61	1.91		OK!
-367074.15	2.55	4.66	OK!
-458842.69	3.19		OK!
-550611.22	3.82		OK!

Tabel G3. Kontrol keruntuhan geser beton mutu 44.35 MPa

D (N)	Vn (N)	CEK $D < Vn$
-431.68		OK!
-863.37		OK!
-1295.05		OK!
-1726.74	-7991.50	OK!
-2158.42		OK!
-2590.11		OK!

Tabel G4. Kontrol keruntuhan aksial beton mutu 44.35 MPa

N (N)	Nn (N)	CEK N < Nn
-1558.40		OK!
-3116.81		OK!
-4675.21	-319320.59	OK!
-6233.62		OK!
-7792.02		OK!
-9350.43		OK!

Tabel G5. Kontrol keruntuhan tegangan lentur beton mutu 40.58 MPa

M _{int} (Nmm)	σ _{tl} (Mpa)	f _{tl} (SNI)	CEK σ _{tl} < f _{tl}
-91768.54	0.64		OK!
-183537.07	1.27	4.46	OK!
-275305.61	1.91		OK!

Tabel G6. Kontrol keruntuhan geser beton mutu 40.58 MPa

D (N)	Vn (N)	CEK D < Vn
-431.68		OK!
-863.37	-7643.88	OK!
-1295.05		OK!

Tabel G7. Kontrol keruntuhan aksial beton mutu 40.58 MPa

N (N)	Nn (N)	CEK N < Nn
-1558.40		OK!
-3116.81	-292144.37	OK!
-4675.21		OK!

Tabel G8. Kontrol keruntuhan tegangan lentur beton mutu 37.65 MPa

M _{int} (Nmm)	σ _{tl} (Mpa)	f _{ll} (SNI)	CEK σ _{tl} < f _{ll}
-91768.54	0.64		OK!
-183537.07	1.27	4.30	OK!
-275305.61	1.91		OK!

Tabel G9. Kontrol keruntuhan geser beton mutu 37.65 MPa

D (N)	Vn (N)	CEK D < Vn
-431.68		OK!
-863.37	-7363.19	OK!
-1295.05		OK!

Tabel G10. Kontrol keruntuhan aksial beton mutu 37.65 MPa

N (N)	Nn (N)	CEK N < Nn
-1558.40		OK!
-3116.81	-271082.80	OK!
-4675.21		OK!